

COMMITTENTE:



PROGETTAZIONE:



CONTRATTO ISTITUZIONALE DI SVILUPPO PER LA REALIZZAZIONE DELLA DIRETTRICE FERROVIARIA NAPOLI-BARI-LECCE-TARANTO

PROGETTO ESECUTIVO

U.O. INFRASTRUTTURE SUD

LINEA POTENZA-FOGGIA - AMMODERNAMENTO

SOTTOPROGETTO 2 - ELETTRIFICAZIONE, RETTIFICHE DI TRACCIATO, SOPPRESSIONE P.L. E CONSOLIDAMENTO SEDE

LOTTO 4 - OPERE AGGIUNTIVE PER OTTEMPERANZA PRESCRIZIONI DI CDS ISTRUTTORIA - CAVALCAFERROVIA NV08 NEI COMUNI DI RIONERO IN VULTURE E BARILE

Viadotto ad archi - Relazione di calcolo opere provvisionali - 1/2

SCALA:

-

COMMESSA LOTTO FASE ENTE TIPO DOC. OPERA/DISCIPLINA PROGR. REV.

I A 4 K 4 2 E 7 8 C L N W 0 8 0 0 0 0 7 A

Rev.	Descrizione	Redatto	Data	Verificato	Data	Approvato	Data	Autorizzato Data
A	Emissione Esecutiva	M. Piccolo	Ottobre 2021	A. Di Costanzo	Ottobre 2021	G. Lestingi	Ottobre 2021	D. Tiberti Ottobre 2021

 ITALFERR GRUPPO FERROVIE DELLO STATO ITALIANE	PROGETTO ESECUTIVO LINEA FOGGIA-POTENZA INTERVENTO DI SOPPRESSIONE P.L.					
	Viadotto ad archi - Relazione di calcolo opere provvisionali - 1/2	COMMESSA IA4K	LOTTO 42 E78	CODIFICA CL	DOCUMENTO NW08 007	REV. A

SOMMARIO

1	PREMESSA	6
2	DESCRIZIONE DELL'OPERA	7
3	NORMATIVE DI RIFERIMENTO	9
4	CARATTERISTICHE DEI MATERIALI	10
4.1	CALCESTRUZZO MICROPALI E CORDOLI	10
4.2	ACCIAIO DA CARPENTERIA	10
4.3	ACCIAIO PER C.A. TIPO B450C	10
4.4	TIRANTI.....	11
5	MODELLO GEOTECNICO DI RIFERIMENTO	12
6	MODELLO DI CALCOLO	13
6.1	PARAMETRI DI SPINTA DEL TERRENO.....	13
6.2	PARAMETRI DI DEFORMABILITÀ DEL TERRENO	14
6.3	PROPRIETÀ DELLE PARATIE	15
6.4	FASI ESECUTIVE PARATIA $H_{SCAVO}=9M$	17
6.5	FASI ESECUTIVE PARATIA $H_{SCAVO}=7.5M$	18
7	ANALISI DEI CARICHI	19
7.1	PESO PROPRIO	19
7.2	CARICHI ACCIDENTALI.....	19
7.3	SPINTA DEL TERRENO.....	19
7.4	AZIONI SISMICHE.....	22
8	CRITERI GENERALI DI PROGETTAZIONE E VERIFICA AI SENSI DEL D.M. 17-01-2018	28
8.1	METODO AGLI STATI LIMITE ED APPROCCI DI PROGETTO	28
9	CRITERI DI VERIFICA	35
9.1	VERIFICHE STRUTTURALI CORDOLO C.A. - SLU	35
9.1.1	Pressoflessione	35
9.1.2	Taglio	36
9.2	VERIFICHE STRUTTURALI CORDOLO C.A. - SLE	38
9.2.1	Stato limite di limitazione delle tensioni.....	38
9.2.2	Stato limite di fessurazione	38
9.3	VERIFICHE STRUTTURALI MICROPALI	40
9.3.1	Trazione	40
9.3.2	Compressione	41
9.3.3	Flessione monoassiale	41

9.3.4	Taglio	42
9.3.5	Flessione e Taglio	43
9.3.6	Presso o tenso-flessione retta	43
10	ANALISI E VERIFICA PARATIA $H_{SCAVO}=9.0M$.....	44
10.1	SPOSTAMENTI ORIZZONTALI E CEDIMENTI.....	45
10.2	SOLLECITAZIONI: MOMENTO FLETTENTE E TAGLIO	46
10.3	VERIFICHE GEOTECNICHE	47
10.4	VERIFICHE STRUTTURALI MICROPALI.....	48
10.5	VERIFICHE STRUTTURALI CORDOLO	51
10.6	VERIFICA DEI TIRANTI INCLINATI	53
10.7	VERIFICA DELLE TRAVI DI RIPARTIZIONE	54
11	ANALISI E VERIFICA PARATIA $H_{SCAVO}=7.5M$.....	55
11.1	SPOSTAMENTI ORIZZONTALI E CEDIMENTI.....	56
11.2	SOLLECITAZIONI: MOMENTO FLETTENTE E TAGLIO	57
11.3	VERIFICHE GEOTECNICHE	58
11.4	VERIFICHE STRUTTURALI MICROPALI.....	59
11.5	VERIFICHE STRUTTURALI CORDOLO	63
11.6	VERIFICA DEI TIRANTI INCLINATI	65
11.7	VERIFICA DELLE TRAVI DI RIPARTIZIONE	66
12	TABULATI DI CALCOLO.....	67
12.1	PARATIA DI MICROPALI $H_{SCAVO}=9M$	67
	DESCRIZIONE DEL SOFTWARE	69
	DESCRIZIONE DELLA STRATIGRAFIA E DEGLI STRATI DI TERRENO	70
	DESCRIZIONE PARETI.....	71
	FASI DI CALCOLO	72
	COND. INIZIALI.....	72
	INSERIMENTO PARATIA	74
	PRIMO SCAVO	76
	INSERIMENTO PRIMO TIRANTE	78
	SCAVO -5M.....	80
	INSERIMENTO SECONDO TIRANTE.....	82
	SCAVO FINALE	85
	ESERCIZIO	88
	SISMA	91
	TABELLA CONFIGURAZIONE STAGE (NOMINAL)	94

 ITALFERR GRUPPO FERROVIE DELLO STATO ITALIANE	PROGETTO ESECUTIVO LINEA FOGGIA-POTENZA INTERVENTO DI SOPPRESSIONE P.L.					
	Viadotto ad archi - Relazione di calcolo opere provvisionali - 1/2	COMMESSA IA4K	LOTTO 42 E78	CODIFICA CL	DOCUMENTO NW08 007	REV. A

NORMATIVE ADOTTATE PER LE VERIFICHE DEGLI ELEMENTI STRUTTURALI

.....**96**

RIEPILOGO STAGE / DESIGN ASSUMPTION PER INVILUPPO	97
RISULTATI STEELWORLD	98
Tabella Inviluppi Tasso di Sfruttamento a Momento - SteelWorld : LEFT	98
Grafico Inviluppi Tasso di Sfruttamento a Momento - SteelWorld	100
Tabella Inviluppi Tasso di Sfruttamento a Taglio - SteelWorld : LEFT	101
Grafico Inviluppi Tasso di Sfruttamento a Taglio - SteelWorld	103
Verifiche Tiranti NTC2018: SLE (Rara/Frequente/Quasi Permanente)	104
Verifiche Tiranti NTC2018: A1+M1+R1 (R3 per tiranti)	105
Verifiche Tiranti NTC2018: A2+M2+R1	106
Verifiche Tiranti NTC2018: SISMICA STR	107
Verifiche Tiranti NTC2018: SISMICA GEO	108
Inviluppo Verifiche Tiranti (su tutte le D.A. attive)	109
VERIFICHE TRAVI DI RIPARTIZIONE NOMINAL	110
VERIFICHE TRAVI DI RIPARTIZIONE NTC2018: SLE (RARA/FREQUENTE/QUASI PERMANENTE)	111
VERIFICHE TRAVI DI RIPARTIZIONE NTC2018: A1+M1+R1 (R3 PER TIRANTI)	112
VERIFICHE TRAVI DI RIPARTIZIONE NTC2018: A2+M2+R1	113
VERIFICHE TRAVI DI RIPARTIZIONE NTC2018: SISMICA STR	114
VERIFICHE TRAVI DI RIPARTIZIONE NTC2018: SISMICA GEO	115
12.2 PARATIA DI MICROPALI $H_{SCAVO}=7.50M$	116
DESCRIZIONE DEL SOFTWARE	117
DESCRIZIONE DELLA STRATIGRAFIA E DEGLI STRATI DI TERRENO	118
DESCRIZIONE PARETI	119
FASI DI CALCOLO	120
COND. INIZIALI	120
INSERIMENTO PARATIA	122
PRIMO SCAVO	124
INSERIMENTO PRIMO TIRANTE	126
SCAVO FINALE	128
ESERCIZIO	130
SISMA	132
TABELLA CONFIGURAZIONE STAGE (NOMINAL)	134
DESCRIZIONE COEFFICIENTI DESIGN ASSUMPTION	136
RIEPILOGO STAGE / DESIGN ASSUMPTION PER INVILUPPO	137

 ITALFERR GRUPPO FERROVIE DELLO STATO ITALIANE	PROGETTO ESECUTIVO LINEA FOGGIA-POTENZA INTERVENTO DI SOPPRESSIONE P.L.					
	Viadotto ad archi - Relazione di calcolo opere provvisionali - 1/2	COMMESSA IA4K	LOTTO 42 E78	CODIFICA CL	DOCUMENTO NW08 007	REV. A

DESCRIZIONE SINTETICA DEI RISULTATI DELLE DESIGN ASSUMPTION (INVILUPPI).....138

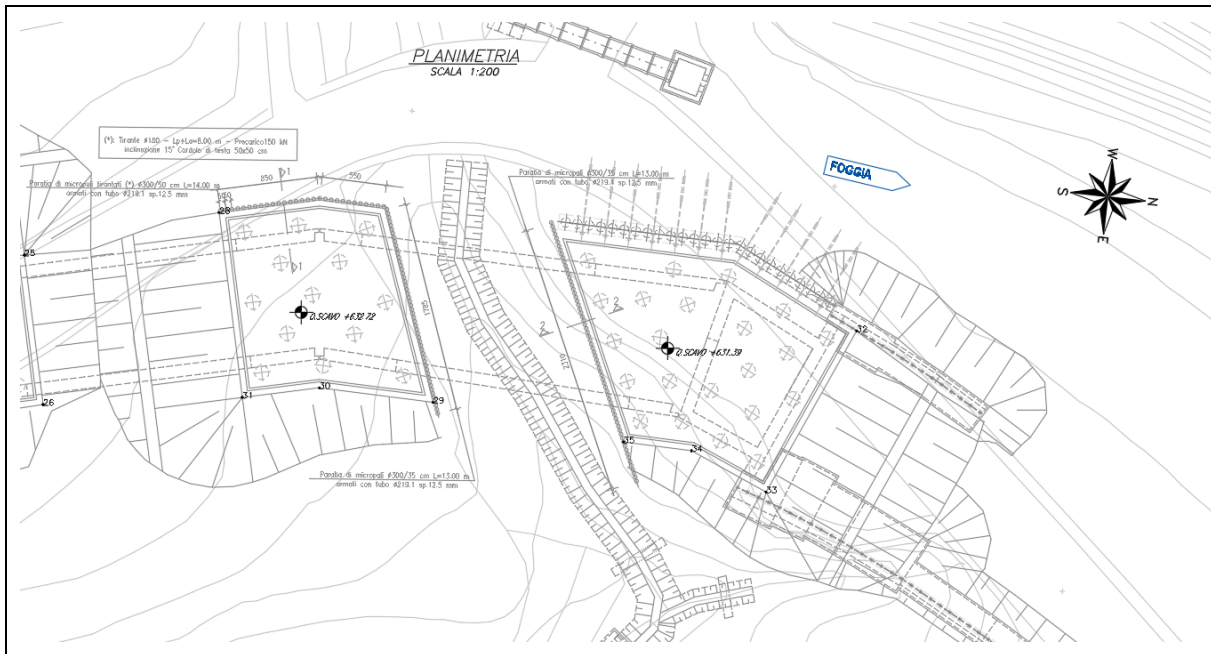
GRAFICO INVILUPPI SPOSTAMENTO.....	138
TABELLA INVILUPPI MOMENTO WALLELEMENT.....	139
GRAFICO INVILUPPI MOMENTO.....	141
TABELLA INVILUPPI TAGLIO WALLELEMENT.....	142
GRAFICO INVILUPPI TAGLIO.....	144
INVILUPPO SPINTA REALE EFFICACE / SPINTA PASSIVA.....	145
INVILUPPO SPINTA REALE EFFICACE / SPINTA ATTIVA.....	146

NORMATIVE ADOTTATE PER LE VERIFICHE DEGLI ELEMENTI STRUTTURALI147

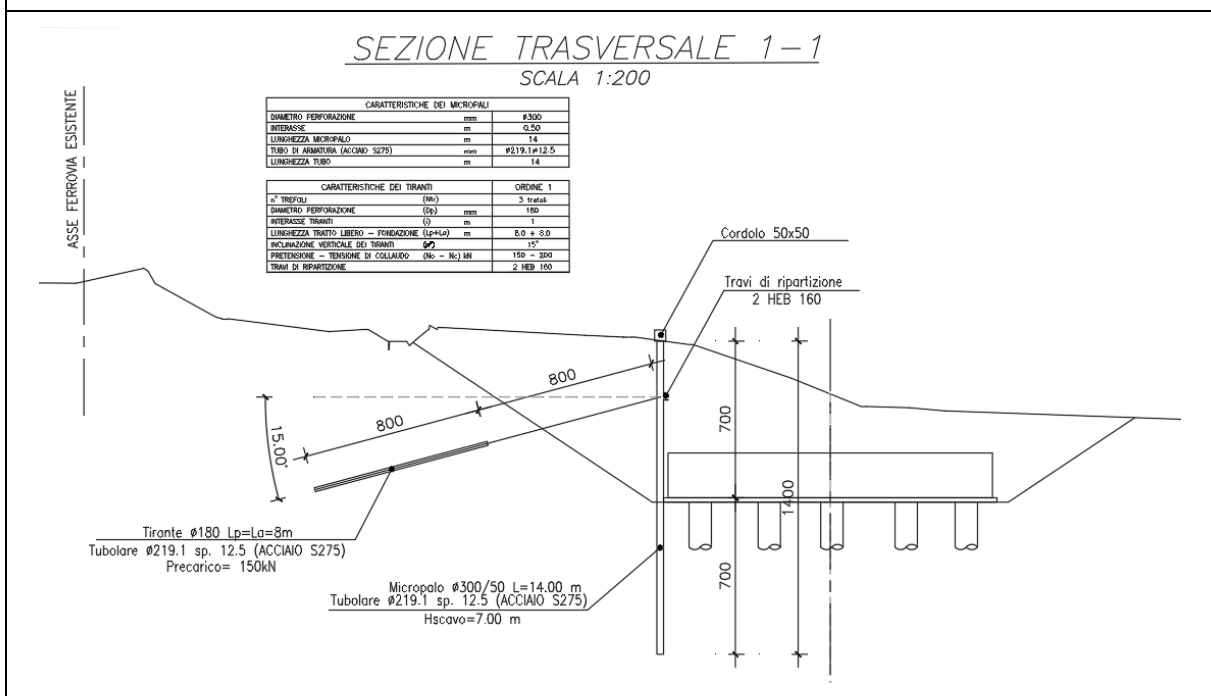
RIEPILOGO STAGE / DESIGN ASSUMPTION PER INVILUPPO.....	148
RISULTATI STEELWORLD.....	149
Tabella Inviluppi Tasso di Sfruttamento a Momento - SteelWorld : LEFT.....	149
Grafico Inviluppi Tasso di Sfruttamento a Momento - SteelWorld : LEFT.....	151
Tabella Inviluppi Tasso di Sfruttamento a Taglio - SteelWorld : LEFT.....	152
Grafico Inviluppi Tasso di Sfruttamento a Taglio - SteelWorld : LEFT.....	154
Verifiche Tiranti NTC2018: SLE (Rara/Frequente/Quasi Permanente).....	155
Verifiche Tiranti NTC2018: A1+M1+R1 (R3 per tiranti).....	156
Verifiche Tiranti NTC2018: A2+M2+R1.....	157
Verifiche Tiranti NTC2018: SISMICA STR.....	158
Verifiche Tiranti NTC2018: SISMICA GEO.....	159
Inviluppo Verifiche Tiranti (su tutte le D.A. attive).....	160
VERIFICHE TRAVI DI RIPARTIZIONE NOMINAL.....	161
VERIFICHE TRAVI DI RIPARTIZIONE NTC2018: SLE (RARA/FREQUENTE/QUASI PERMANENTE).....	162
VERIFICHE TRAVI DI RIPARTIZIONE NTC2018: A1+M1+R1 (R3 PER TIRANTI).....	163
VERIFICHE TRAVI DI RIPARTIZIONE NTC2018: A2+M2+R1.....	164
VERIFICHE TRAVI DI RIPARTIZIONE NTC2018: SISMICA STR.....	165
VERIFICHE TRAVI DI RIPARTIZIONE NTC2018: SISMICA GEO.....	166

2 DESCRIZIONE DELL'OPERA

L'intervento in progetto riguarda la realizzazione di una paratia di micropali provvisoria a servizio del viadotto NV08 tra le le progressive 0+220 e 0+240. In particolare, la paratia di micropali risulta necessaria per proteggere l'infrastruttura stradale posta a monte dell'opera stessa durante le fasi di realizzazione delle fondazioni del viadotto.



Stralcio planimetrico [progressive 0+220 e 0+240]



Sezione trasversale (progr. 0+220 ca)

Figura 2: Planimetria e sezione trasversale opere provvisionali cavalcaferrovia NV08.

 ITALFERR GRUPPO FERROVIE DELLO STATO ITALIANE	PROGETTO ESECUTIVO LINEA FOGGIA-POTENZA INTERVENTO DI SOPPRESSIONE P.L.					
	Viadotto ad archi - Relazione di calcolo opere provvisionali - 1/2	COMMESSA IA4K	LOTTO 42 E78	CODIFICA CL	DOCUMENTO NW08 007	REV. A

Nel presente documento sono trattate le analisi e le verifiche geotecniche e strutturali della paratia provvisoria a servizio del viadotto NV08, costituite da paratie di micropali con tubolare in acciaio. In particolare, verranno analizzate due sezioni di calcolo aventi altezza di scavo massima rispettivamente pari a 9m e 7.5m. Tale variabilità geometrica comporterà l'adozione di soluzioni progettuali differenti.

La paratia provvisoria con altezza di scavo pari a 9m, infatti, prevede micropali di lunghezza pari a 15m e doppio ordine di tiranti (rispettivamente a quota -2.5m e -5.5m da testa paratia).

La paratia provvisoria con altezza di scavo massima pari a 7.5m prevede invece micropali di lunghezza pari a 14m e singolo ordine di tiranti localizzato alla profondità di -2.5m da testa paratia.

 ITALFERR GRUPPO FERROVIE DELLO STATO ITALIANE	PROGETTO ESECUTIVO LINEA FOGGIA-POTENZA INTERVENTO DI SOPPRESSIONE P.L.					
	Viadotto ad archi - Relazione di calcolo opere provvisionali - 1/2	COMMESSA IA4K	LOTTO 42 E78	CODIFICA CL	DOCUMENTO NW08 007	REV. A

3 NORMATIVE DI RIFERIMENTO

I calcoli sono svolti in conformità alle normative vigenti con particolare riferimento a:

- D.M. 17-01-2018 – Aggiornamento delle “Norme tecniche per le costruzioni”;
- Circolare 21 gennaio 2019 n. 7 C.S.LL.PP – Istruzioni per l’applicazione dell’«Aggiornamento delle “Norme tecniche per le costruzioni”» di cui al decreto ministeriale 17 gennaio 2018;
- CNR-DT 207/2008 – Istruzioni per la valutazione delle azioni e degli effetti del vento sulle costruzioni;
- EN 1990 (Eurocodice 0) – Criteri generali di progettazione strutturale;
- EN 1991 (Eurocodice 1) – Azioni sulle strutture;
- EN 1992 (Eurocodice 2) – Progettazione delle strutture in calcestruzzo;
- EN 1993 (Eurocodice 3) – Progettazione delle strutture in acciaio;
- EN 1997 (Eurocodice 7) – Progettazione geotecnica;
- EN 1998 (Eurocodice 8) – Progettazione delle strutture per la resistenza sismica;
- Regolamento (UE) N. 1299/2014 della Commissione del 18 novembre 2014 relativo alle specifiche tecniche di interoperabilità per il sistema “infrastruttura” del sistema ferroviario dell’Unione Europea;
- Regolamento di esecuzione (UE) 2019/776 della Commissione, del 16 maggio 2019, che modifica i regolamenti (UE) n. 321/2013, (UE) n. 1299/2014, (UE) n. 1301/2014, (UE) n. 1302/2014, (UE) n. 1303/2014 e (UE) 2016/919 della Commissione e la decisione di esecuzione 2011/665/UE della Commissione per quanto riguarda l’allineamento alla direttiva (UE) 2016/797 del Parlamento europeo e del Consiglio e l’attuazione di obiettivi specifici stabiliti nella decisione delegata (UE) 2017/1474 della Commissione.
- RFI DTC SI MA IFS 001 D – Manuale di Progettazione delle Opere Civili RFI del 20-12-2019.
- AGI 2012 - Ancoraggi nei terreni e delle rocce.

 ITALFERR GRUPPO FERROVIE DELLO STATO ITALIANE	PROGETTO ESECUTIVO LINEA FOGGIA-POTENZA INTERVENTO DI SOPPRESSIONE P.L.					
	Viadotto ad archi - Relazione di calcolo opere provvisionali - 1/2	COMMESSA IA4K	LOTTO 42 E78	CODIFICA CL	DOCUMENTO NW08 007	REV. A

4 CARATTERISTICHE DEI MATERIALI

4.1 CALCESTRUZZO MICROPALI E CORDOLI

Tipologia esecutiva:		CEMENTAZIONE SEMPLICE
Classe di resistenza		C25/30
Classe di esposizione		XC2
Contenuto minimo cemento		340 kg/m ³
Peso Specifico	$\gamma =$	25 kN/m ³
Resistenza Cubica Caratteristica a compressione	$R_{ck} =$	30 MPa
Resistenza Cilindrica Caratteristica a compressione	$f_{ck} =$	25 MPa
Resistenza Cilindrica Media a compressione	$f_{cm} = f_{ck} + 8 =$	33 MPa
Modulo Elastico	$E = 22000 \cdot [f_{cm}/10]^{0.3} =$	31476 MPa
Coefficiente parziale di sicurezza allo SLU	$\gamma_C =$	1.5
Resistenza Cilindrica media a trazione	$f_{ctm} = 0,3 \cdot (f_{ck})^{2/3} =$	2.56 MPa
Resistenza Cilindrica Caratteristica a trazione	$f_{ctk} = 0,7 \cdot f_{ctm} =$	1.80 MPa
Resistenza di Calcolo a trazione	$f_{ctd} = f_{ctk} / \gamma_C =$	1.20 MPa
Resistenza media a trazione per flessione	$f_{cfm} = 1,2 \cdot f_{ctm} =$	3.08 MPa
Resistenza Cilindrica caratteristica a trazione	$f_{ctk} = 0,7 \cdot f_{cfm} =$	2.15 MPa

4.2 ACCIAIO DA CARPENTERIA

Classe		S 275
Tensione di snervamento caratteristica	$f_{yk} =$	275 N/mm ²
Tensione di rottura	$f_{tk} =$	430 N/mm ²

4.3 ACCIAIO PER C.A. TIPO B450C

Peso Specifico	$\gamma =$	78.5 kN/m ³
Modulo Elastico	$E =$	206000 MPa
Resistenza caratteristica allo snervamento	$f_{yk} =$	450 MPa
Resistenza caratteristica a rottura	$f_{tk} =$	540 MPa
Coefficiente di sicurezza allo SLU	$\gamma_S =$	1,15
Resistenza di calcolo allo SLU	$f_{yd} = f_{yk} / \gamma_S =$	391,3 MPa

4.4 TIRANTI

4.4.1 CARATTERISTICHE DEI TREFOLI

Diametro Nominale	15,20 mm (6/10")	
Sezione Nominale	139 mm ²	
Limite elastico convenzionale allo 0.1%	tp(1)k =	1670 MPa
Carico di rottura	ftpk =	1860 Mpa

4.4.2 CONDOTTI DI INIEZIONE

Devono presentare il diametro minimo di 16 mm e pressione di scoppio non inferiore a 1Mpa (10 kg/cmq) per iniezione a bassa pressione e non inferiore a 7.0 Mpa (70 kg/cmq) per iniezione ad alta pressione.

4.4.3 MISCELA DI INIEZIONE DEI TIRANTI (Calcestruzzo C20/25)

Peso Specifico	$\gamma =$	25 kN/m ³
Resistenza Cubica Caratteristica a compressione	$R_{ck} =$	25 MPa
Resistenza Cilindrica Caratteristica a compressione	$f_{ck} =$	20 MPa
Resistenza Cilindrica Media a compressione	$f_{cm} = f_{ck} + 8 =$	28 MPa
Modulo Elastico	$E = 22000 \cdot [f_{cm}/10]^{0.3} =$	29962 MPa
Coefficiente parziale di sicurezza allo SLU	$\gamma_C =$	1.5
Resistenza Cilindrica media a trazione	$f_{ctm} = 0,3 \cdot (f_{ck})^{2/3} =$	2.21 MPa
Resistenza Cilindrica Caratteristica a trazione	$f_{ctk} = 0,7 \cdot f_{ctm} =$	1.55 MPa
Resistenza di Calcolo a trazione	$f_{ctd} = f_{ctk} / \gamma_C =$	1.03 MPa
Resistenza media a trazione per flessione	$f_{cfm} = 1,2 \cdot f_{ctm} =$	2.65 MPa
Resistenza Cilindrica caratteristica a trazione	$f_{cfk} = 0,7 \cdot f_{cfm} =$	1.54 MPa
Densità	\geq	1.85 t/mc
Cemento		Tipo II
Rapporto a/c	\leq	0.45
Resistenza a compressione	\geq	25 Mpa dopo 3gg
	\geq	35 Mpa a 7gg
	\geq	50 Mpa a 28gg.

 ITALFERR GRUPPO FERROVIE DELLO STATO ITALIANE	PROGETTO ESECUTIVO LINEA FOGGIA-POTENZA INTERVENTO DI SOPPRESSIONE P.L.					
	Viadotto ad archi - Relazione di calcolo opere provvisionali - 1/2	COMMESSA IA4K	LOTTO 42 E78	CODIFICA CL	DOCUMENTO NW08 007	REV. A

5 MODELLO GEOTECNICO DI RIFERIMENTO

Il profilo stratigrafico è stato ottenuto mediante i risultati dei sondaggi realizzati nell'area interessata dall'opera. Difatti, le prove sono state eseguite fino ad una profondità di 40m e confrontate con quanto emerso dalle prove penetrometriche e sismiche. In particolare, le tipologie di terreno rinvenute durante il sondaggio sono:

- I. *Unità FYR2 – Flysch rosso*: argille, argille marnose e argilliti di colore grigio rossastro con subordinate intercalazioni di calcari marnosi e calcareniti (unità C).
- II. *Unità PAA – Serra Palazzo*: calciscisti grigio chiari con interstrati di marne calcaree; l'unità è a profondità maggiore di 40 m da p.c. (non intercettata dalle indagini).

In particolare, per realizzare il modello della paratia provvisoria (oggetto di valutazione e verifica) sono stati utilizzati i seguenti parametri geotecnici:

Tabella 1: Parametri geotecnici

N° strato	STRATIGRAFIA	
1	FLYSH ROSSO (10m)	
	Parametri	
	ϕ'	27°
	Y_{SAT}	20 kN/m ³
	c'	10 kPa
	E_{vc}	40 MPa
	E_{ur}	120 MPa
2	FLYSH ROSSO (z>10m)	
	Parametri	
	ϕ'	27°
	Y_{SAT}	20 kN/m ³
	c'	10 kPa
	E_{vc}	120 MPa
	E_{ur}	360 MPa

Il livello della falda di progetto, sulla base delle informazioni disponibili, risultato essere ad una quota pari a -3.5 m dal piano campagna. Da un punto di vista sismico, la categoria stratigrafica di riferimento da assumere per il sito in esame è la Categoria B.

 ITALFERR GRUPPO FERROVIE DELLO STATO ITALIANE	PROGETTO ESECUTIVO LINEA FOGGIA-POTENZA INTERVENTO DI SOPPRESSIONE P.L.					
	Viadotto ad archi - Relazione di calcolo opere provvisionali - 1/2	COMMESSA IA4K	LOTTO 42 E78	CODIFICA CL	DOCUMENTO NW08 007	REV. A

6 MODELLO DI CALCOLO

Lo studio del comportamento di un elemento di paratia inserito nel terreno viene effettuato tenendo conto della deformabilità dell'elemento stesso, considerato in regime elastico, e soggetto alle azioni derivanti dalla spinta dei terreni, dalle eventuali differenze di pressione idrostatiche, dalle spinte dovute ai sovraccarichi esterni e dalla presenza degli elementi di contrasto.

Lo studio della paratia viene condotto utilizzando il software di calcolo agli elementi finiti *Paratie Plus*. Attraverso questo software, specifico per opere di sostegno, la paratia viene discretizzata con elementi finiti monodimensionali aventi due gradi di libertà per nodo (spostamento orizzontale e rotazione). Viceversa, il terreno viene schematizzato secondo un modello a molle elasto-plastico; in cui si ha un comportamento elastico sino a valori limite dello spostamento, raggiunti i quali la reazione corrisponde, a seconda del segno dello stesso spostamento, ai valori limite della pressione attiva o passiva. In relazione agli spostamenti, questi vengono computati a partire dalla situazione di spinta "a riposo".

Con tale metodo, si può quindi seguire analiticamente la successione delle fasi di costruzione, di carico e di contrasto, in modo tale da fornire informazioni attendibili sull'entità delle deformazioni e sugli effetti che esse inducono sul diagramma delle pressioni esercitate dal terreno sulla paratia.

I parametri che caratterizzano il modello, dunque, possono essere distinti in due classi: parametri di spinta e parametri di deformabilità del terreno che compaiono nella definizione della rigidezza delle molle.

6.1 PARAMETRI DI SPINTA DEL TERRENO

La spinta sulla parete si determina come risultante delle pressioni orizzontali calcolate come:

$$\sigma_h = \sigma_v \cdot K \cdot \cos \delta$$

dove:

σ_h = pressione orizzontale;

σ_v = pressione verticale;

K = coefficiente di spinta dello strato di calcolo;

δ = coeff. di attrito terreno-parete;

La pressione verticale è data dal peso del terreno sovrastante:

- in termini di tensioni totali:

$$\sigma_v = \gamma z$$

γ = peso dell'unità di volume del terreno

z = generica quota di calcolo della pressione a partire dal piano campagna

- in termini di tensioni efficaci in assenza di filtrazione:

$$\sigma_v = \gamma' z$$

γ' = peso dell'unità di volume efficace del terreno

- in termini di tensioni efficaci in presenza di filtrazione:

$$\sigma_v = [\gamma - \gamma_w \cdot (1 + lw)] z$$

lw = gradiente idraulico.

 ITALFERR GRUPPO FERROVIE DELLO STATO ITALIANE	PROGETTO ESECUTIVO LINEA FOGGIA-POTENZA INTERVENTO DI SOPPRESSIONE P.L.					
	Viadotto ad archi - Relazione di calcolo opere provvisionali - 1/2	COMMESSA IA4K	LOTTO 42 E78	CODIFICA CL	DOCUMENTO NW08 007	REV. A

Coefficiente di spinta a riposo

Il coefficiente di spinta a riposo normal – consolidato può essere valutato come:

$$K_0^{NC} = 1 - \text{sen}(\phi'_{peak})$$

nelle sabbie

Il coefficiente di spinta a riposo, nel caso di deposito sovraconsolidato, viene stimato dalla relazione seguente:

$$K_0 = K_0^{NC} \cdot OCR^n$$

con $n = 0.5$ come valore tipico valido sia per argille che per sabbie.

Coefficienti di spinta attiva Ka e passiva Kp

I coefficienti di spinta attiva Ka e passiva Kp, corrispondenti alle condizioni di equilibrio limite attivo e passivo possono essere calcolati automaticamente dal programma o definiti dall'utente in funzione delle esigenze.

Tali coefficienti sono funzione dei seguenti parametri:

- angolo di resistenza a taglio del terreno;
- angolo di attrito muro – terreno;
- angolo di inclinazione del piano campagna rispetto all'orizzontale.

Nel caso di regime di spinta attivo, la presenza della coesione comporta una controspinta sulla parete, che vale:

$$\sigma_h = -2 \cdot c \cdot \sqrt{K_a}$$

con "c" coesione dello strato.

Nel caso in oggetto i coefficienti di spinta attiva sono stati calcolati automaticamente dal programma di calcolo Paratie Plus, considerando δ pari a 2/3 di ϕ' .

6.2 PARAMETRI DI DEFORMABILITÀ DEL TERRENO

Per la definizione del modulo di Young si utilizza il modello Elasto-plastico inserendo il valore di E manualmente. Il programma provvede automaticamente a calcolare le costanti di sottofondo per ogni fase di scavo come:

$$K_{monte} = \frac{E_m \cdot \Delta}{B_m} \quad e \quad K_{valle} = \frac{E_v \cdot \Delta}{B_v}$$

Dove Δ è il valore fornito dalla schematizzazione agli elementi finiti e B_m e B_v sono rispettivamente le estensioni laterali del cuneo di spinta attiva e passiva del terreno alla quota del baricentro del cuneo stesso, per ogni fase di scavo:

$$B_m = \frac{2}{3} \cdot A \cdot \tan\left(45^\circ - \frac{\phi'}{2}\right)$$

$$B_v = \frac{2}{3} \cdot (A - H) \cdot \tan\left(45^\circ + \frac{\phi'}{2}\right)$$

con $A = \min(2H_{scavo}; H_{paratia})$

Il valore del modulo in fase di scarico si assume pari a tre volte il modulo di primo carico:

$$E_{ur} = 3 \cdot E_{vc}$$

 ITALFERR GRUPPO FERROVIE DELLO STATO ITALIANE	PROGETTO ESECUTIVO LINEA FOGGIA-POTENZA INTERVENTO DI SOPPRESSIONE P.L.					
	Viadotto ad archi - Relazione di calcolo opere provvisionali - 1/2	COMMESSA IA4K	LOTTO 42 E78	CODIFICA CL	DOCUMENTO NW08 007	REV. A

6.3 PROPRIETÀ DELLE PARATIE

Secondo quanto prescritto al paragrafo 6.5.2.2 delle NTC 2018, l'altezza di scavo di verifica per le paratie deve essere aumentata del minore dei seguenti valori:

- 10% dell'altezza di terreno da sostenere nel caso di opere a sbalzo;
- 10% della differenza di quota fra il livello inferiore di vincolo e il fondo scavo nel caso di opere vincolate;
- 0.5 m.

Una volta definite le caratteristiche stratigrafiche, si è passati alla modellazione e valutazione dell'opera provvisoria.

In particolare, sono state individuate in funzione dell'altezza di scavo due sezioni di calcolo aventi altezza di scavo di progetto rispettivamente di 7.5m e 9m.

Sulla base delle caratteristiche del modello stratigrafico, delle proprietà del terreno e delle caratteristiche dello scavo, nella tabella sottostante è riportata la tipologia di micropali ottenute a valle della fase di calcolo e verifica.

- **Paratia H_{scavo} =9.0m**

Per la paratia con altezza di scavo di progetto pari a 9m si rende necessario l'inserimento di un doppio ordine di tiranti rispettivamente alla quota -2.5m e -5.5m dalla testa della paratia. Si riportano le caratteristiche geometriche di tutti gli elementi strutturali:

Tabella 2: caratteristiche geometriche paratia di micropali H_{scavo}=9m

Diametro pali:	φ300
Interasse	0.50 m
Tubolare:	φ 219.1 mm
Spessore:	20mm
Lunghezza totale pali:	15 m
Profondità primo ordine tiranti	-2.5m
Profondità secondo ordine tiranti	-5.5m
Altezza massima fuori terra:	8.64 m
Altezza di scavo di progetto:	8.64 m + 0.30 = 9.00 m

- **Paratia H_{scavo} =7.5m**

Per la paratia con altezza di scavo di progetto pari a 7.5m si rende necessario l'inserimento di un singolo ordine di tiranti alla quota -2.5m da testa paratia. Si riportano le caratteristiche geometriche di tutti gli elementi strutturali.

Diametro pali:	φ300
Interasse	0.50 m
Tubolare:	φ 219.1 mm
Spessore:	20mm
Lunghezza totale pali:	14 m
Profondità ordine tiranti	-2.5m

Altezza massima fuori terra:	m
Altezza di scavo di progetto:	8.64 m + 0.30 = 9.00 m

In virtù del rapporto cls/acciaio, per il calcolo dell'inerzia della paratia è stato considerato un coefficiente di efficacia pari a 0.60 (solo cls interno al tubolare). Da precisare che, tubolari di armatura e diametro dei micropali sono stati scelti in riferimento ai requisiti prestazionali di limitazione delle deformazioni orizzontali (e dei cedimenti) agli SLE e non in relazione alla resistenza strutturale per gli SLU.

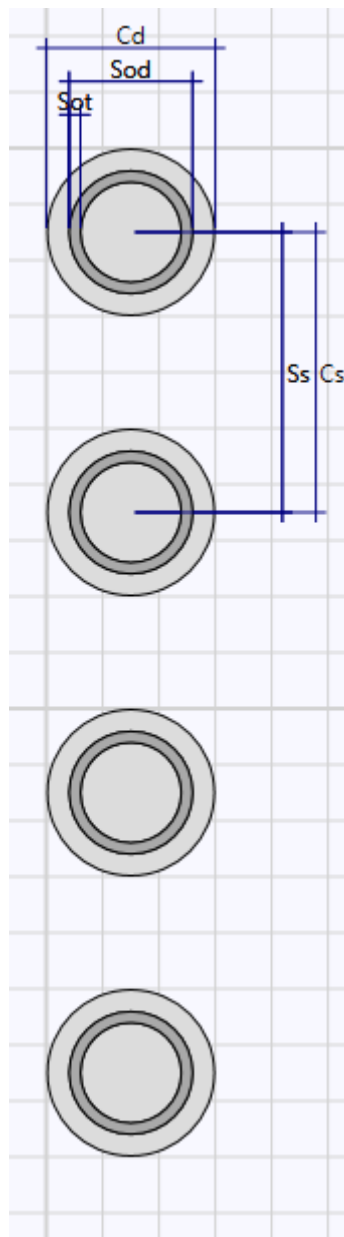


Figura 7: Micropali $\phi 300/50$ mm

 ITALFERR GRUPPO FERROVIE DELLO STATO ITALIANE	PROGETTO ESECUTIVO LINEA FOGGIA-POTENZA INTERVENTO DI SOPPRESSIONE P.L.					
	Viadotto ad archi - Relazione di calcolo opere provvisionali - 1/2	COMMESSA IA4K	LOTTO 42 E78	CODIFICA CL	DOCUMENTO NW08 007	REV. A

6.4 FASI ESECUTIVE PARATIA $H_{SCAVO}=9m$

Il modello rappresentativo dello scavo prevede le seguenti fasi realizzative:

1. Definizione condizione iniziale e applicazione carico accidentale (20 kPa);
2. Inserimento paratia;
3. Primo scavo (fino a quota -3.0 m);
4. Inserimento primo tirante (quota -2.5 m);
5. Secondo scavo (fino a quota -6.0 m);
6. Inserimento secondo tirante (quota -5.5 m)
7. Ultimo scavo (quota max: -9.0 m);
8. Applicazione dei carichi sismici.

In questo caso, essendo in presenza di un'infrastruttura stradale, durante tutte le fasi di scavo viene schematizzato un carico uniformemente distribuito tale da rappresentare questa condizione nel modello.

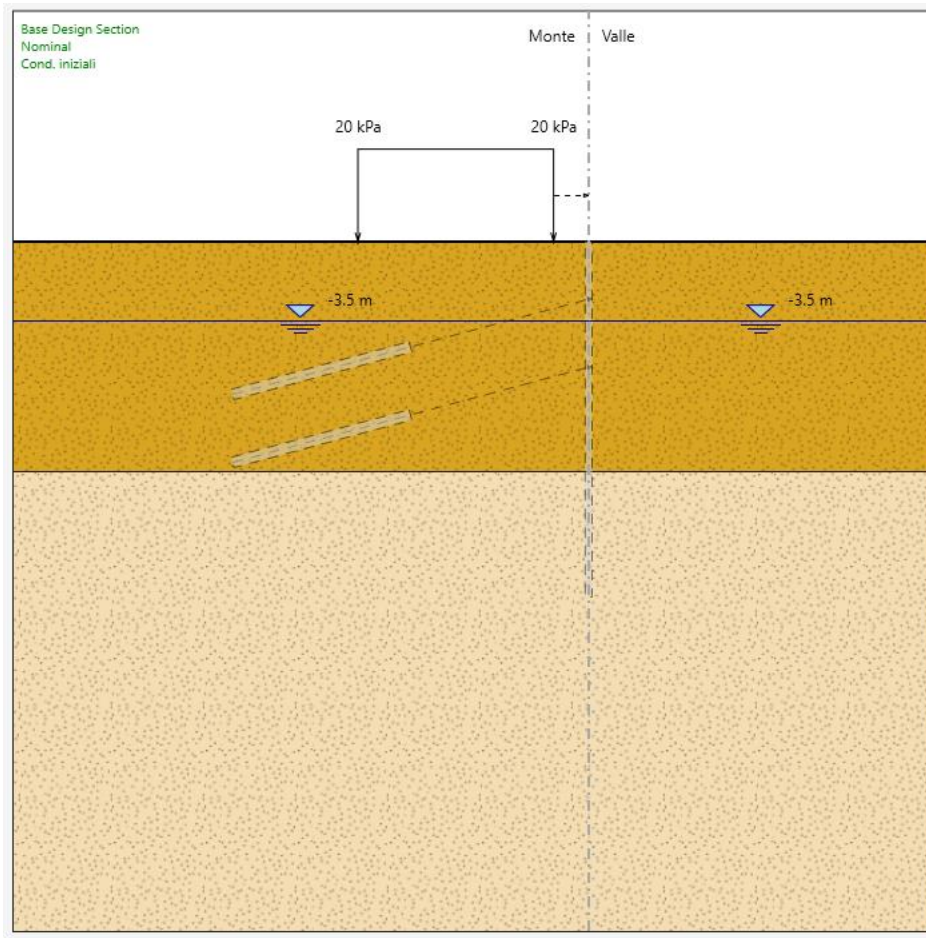


Figura 3 : Condizione iniziale del modello.

Immagini esplicative di tutte le fasi costruttive del modello sono riportate nei tabulati di calcolo a seguire.

6.5 FASI ESECUTIVE PARATIA $H_{SCAVO}=7.5m$

Il modello rappresentativo dello scavo prevede le seguenti fasi realizzative:

1. Definizione condizione iniziale e applicazione carico accidentale (20 kPa);
2. Inserimento paratia;
3. Primo scavo (fino a quota -3.0 m);
4. Inserimento tirante (quota -2.5 m);
5. Ultimo scavo (quota max: -7.5 m);
6. Applicazione dei carichi sismici.

In questo caso, essendo in presenza di un'infrastruttura stradale, durante tutte le fasi di scavo viene schematizzato un carico uniformemente distribuito tale da rappresentare questa condizione nel modello.

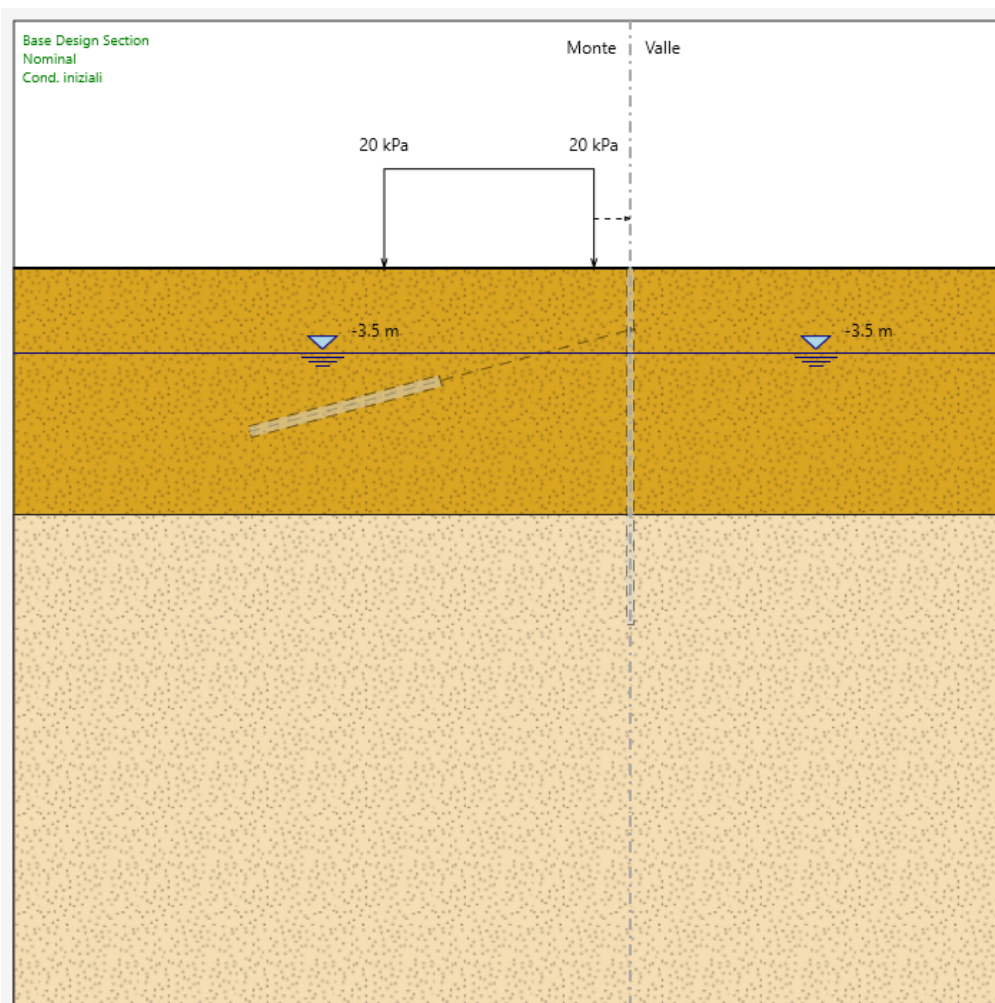


Figura 4 : Condizione iniziale del modello.

Immagine esplicative di tutte le fasi costruttive del modello sono riportate nei tabulati di calcolo a seguire.

 ITALFERR GRUPPO FERROVIE DELLO STATO ITALIANE	PROGETTO ESECUTIVO LINEA FOGGIA-POTENZA INTERVENTO DI SOPPRESSIONE P.L.					
	Viadotto ad archi - Relazione di calcolo opere provvisionali - 1/2	COMMESSA IA4K	LOTTO 42 E78	CODIFICA CL	DOCUMENTO NW08 007	REV. A

7 ANALISI DEI CARICHI

Il dimensionamento delle strutture provvisionali viene effettuato sulla base delle azioni elementari riportate nei successivi paragrafi.

7.1 PESO PROPRIO

Il peso proprio degli elementi strutturali viene tenuto in conto direttamente dal software Paratie Plus una volta definite le geometrie ed il materiale.

7.2 CARICHI ACCIDENTALI

I carichi accidentali interagenti con l'opera sono costituiti dalla presenza di una strada a monte. La determinazione del carico stradale potrà effettuarsi assumendo, convenzionalmente, un carico di 20 kN/mq.

7.3 SPINTA DEL TERRENO

L'azione della spinta del terreno, che porta in conto anche la presenza della falda, è stata calcolata in automatico dal codice di calcolo in funzione dei dati immessi in input, ovvero dei parametri geotecnici di progetto definiti a partire dai valori caratteristici indicati in precedenza, applicando i coefficienti parziali della tabella 6.2.II.

Tab. 6.2.II – Coefficienti parziali per i parametri geotecnici del terreno

Parametro	Grandezza alla quale applicare il coefficiente parziale	Coefficiente parziale γ_M	(M1)	(M2)
Tangente dell'angolo di resistenza al taglio	$\tan \varphi'_k$	$\gamma_{\varphi'}$	1,0	1,25
Coesione efficace	c'_k	$\gamma_{c'}$	1,0	1,25
Resistenza non drenata	c_{uk}	γ_{cu}	1,0	1,4
Peso dell'unità di volume	γ_r	γ_r	1,0	1,0

In particolare si riportano di seguito i valori dei coefficienti di Spinta Attiva (K_a) e di Spinta passiva (K_p) in condizioni statiche e sismiche al variare della Combinazione considerata (A1+M1+R1 e A2+M2+R1):

Tabella 3: coefficienti di spinta attiva e passiva in condizioni statiche e sismiche (paratia H scavo=9m)

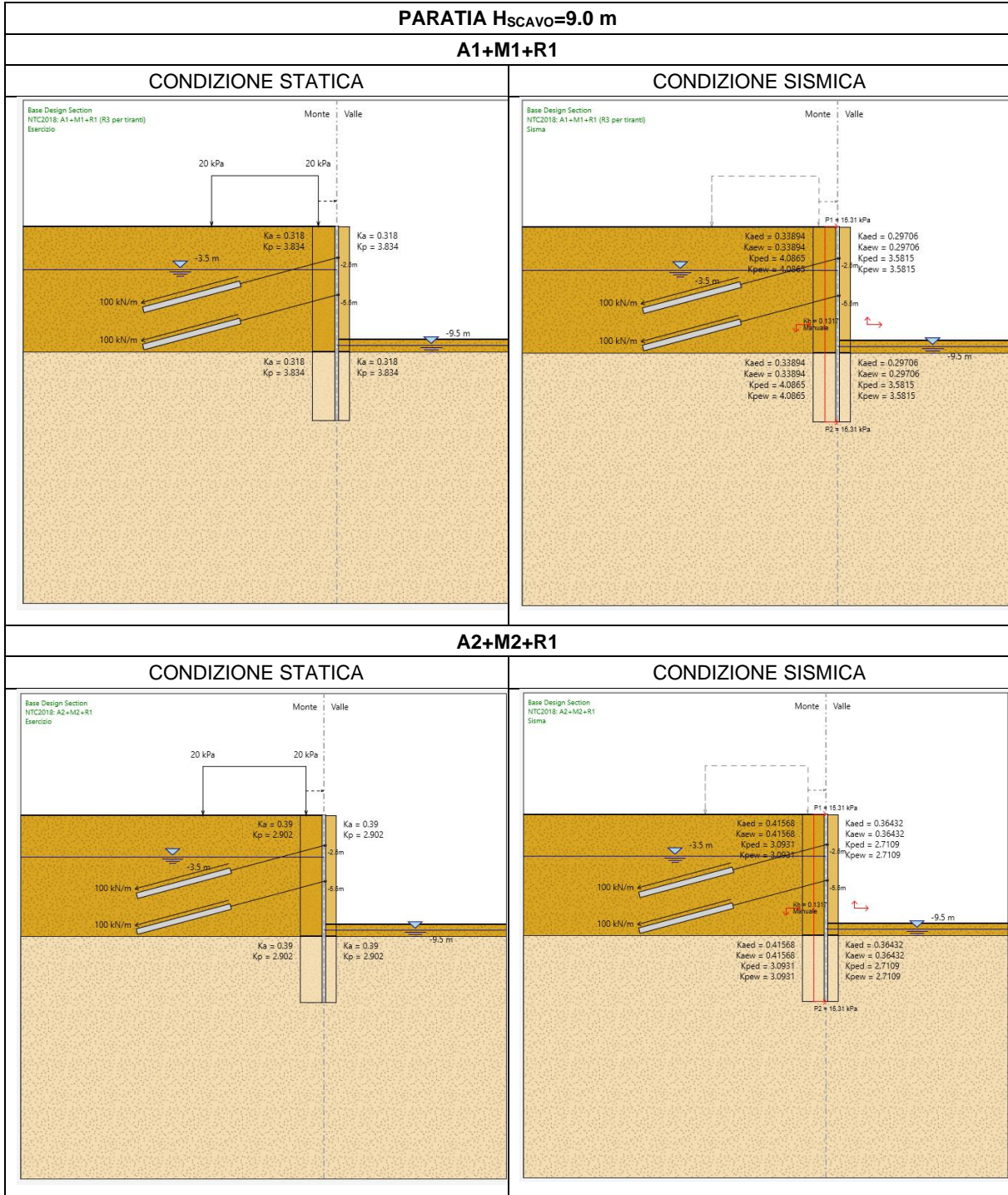


Tabella 4: coefficienti di spinta attiva e passiva in condizioni statiche e sismiche (paratia H scavo=7.5m)

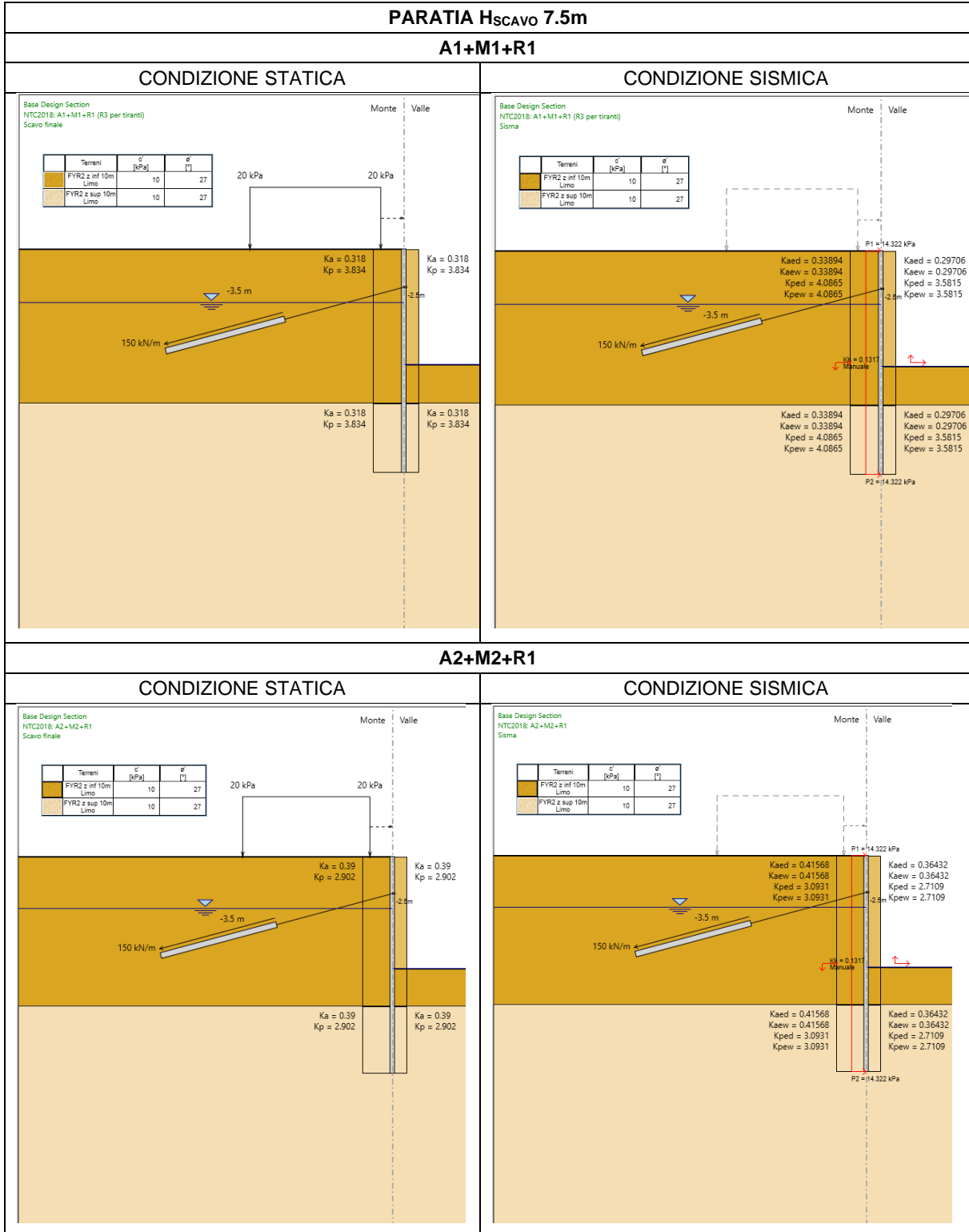


Tabella 5: coefficienti di Spinta Attiva e Passiva

 ITALFERR GRUPPO FERROVIE DELLO STATO ITALIANE	PROGETTO ESECUTIVO LINEA FOGGIA-POTENZA INTERVENTO DI SOPPRESSIONE P.L.					
	Viadotto ad archi - Relazione di calcolo opere provvisionali - 1/2	COMMESSA IA4K	LOTTO 42 E78	CODIFICA CL	DOCUMENTO NW08 007	REV. A

7.4 AZIONI SISMICHE

Trattandosi di opere provvisionali con vita nominale inferiore ai 2 anni, l'azione sismica non viene presa in considerazioni nelle analisi (Tabella 2.4.I dal NTC2018). Nonostante ciò, le strutture vengono considerate con una vita nominale di 35 anni. Pertanto, nella valutazione della accelerazione orizzontale massima a_g si è fatto riferimento alle mappe di pericolosità sismica dell'I.N.G.V. (Istituto Nazionale di Geofisica e Vulcanologia). In relazione alle opere in oggetto, vista la variazione non sostanziale dei parametri di pericolosità sismica lungo il tracciato dell'asse principale, i dati utilizzati per determinare l'azione sismica sono relativi al Comune di Rionero in Vulture in provincia di Potenza (Basilicata).

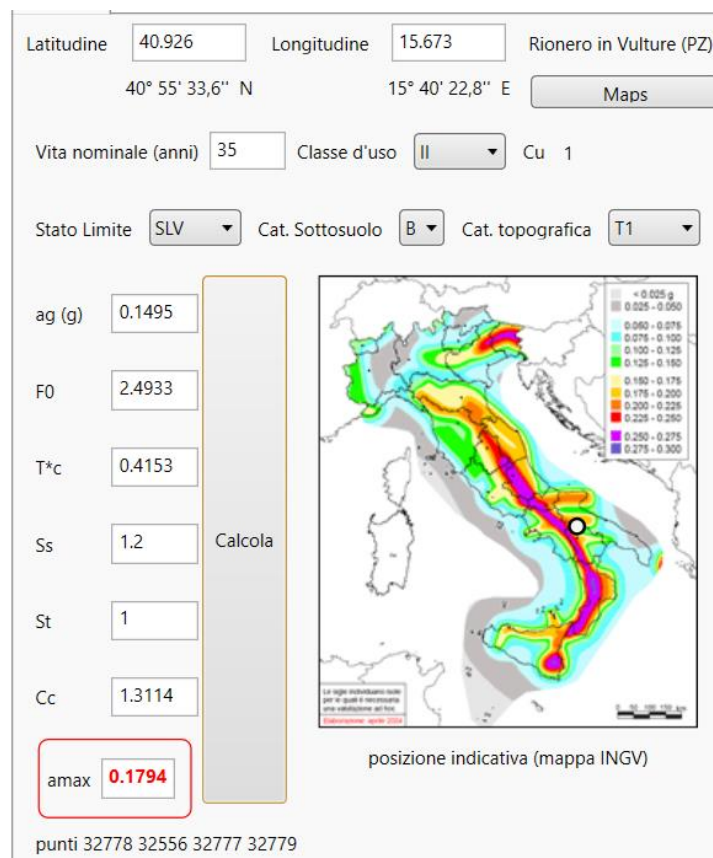


Figura 5: Individuazione della pericolosità sismica del sito.

 ITALFERR GRUPPO FERROVIE DELLO STATO ITALIANE	PROGETTO ESECUTIVO LINEA FOGGIA-POTENZA INTERVENTO DI SOPPRESSIONE P.L.					
	Viadotto ad archi - Relazione di calcolo opere provvisionali - 1/2	COMMESSA IA4K	LOTTO 42 E78	CODIFICA CL	DOCUMENTO NW08 007	REV. A

La tabella sottostante riassume i valori considerati per la zona in esame:

Zona sismica	1
Categoria suolo di fondazione	B
Classe della struttura	II
Accelerazione orizzontale massima convenzionale per zona 1 e struttura di classe II (vedi par. 3.2.1)	0.1495
Fattore S che tiene conto della categoria del suolo di fondazione = B	1.2

Tabella 5: Parametri sismici

In definitiva l'accelerazione orizzontale massima convenzionale per zona 1, struttura di classe II e suolo di categoria B: $a_{\max,SLV} = 0.1495 \text{ g} \times 1.2 = 0.1794 \text{ g}$.

In generale, il metodo pseudo-statico modella l'azione sismica considerando in luogo delle azioni dinamiche azioni statiche equivalenti ovvero forze statiche orizzontali f_h e verticali f_v per unità di volume.

Nel caso di realizzazione di paratie la NTC prevede:

7.11.6.3.1 Metodi pseudo-statici

Nei metodi pseudo-statici l'azione sismica è definita mediante un'accelerazione equivalente, costante nello spazio e nel tempo.

Le componenti orizzontale e verticale a_h e a_v dell'accelerazione equivalente devono essere ricavate in funzione delle proprietà del moto sismico atteso nel volume di terreno significativo per l'opera e della capacità dell'opera di subire spostamenti senza significative riduzioni di resistenza.

In mancanza di studi specifici, a_h può essere legata all'accelerazione di picco a_{\max} attesa nel volume di terreno significativo per l'opera mediante la relazione:

$$a_h = k_h \cdot g = \alpha \cdot \beta \cdot a_{\max} \quad [7.11.9]$$

dove g è l'accelerazione di gravità, k_h è il coefficiente sismico in direzione orizzontale, $\alpha \leq 1$ è un coefficiente che tiene conto della deformabilità dei terreni interagenti con l'opera e $\beta \leq 1$ è un coefficiente funzione della capacità dell'opera di subire spostamenti senza cadute di resistenza.

Per le paratie si può porre $a_v = 0$.

L'accelerazione di picco a_{\max} è valutata mediante un'analisi di risposta sismica locale, oppure come

$$a_{\max} = S \cdot a_g = (S_S \cdot S_T) \cdot a_g \quad [7.11.10]$$

dove S è il coefficiente che comprende l'effetto dell'amplificazione stratigrafica (S_S) e dell'amplificazione topografica (S_T), di cui al § 3.2.3.2, ed a_g è l'accelerazione orizzontale massima attesa su sito di riferimento rigido.

Il valore del coefficiente α può essere ricavato a partire dall'altezza complessiva H della paratia e dalla categoria di sottosuolo mediante il diagramma di Fig. 7.11.2.

Per il sottosuolo di categoria E si utilizzano le curve dei sottosuoli C o D in dipendenza dei valori assunti dalla velocità equivalente V_s .

Per la valutazione della spinta nelle condizioni di equilibrio limite passivo deve porsi $\alpha = 1$.

Il valore del coefficiente β può essere ricavato dal diagramma di Fig. 7.11.3, in funzione del massimo spostamento permanente u_s che l'opera può tollerare, verificando l'effettivo sviluppo di meccanismi duttili nel sistema. In assenza di tale verifica, il coefficiente β vale 1.

Per $u_s = 0$ è $\beta = 1$. Deve comunque risultare:

$$u_s \leq 0,005 \cdot H \quad [7.11.11]$$

Se $\alpha \cdot \beta \leq 0,2$ deve assumersi $k_h = 0,2 \cdot a_{max} / g$.

Possono inoltre essere trascurati gli effetti inerziali sulle masse che costituiscono la paratia.

Per valori dell'angolo di resistenza al taglio tra terreno e parete $\delta > \varphi/2$, ai fini della valutazione della resistenza passiva è necessario tener conto della non planarità delle superfici di scorrimento.

Si riportano i grafici relativi al calcolo di α e β come dal paragrafo 7.11.6.3.2 della NTC 18

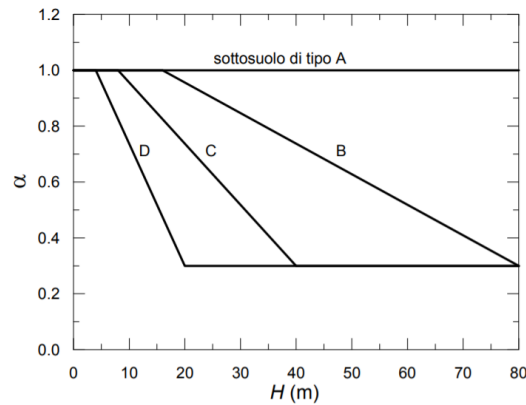


Fig. 7.11.2 – Diagramma per la valutazione del coefficiente di deformabilità α

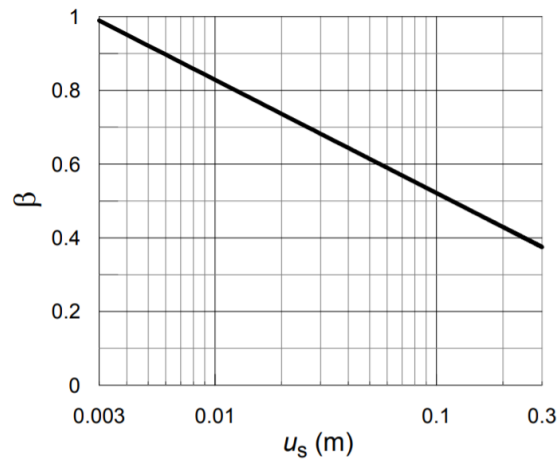


Fig. 7.11.3 – Diagramma per la valutazione del coefficiente di spostamento β .

Si riportano i valori di u_s , β e k_h per il caso in esame:

ag	Ss	St	u_s	α	β	k_h
[g]	[-]	[-]	[m]	[-]	[-]	[g]
0.1495	1.2	1	0.02	1	0.7344	0.1317

Tabella 6: parametri sismici di progetto

 ITALFERR GRUPPO FERROVIE DELLO STATO ITALIANE	PROGETTO ESECUTIVO LINEA FOGGIA-POTENZA INTERVENTO DI SOPPRESSIONE P.L.					
	Viadotto ad archi - Relazione di calcolo opere provvisionali - 1/2	COMMESSA IA4K	LOTTO 42 E78	CODIFICA CL	DOCUMENTO NW08 007	REV. A

E' possibile ricorrere alla formulazione proposta da [Mononobe e Matsuo, 1929] e [Okabe, 1926] che è una estensione del metodo di Coulomb al caso dell'equilibrio limite del terreno a tergo dell'opera di sostegno, ottenuta considerando le forze di inerzia prodotte dai coefficienti sismici orizzontale e verticale. Tale metodo consiste nel determinare il coefficiente di spinta attiva in condizioni sismiche:

$$\beta \leq \varphi' - \theta: \quad k_{a,e} = \frac{[\sin(\psi + \varphi' - \theta)]^2}{\cos \theta [\sin(\psi)]^2 \sin(\psi - \theta - \delta) \left[1 + \sqrt{\frac{\sin(\varphi' + \delta) \sin(\varphi' - \beta - \theta)}{\sin(\psi - \theta - \delta) \sin(\psi + \beta)}} \right]^2}$$

$$\beta > \varphi' - \theta: \quad k_{a,e} = \frac{[\sin(\psi + \varphi' - \theta)]^2}{\cos \theta [\sin(\psi)]^2 \sin(\psi - \theta - \delta)}$$

dove:

$$\tan \theta = \chi \frac{k_h}{1 \pm k_v}$$

χ : è un coefficiente che nel caso di terreno asciutto vale 1, nel caso di terreno sismicamente permeabile ($k \geq 5 \times 10^{-4}$ m/s) vale γ_d / γ' (rapporto fra il peso a secco dell'unità di volume ed il peso immerso), nel caso di terreni sismicamente impermeabili ($k < 5 \times 10^{-4}$ m/s) si pone γ_{sat} / γ' (rapporto fra il peso saturo dell'unità di volume ed il peso immerso)

Trascurando sia nella spinta statica sia nella spinta sismica la coesione efficace, l'incremento di pressione $\Delta\sigma_h$ esercitato dal terreno per effetto del sisma è:

$$\Delta\sigma_h = (1 \pm k_v) k_{ae} \sigma'_v - k_a \sigma'_v = [(1 \pm k_v) k_{ae} - k_a] \sigma'_v = \delta k_a \sigma'_v$$

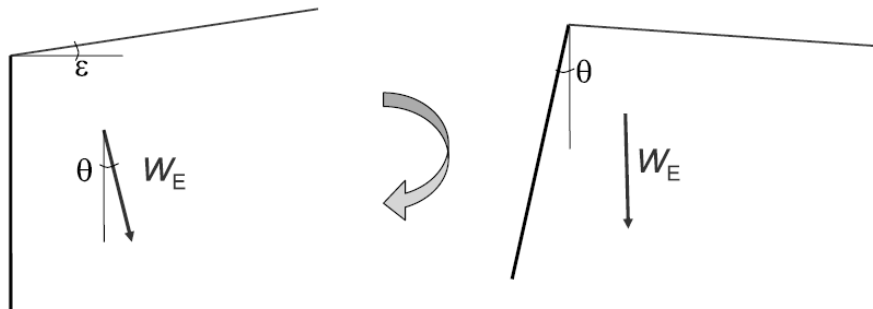
Alla pressione $\Delta\sigma_h$, per terreni sotto falda con permeabilità $k \geq$ di 5×10^{-4} m/s (terreni sismicamente permeabili), occorre aggiungere anche la pressione idrodinamica Δp che può essere tenuta in conto con la seguente espressione:

$$\Delta p = 7 \gamma_w k_h (H_w z_w)^{0.5} / 8$$

dove:

- H_w : è l'altezza del livello di falda rispetto a fondo scavo
- Z_w : è la profondità del punto considerato dalla superficie libera della falda

Analogamente è possibile valutare, con una analoga formulazione proposta da [Lancellotta, 2007], il coefficiente di resistenza passiva in condizioni sismiche:



$$K_{PE} = \left[\frac{\cos \delta}{\cos(\varepsilon - \theta) - \sqrt{\sin^2 \varphi - \sin^2(\varepsilon - \theta)}} \cdot \left(\cos \delta + \sqrt{\sin^2 \varphi - \sin^2 \delta} \right) \right] \cdot e^{2\psi \tan \varphi}$$

$$\psi = 0.5 \left\{ \arcsin \left(\frac{\sin \delta}{\sin \varphi} \right) + \arcsin \left[\frac{\sin(\varepsilon - \theta)}{\sin \varphi} \right] + \delta + (\varepsilon - \theta) + 2\theta \right\}$$

$$\theta = \arctan \frac{k_h}{1 - k_v}$$

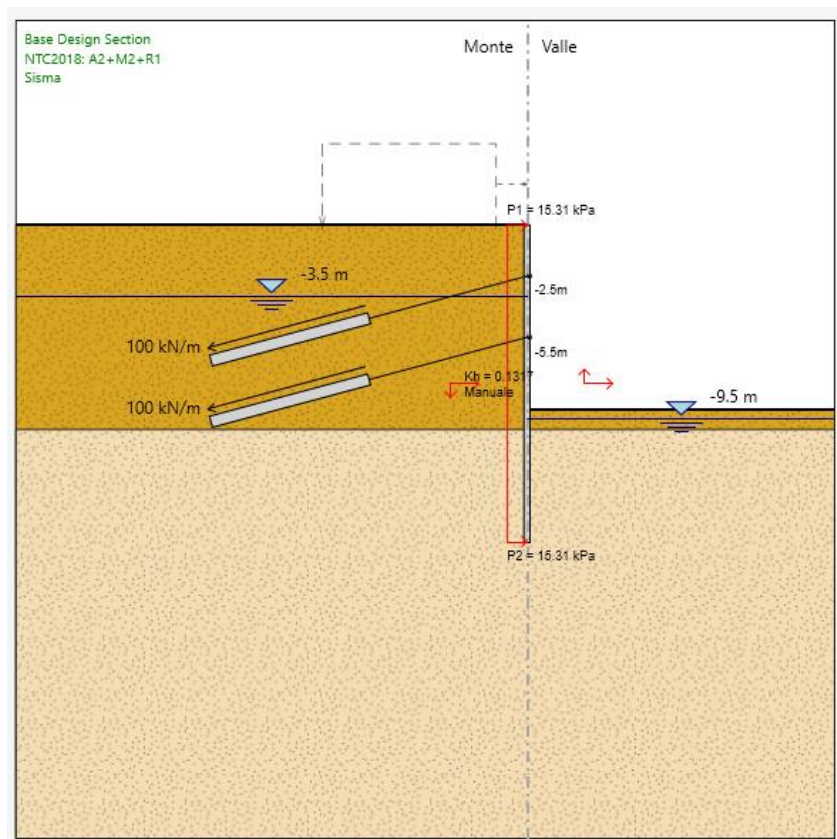


Figura 6: azione sismica paratia Hscavo=9m

 ITALFERR GRUPPO FERROVIE DELLO STATO ITALIANE	PROGETTO ESECUTIVO LINEA FOGGIA-POTENZA INTERVENTO DI SOPPRESSIONE P.L.					
	Viadotto ad archi - Relazione di calcolo opere provvisionali - 1/2	COMMESSA IA4K	LOTTO 42 E78	CODIFICA CL	DOCUMENTO NW08 007	REV. A

8 CRITERI GENERALI DI PROGETTAZIONE E VERIFICA AI SENSI DEL D.M. 17-01-2018

Nel presente paragrafo sono riportate alcune indicazioni salienti della Normativa riguardanti criteri generali di progettazione e verifica delle opere strutturali e geotecniche, oltre a specifiche da adottare per il caso delle Paratie di Sostegno.

8.1 METODO AGLI STATI LIMITE ED APPROCCI DI PROGETTO

Il progetto di opere strutturali e geotecniche va effettuato, come prescritto dal DM 17/01/18, con i criteri del metodo **semiprobabilistico agli stati limite** basati sull'impiego dei coefficienti parziali di sicurezza. Nel metodo semiprobabilistico agli stati limite, la sicurezza strutturale è verificata tramite il confronto tra la resistenza e l'effetto delle azioni. La normativa distingue inoltre tra **Stati Limite Ultimi** e **Stati Limite di Esercizio**.

La verifica della sicurezza nei riguardi degli **stati limite ultimi** di resistenza è stata effettuata con il "metodo dei coefficienti parziali" di sicurezza espresso dalla equazione formale: $R_d \geq E_d$.
Dove:

R_d è la resistenza di progetto

$$R_d = \frac{1}{\gamma_R} R \left[\gamma_F F_k; \frac{X_k}{\gamma_M}; a_d \right]$$

E_d è il valore di progetto dell'effetto delle azioni,

$$E_d = E \left[\gamma_F F_k; \frac{X_k}{\gamma_M}; a_d \right]$$

oppure

$$E_d = \gamma_E \cdot E \left[F_k; \frac{X_k}{\gamma_M}; a_d \right]$$

Il coefficiente γ_R opera direttamente sulla resistenza del sistema. I coefficienti parziali di sicurezza, γ_{Mi} e $\gamma_{Fj} = \gamma_{Ej}$, associati rispettivamente al materiale *i*-esimo e all'azione *j*-esima, tengono in conto la variabilità delle rispettive grandezze e le incertezze relative alle tolleranze geometriche e all'affidabilità del modello di calcolo.

In accordo a quanto stabilito al §2.6.1 del DM 17.01.18, la verifica della condizione $R_d \geq E_d$ deve essere effettuata impiegando diverse combinazioni di gruppi di coefficienti parziali, rispettivamente definiti per le azioni (A1 e A2), per i parametri geotecnici (M1 e M2) e per le resistenze (R1, R2 e R3). I diversi gruppi di coefficienti di sicurezza parziali sono scelti nell'ambito di due approcci progettuali distinti e alternativi.

Nel primo Approccio progettuale (**Approccio 1**) le verifiche si eseguono con due diverse combinazioni di gruppi di coefficienti ognuna delle quali può essere critica per differenti aspetti dello stesso progetto, convenzionalmente indicate come di seguito:

A1+M1+R1

A2+M2+R2

Nel secondo approccio progettuale (**Approccio 2**) le verifiche si eseguono con un'unica combinazione di gruppi di coefficienti.

Gli stati limite di verifica si distinguono in genere in:

EQU perdita di equilibrio della struttura fuori terra, considerata come corpo rigido.

STR raggiungimento della resistenza degli elementi strutturali.

GEO raggiungimento della resistenza del terreno interagente con la struttura con sviluppo di meccanismi di collasso dell'insieme terreno-struttura;

 ITALFERR GRUPPO FERROVIE DELLO STATO ITALIANE	PROGETTO ESECUTIVO LINEA FOGGIA-POTENZA INTERVENTO DI SOPPRESSIONE P.L.					
	Viadotto ad archi - Relazione di calcolo opere provvisionali - 1/2	COMMESSA IA4K	LOTTO 42 E78	CODIFICA CL	DOCUMENTO NW08 007	REV. A

UPL perdita di equilibrio della struttura o del terreno, dovuta alla spinta dell'acqua (sollevamento per galleggiamento).

HYD erosione e sifonamento del terreno dovuta ai gradienti idraulici.

I coefficienti parziali da applicare alle azioni sono quelli definiti alla Tab 2.6.I del DM 17.01.18 di seguito riportata per chiarezza espositiva:

Tab. 2.6.I – Coefficienti parziali per le azioni o per l'effetto delle azioni nelle verifiche SLU

		Coefficiente	EQU	A1	A2
		γ_F			
Carichi permanenti G_1	Favorevoli	γ_{G1}	0,9	1,0	1,0
	Sfavorevoli		1,1	1,3	1,0
Carichi permanenti non strutturali $G_2^{(1)}$	Favorevoli	γ_{G2}	0,8	0,8	0,8
	Sfavorevoli		1,5	1,5	1,3
Azioni variabili Q	Favorevoli	γ_Q	0,0	0,0	0,0
	Sfavorevoli		1,5	1,5	1,3

⁽¹⁾ Nel caso in cui l'intensità dei carichi permanenti non strutturali o di una parte di essi (ad es. carichi permanenti portati) sia ben definita in fase di progetto, per detti carichi o per la parte di essi nota si potranno adottare gli stessi coefficienti parziali validi per le azioni permanenti.

Nella Tab. 2.6.I il significato dei simboli è il seguente:

γ_{G1} coefficiente parziale dei carichi permanenti G_1 ;

γ_{G2} coefficiente parziale dei carichi permanenti non strutturali G_2 ;

γ_Q coefficiente parziale delle azioni variabili Q.

Nel caso in cui l'azione sia costituita dalla spinta del terreno, per la scelta dei coefficienti parziali di sicurezza valgono le indicazioni riportate nel Capitolo 6.

I valori dei coefficienti parziali da applicare ai materiali e/o alle caratteristiche dei terreni (M) sono definiti nelle specifiche sezioni della norma, ed in particolare al Cap. 4 per ciò che concerne i coefficienti parziali da applicare ai materiali strutturali, mentre al Cap.6 sono indicati quelli da applicare alle caratteristiche meccaniche dei terreni.

I coefficienti parziali da applicare alle resistenze (R) sono infine unitari sulle capacità resistenti degli elementi strutturali, mentre assumono in genere valore diverso da 1 per ciò che concerne verifiche che attengono il controllo di meccanismi di stabilità locale o globale; i valori da adottare per ciascun meccanismo di verifica, sono definiti nelle specifiche sezioni di normativa dedicate al calcolo delle diverse opere geotecniche.

La verifica della sicurezza nei riguardi degli **stati limite di esercizio** viene effettuata invece controllando gli aspetti di funzionalità e lo stato tensionale e/o deformativo delle opere, con riferimento ad una combinazione di verifica caratterizzata da coefficienti parziali sulle azioni e sui materiali tutti unitari.

 ITALFERR GRUPPO FERROVIE DELLO STATO ITALIANE	PROGETTO ESECUTIVO LINEA FOGGIA-POTENZA INTERVENTO DI SOPPRESSIONE P.L.					
	Viadotto ad archi - Relazione di calcolo opere provvisionali - 1/2	COMMESSA IA4K	LOTTO 42 E78	CODIFICA CL	DOCUMENTO NW08 007	REV. A

Al § 2.5.3 del DM 17.01.18, sono infine definiti i criteri con cui le diverse azioni presenti vanno combinate per ciascuno stato limite di verifica previsto dalla Normativa, di seguito riportati per completezza:

2.5.3. COMBINAZIONI DELLE AZIONI

Ai fini delle verifiche degli stati limite, si definiscono le seguenti combinazioni delle azioni.

- Combinazione fondamentale, generalmente impiegata per gli stati limite ultimi (SLU):

$$\gamma_{G1} \cdot G_1 + \gamma_{G2} \cdot G_2 + \gamma_P \cdot P + \gamma_{Q1} \cdot Q_{k1} + \gamma_{Q2} \cdot \psi_{02} \cdot Q_{k2} + \gamma_{Q3} \cdot \psi_{03} \cdot Q_{k3} + \dots \quad [2.5.1]$$

- Combinazione caratteristica, cosiddetta rara, generalmente impiegata per gli stati limite di esercizio (SLE) irreversibili:

$$G_1 + G_2 + P + Q_{k1} + \psi_{02} \cdot Q_{k2} + \psi_{03} \cdot Q_{k3} + \dots \quad [2.5.2]$$

- Combinazione frequente, generalmente impiegata per gli stati limite di esercizio (SLE) reversibili:

$$G_1 + G_2 + P + \psi_{11} \cdot Q_{k1} + \psi_{22} \cdot Q_{k2} + \psi_{23} \cdot Q_{k3} + \dots \quad [2.5.3]$$

- Combinazione quasi permanente (SLE), generalmente impiegata per gli effetti a lungo termine:

$$G_1 + G_2 + P + \psi_{21} \cdot Q_{k1} + \psi_{22} \cdot Q_{k2} + \psi_{23} \cdot Q_{k3} + \dots \quad [2.5.4]$$

- Combinazione sismica, impiegata per gli stati limite ultimi e di esercizio connessi all'azione sismica E:

$$E + G_1 + G_2 + P + \psi_{21} \cdot Q_{k1} + \psi_{22} \cdot Q_{k2} + \dots \quad [2.5.5]$$

- Combinazione eccezionale, impiegata per gli stati limite ultimi connessi alle azioni eccezionali A:

$$G_1 + G_2 + P + A_d + \psi_{21} \cdot Q_{k1} + \psi_{22} \cdot Q_{k2} + \dots \quad [2.5.6]$$

Gli effetti dell'azione sismica saranno valutati tenendo conto delle masse associate ai seguenti carichi gravitazionali:

$$G_1 + G_2 + \sum_j \psi_{2j} Q_{kj} \quad [2.5.7]$$

Nelle combinazioni si intende che vengano omessi i carichi Q_{kj} che danno un contributo favorevole ai fini delle verifiche e, se del caso, i carichi G_3 .

Nell'ambito della progettazione geotecnica, la normativa definisce inoltre nella Tab 6.2.II, i valori dei coefficienti parziali M1/M2 da applicare ai parametri caratteristici dei terreni nell'ambito delle diverse combinazioni contemplate dai due approcci di progetto come già illustrati al paragrafo precedente:

Tab. 6.2.II – Coefficienti parziali per i parametri geotecnici del terreno

Parametro	Grandezza alla quale applicare il coefficiente parziale	Coefficiente parziale γ_M	(M1)	(M2)
Tangente dell'angolo di resistenza al taglio	$\tan \varphi'_k$	γ_φ	1,0	1,25
Coesione efficace	c'_k	γ_c	1,0	1,25
Resistenza non drenata	c_{uk}	γ_{cu}	1,0	1,4
Peso dell'unità di volume	γ_r	γ_γ	1,0	1,0

Tali valori agiscono sulle proprietà dei terreni, condizionando sia le azioni (spinte ed incrementi di spinta), sia le resistenze nei riguardi delle verifiche di stabilità dell'insieme opere-terreno con esse interagenti da effettuare caso per caso in funzione del tipo di opera (Paratie, Muri, Pali di Fondazione ecc..)

 ITALFERR GRUPPO FERROVIE DELLO STATO ITALIANE	PROGETTO ESECUTIVO LINEA FOGGIA-POTENZA INTERVENTO DI SOPPRESSIONE P.L.					
	Viadotto ad archi - Relazione di calcolo opere provvisionali - 1/2	COMMESSA IA4K	LOTTO 42 E78	CODIFICA CL	DOCUMENTO NW08 007	REV. A

Inoltre, ribadisce i valori dei coefficienti da applicare alle azioni nella Tab 6.2.I di seguito riportata:

Tab. 6.2.I – Coefficienti parziali per le azioni o per l'effetto delle azioni

	Effetto	Coefficiente Parziale γ_F (o γ_E)	EQU	(A1)	(A2)
Carichi permanenti G_1	Favorevole	γ_{G1}	0,9	1,0	1,0
	Sfavorevole		1,1	1,3	1,0
Carichi permanenti $G_2^{(1)}$	Favorevole	γ_{G2}	0,8	0,8	0,8
	Sfavorevole		1,5	1,5	1,3
Azioni variabili Q	Favorevole	γ_Q	0,0	0,0	0,0
	Sfavorevole		1,5	1,5	1,3

⁽¹⁾ Per i carichi permanenti G_2 si applica quanto indicato alla Tabella 2.6.I. Per la spinta delle terre si fa riferimento ai coefficienti γ_{G1}

Nell'ambito delle Analisi di seguito esposte, si è fatto riferimento nella fattispecie all'**APPROCCIO 1**, andando ad esaminare tutti gli stati limite ritenuti significativi per il caso delle opere in progetto, secondo quanto specificato al già citato prg "6.5.3.1.2 Paratie" del DM 17.01.18, ovvero:

SLU di tipo geotecnica (GEO) e di tipo idraulico (UPL e HYD)

- collasso per rotazione intorno a un punto dell'opera (atto di moto rigido);
- collasso per carico limite verticale;
- sfilamento di uno o più ancoraggi;
- instabilità del fondo scavo in terreni a grana fine in condizioni non drenate;
- instabilità del fondo scavo per sollevamento;
- sifonamento del fondo scavo;
- instabilità globale del complesso opera di sostegno-terreno;

SLU di tipo strutturale (STR)

- raggiungimento della resistenza in uno o più ancoraggi;
- raggiungimento della resistenza in uno o più puntoni o di sistemi di contrasto;
- raggiungimento della resistenza strutturale della paratia.

 ITALFERR GRUPPO FERROVIE DELLO STATO ITALIANE	PROGETTO ESECUTIVO LINEA FOGGIA-POTENZA INTERVENTO DI SOPPRESSIONE P.L.					
	Viadotto ad archi - Relazione di calcolo opere provvisionali - 1/2	COMMESSA IA4K	LOTTO 42 E78	CODIFICA CL	DOCUMENTO NW08 007	REV. A

In particolare:

- la verifica di stabilità globale del complesso opera di sostegno-terreno è stata effettuata secondo la Combinazione 2 (A2+M2+R2) dell'Approccio 1, tenendo conto dei coefficienti parziali riportati nelle Tabelle 6.2.I, 6.2.II e 6.8.I;
- le eventuali verifiche nei riguardi degli stati limite idraulici (UPL e HYD) devono essere eseguite come descritto nel § 6.2.4.2:

6.2.4.2 Verifiche nei confronti degli stati limite ultimi idraulici

Le opere geotecniche devono essere verificate nei confronti dei possibili stati limite di sollevamento o di sifonamento.

A tal fine, nella valutazione delle pressioni interstiziali e delle quote piezometriche caratteristiche, si devono assumere le condizioni più sfavorevoli, considerando i possibili effetti delle condizioni stratigrafiche.

Per la stabilità al sollevamento deve risultare che il valore di progetto dell'azione instabilizzante $V_{inst,d}$, ovvero la risultante delle pressioni idrauliche ottenuta considerando separatamente la parte permanente ($G_{inst,d}$) e quella variabile ($Q_{inst,d}$), sia non maggiore della combinazione dei valori di progetto delle azioni stabilizzanti ($G_{stb,d}$) e delle resistenze (R_d):

$$V_{inst,d} \leq G_{stb,d} + R_d \quad [6.2.4]$$

dove

$$V_{inst,d} = G_{inst,d} + Q_{inst,d} \quad [6.2.5]$$

Per le verifiche di stabilità al sollevamento, i relativi coefficienti parziali sulle azioni sono indicati nella Tab. 6.2.III. Al fine del calcolo della resistenza di progetto R_d , tali coefficienti devono essere combinati in modo opportuno con quelli relativi ai parametri geotecnici (M2). Ove necessario, il calcolo della resistenza va eseguito in accordo a quanto indicato nei successivi paragrafi per le fondazioni su pali e per gli ancoraggi.

Tab. 6.2.III – Coefficienti parziali sulle azioni per le verifiche nei confronti di stati limite di sollevamento

	Effetto	Coefficiente Parziale γ_F (o γ_E)	Sollevamento (UPL)
Carichi permanenti G_1	Favorevole	γ_{G1}	0,9
	Sfavorevole		1,1
Carichi permanenti $G_2^{(1)}$	Favorevole	γ_{G2}	0,8
	Sfavorevole		1,5
Azioni variabili Q	Favorevole	γ_{Q1}	0,0
	Sfavorevole		1,5

⁽¹⁾ Per i carichi permanenti G_2 si applica quanto indicato alla Tabella 2.6.I. Per la spinta delle terre si fa riferimento ai coefficienti γ_{c1} .

In condizioni di flusso prevalentemente verticale:

- nel caso di frontiera di efflusso libera, la verifica a sifonamento si esegue controllando che il gradiente idraulico i risulti non superiore al gradiente idraulico critico i_c diviso per un coefficiente parziale $\gamma_R = 3$, se si assume come effetto delle azioni il gradiente idraulico medio, e per un coefficiente parziale $\gamma_R = 2$ nel caso in cui si consideri il gradiente idraulico di efflusso;
- in presenza di un carico imposto sulla frontiera di efflusso, la verifica si esegue controllando che la pressione interstiziale in eccesso rispetto alla condizione idrostatica risulti non superiore alla tensione verticale efficace calcolata in assenza di filtrazione, divisa per un coefficiente parziale $\gamma_R = 2$.

In tutti gli altri casi il progettista deve valutare gli effetti delle forze di filtrazione e garantire adeguati livelli di sicurezza, da preffissare e giustificare esplicitamente.

Si fa salvo, comunque, quanto previsto nel Decreto del Ministro delle Infrastrutture e dei Trasporti del 26 giugno 2014 recante "Norme tecniche per la progettazione e la costruzione degli sbarramenti di ritenuta (dighe e traverse)", ove applicabile

Viste le condizioni stratigrafiche e le condizioni idrauliche al contorno (permeabilità dei terreni e profondità della falda a monte e a valle della paratia), si ritiene che le seguenti verifiche non risultano necessarie per la sezione in esame:

- instabilità del fondo scavo in terreni a grana fine in condizioni non drenate;
- instabilità del fondo scavo per sollevamento;
- sifonamento del fondo scavo.

 ITALFERR GRUPPO FERROVIE DELLO STATO ITALIANE	PROGETTO ESECUTIVO LINEA FOGGIA-POTENZA INTERVENTO DI SOPPRESSIONE P.L.					
	Viadotto ad archi - Relazione di calcolo opere provvisionali - 1/2	COMMESSA IA4K	LOTTO 42 E78	CODIFICA CL	DOCUMENTO NW08 007	REV. A

- Le rimanenti verifiche sono state effettuate secondo l'Approccio 1 considerando le due combinazioni di coefficienti:
 - Combinazione 1: (A1+M1+R1)
 - Combinazione 2: (A2+M2+R1)

tenendo conto dei valori dei coefficienti parziali riportati nelle Tabelle 6.2.I e 6.2.II, con i coefficienti γ_R del gruppo R1 pari all'unità.

Per le paratie, i calcoli di progetto devono comprendere la verifica degli eventuali ancoraggi, puntoni o strutture di controventamento. Nella fattispecie con riferimento alle paratie dotate di **Tiranti** per le verifiche di sicurezza devono essere presi in considerazione tutti i meccanismi di stato limite ultimo, sia a breve sia a lungo termine. Gli stati limite ultimi dei tiranti di ancoraggio si riferiscono allo sviluppo di meccanismi di collasso determinati dalla mobilitazione della resistenza del terreno e al raggiungimento della resistenza degli elementi strutturali che li compongono (verifiche effettuate con il software Paratie Plus).

Per il dimensionamento della lunghezza libera dell'ancoraggio si deve verificare che essa sia tale da garantire che in condizioni statiche e sismiche il tratto "attivo" di fondazione dell'ancoraggio si trovi al di fuori del cuneo di Spinta Attiva, la cui inclinazione rispetto all'orizzontale in condizioni statiche è di $45^\circ + \phi'/2$. La lunghezza libera è definita dall'intersezione del tirante con un piano inclinato di $45^\circ - \phi'/2$ sulla verticale, parallelo al piano passante per il piede della paratia e da esso distante $0,20 h$ (AGI 2012 - Ancoraggi nei terreni e delle rocce). Valgono le seguenti espressioni:

$$L_{\text{libera_statica}} = h' + d$$

$$h' = 0,20h / \cos(45^\circ - \alpha - \phi/2)$$

$$d = (h + t - h_i) \sin(45^\circ - \phi/2) / \sin(45^\circ + \alpha + \phi/2)$$

dove:

- h = altezza fuori terra della paratia
- α = inclinazione del tirante rispetto all'orizzontale
- t = infissione della paratia
- h_i = profondità del tirante

Per effetto del sisma, la potenziale superficie di scorrimento dei cunei di spinta rispetto all'orizzontale si riduce. Detta "Ls" la lunghezza libera dell'ancoraggio in condizioni statiche, la corrispondente lunghezza libera in condizioni sismiche "Le" può essere ottenuta mediante la relazione (§ 7.11.6.4 del DM 17.01.18):

$$L_e = L_s \left(1 + 1,5 \cdot \frac{a_{\max}}{g} \right) \quad [7.11.12]$$

Per il dimensionamento geotecnico del tirante, deve risultare rispettata la condizione [6.2.1 del DM 17.01.18] con specifico riferimento ad uno stato limite di sfilamento della fondazione dell'ancoraggio. La verifica di tale condizione può essere effettuata con riferimento alla combinazione A1+M1+R3, tenendo conto dei coefficienti parziali riportati nelle Tabelle 6.2.I, 6.2.II e 6.6.I:

 ITALFERR GRUPPO FERROVIE DELLO STATO ITALIANE	PROGETTO ESECUTIVO LINEA FOGGIA-POTENZA INTERVENTO DI SOPPRESSIONE P.L.					
	Viadotto ad archi - Relazione di calcolo opere provvisionali - 1/2	COMMESSA IA4K	LOTTO 42 E78	CODIFICA CL	DOCUMENTO NW08 007	REV. A

Tab. 6.6.1 - Coefficienti parziali per la resistenza degli ancoraggi

	Simbolo	Coefficiente parziale
Temporanei	γ_R	1,1
Permanenti	γ_R	1,2

La verifica a sfilamento della fondazione dell'ancoraggio si esegue confrontando la massima azione di progetto E_d con la resistenza di progetto R_{ed} , determinata applicando alla resistenza caratteristica R_{ak} (valutata secondo quanto descritto nel § 6.6.2 del DM 17.01.18) i coefficienti parziali γ_R riportati nella Tab. 6.6.1. Si specifica inoltre che quando l'armatura è realizzata mediante trefoli di acciaio armonico, nel rispetto della gerarchia delle resistenze al fine di contenere il rischio di rotture di tipo fragile, si deve verificare che la resistenza a sfilamento della fondazione dell'ancoraggio deve risultare minore della resistenza a snervamento dell'armatura.

Si è infine proceduto con una verifica nei riguardi degli Stati Limite di Esercizio (SLE), effettuando una stima delle deformazioni dell'opera e dei cedimenti del piano limite a tergo. In particolare per la valutazione dei cedimenti verticali si è fatto riferimento al "Metodo Paratie Plus" implementato direttamente all'interno del software.

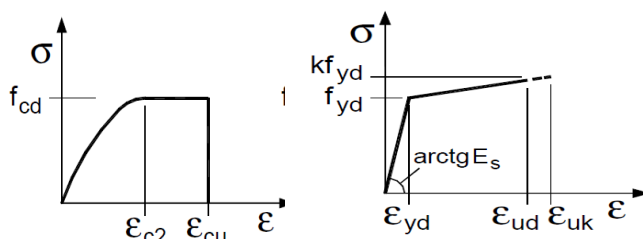
Si rimanda ai Tabulati di Calcolo per la tabella riassuntiva di tutti i coefficienti parziali utilizzati nelle suddette verifiche.

9 CRITERI DI VERIFICA

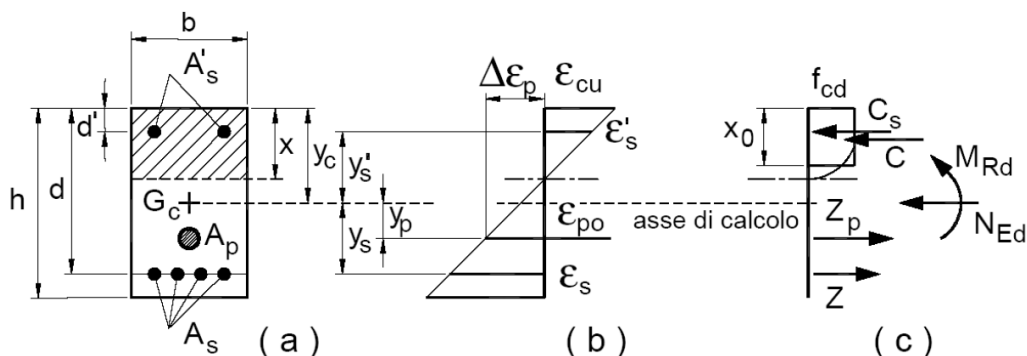
9.1 VERIFICHE STRUTTURALI CORDOLO C.A. - SLU

9.1.1 Pressoflessione

Per le sezioni in c.a. la determinazione della capacità resistente a flessione/pressoflessione della generica sezione, viene effettuata con i criteri di cui al punto 4.1.2.1.2.4 delle NTC18, secondo quanto riportato schematicamente nelle figure seguito, tenendo conto dei valori delle resistenze e deformazioni di calcolo riportate al paragrafo dedicato alle caratteristiche dei materiali:



Legami costitutivi Calcestruzzo ed Acciaio



Schema di riferimento per la valutazione della capacità resistente a pressoflessione generica sezione

La verifica consisterà nel controllare il soddisfacimento della seguente condizione:

$$M_{Rd} = M_{Rd}(N_{Ed}) \geq M_{Ed}$$

dove

M_{Rd} è il valore di calcolo del momento resistente corrispondente a N_{Ed} ;

N_{Ed} è il valore di calcolo della componente assiale (sforzo normale) dell'azione;

M_{Ed} è il valore di calcolo della componente flettente dell'azione.

In accordo a quanto previsto al §7.3.6.1 delle NTC2018, in condizioni sismiche si deve verificare che i singoli elementi strutturali e la struttura nel suo insieme possiedano una capacità di resistenza sufficiente a soddisfare la domanda allo SLV. Per le strutture a comportamento non dissipativo, la capacità delle membrature è calcolata con riferimento al loro comportamento elastico o sostanzialmente elastico. Inoltre al §7.4.1 si chiarisce che nel caso di comportamento strutturale non dissipativo, la capacità delle membrature deve essere valutata con le regole di cui al §4.1 delle NTC2018, senza nessun requisito aggiuntivo, a

 ITALFERR GRUPPO FERROVIE DELLO STATO ITALIANE	PROGETTO ESECUTIVO LINEA FOGGIA-POTENZA INTERVENTO DI SOPPRESSIONE P.L.					
	Viadotto ad archi - Relazione di calcolo opere provvisionali - 1/2	COMMESSA IA4K	LOTTO 42 E78	CODIFICA CL	DOCUMENTO NW08 007	REV. A

condizione che in nessuna sezione si superi il momento resistente massimo in campo sostanzialmente elastico, come definito al §4.1.2.3.4.2.

Pertanto, la verifica delle strutture non dissipative va differenziata tra campo statico (SLU) e sismico (SLV) come segue:

1. **Condizioni statiche (SLU):** $M_{Rd} = M_{Ud}$ (il momento resistente di progetto è pari al momento resistente massimo della sezione in campo plastico);
2. **Condizioni sismiche (SLV):** $M_{Rd} = M_{Yd}$ (il momento resistente di progetto è pari al momento resistente massimo della sezione in campo sostanzialmente elastico)

Il momento resistente elastico M_y è pari al valore minimo tra il momento resistente elastico dell'acciaio e quello del calcestruzzo calcolati limitando rispettivamente la deformazione allo snervamento dell'armatura tesa ϵ_s e la deformazione della fibra di calcestruzzo al valore $\epsilon_{c2}=0.2\%$.

9.1.2 Taglio

Per la verifica di resistenza allo SLU con riferimento alle sollecitazioni taglianti deve risultare:

$$V_{Rd} \geq V_{Ed}$$

Il taglio V_{Ed} è pari ai massimi valori del taglio sollecitante derivante dall'analisi per i vari elementi strutturali. Per tutti gli elementi strutturali il massimo taglio si riscontra in corrispondenza della sezione di attacco tra l'elemento stesso e quello ad esso ortogonale.

[NTC – 4.1.2.1.3.1] La resistenza a taglio in assenza di armatura specifica risulta pari a:

$$V_{Rd} = \left\{ 0.18 \cdot k \cdot \frac{(100 \cdot \rho_l \cdot f_{ck})^{1/3}}{\gamma_c} + 0.15 \sigma_{cp} \right\} \cdot b_w \cdot d \geq (v_{min} + 0.15 \sigma_{cp}) \cdot b_w \cdot d$$

dove:

- $v_{min} = 0.035 \cdot k^{3/2} \cdot f_{ck}^{1/2}$;
- $k = 1 + (200/d)^{1/2} \leq 2$;
- $\rho_l = A_{sl}/(b_w \cdot d) \leq 0.02$;
- $\sigma_{cp} = N_{Ed}/A_c \leq 0.02 f_{cd}$;
- d è l'altezza utile della sezione (in mm);
- b_w è la larghezza minima della sezione (in mm).

[NTC – 4.1.2.1.3.2] In presenza di armatura resistente a taglio, il taglio resistente V_{Rd} è il minimo tra la resistenza a taglio trazione V_{Rsd} e la resistenza a taglio compressione V_{Rcd} .

$$V_{Rsd} = 0.9 \cdot d \cdot \frac{A_{sw}}{s} \cdot f_{yd} (\ctg \alpha + \ctg \theta) \sin \alpha$$

$$V_{Rcd} = 0.9 \cdot d \cdot b_w \cdot f'_{cd} (\ctg \alpha + \ctg \theta) / (1 + \ctg^2 \theta)$$

in cui:

- d è l'altezza utile della sezione (in mm);
- b_w è la larghezza minima della sezione (in mm).

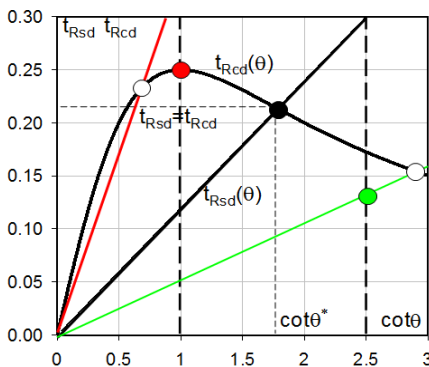
- A_{sw} è l'area dell'armatura trasversale;
- s è l'interasse tra due armature trasversali consecutive;
- f'_{cd} è la resistenza a compressione ridotta del calcestruzzo d'anima, pari a $0.5f_{cd}$;
- α è l'inclinazione dell'armatura resistente a taglio rispetto all'asse dell'elemento;
- θ è l'inclinazione della biella di calcestruzzo compressa.

Essendo:

$$1 \leq \cot \theta \leq 2,5$$

Per quanto riguarda in particolare le verifiche a taglio per elementi armati a taglio, si è fatto riferimento al metodo del traliccio ad inclinazione variabile, in accordo a quanto prescritto al punto 4.1.2.1.3 delle NTC18, considerando ai fini delle verifiche, un angolo θ di inclinazione delle bielle compresse del traliccio resistente tale da rispettare la condizione.

$$1 \leq \cot \theta \leq 2,5 \quad 45^\circ \geq \theta \geq 21.8^\circ$$



- Se la $\cot \theta^*$ è compresa nell'intervallo (1,0-2,5) è possibile valutare il taglio resistente $V_{Rd}(=V_{Rcd}=V_{Rsd})$
- Se la $\cot \theta^*$ è maggiore di 2,5 la crisi è da attribuirsi all'armatura trasversale e il taglio resistente $V_{Rd}(=V_{Rsd})$ coincide con il massimo taglio sopportato dalle armature trasversali valutabile per una $\cot \theta = 2,5$.
- Se la $\cot \theta^*$ è minore di 1,0 la crisi è da attribuirsi alle bielle compresse e il taglio resistente $V_{Rd}(=V_{Rcd})$ coincide con il massimo taglio sopportato dalle bielle di calcestruzzo valutabile per una $\cot \theta = 1,0$.

L'angolo effettivo di inclinazione delle bielle (θ) assunto nelle verifiche è stato in particolare valutato, nell'ambito di un problema di verifica, tenendo conto di quanto di seguito indicato:

$$\cot \theta^* = \sqrt{\frac{v \cdot \alpha_c}{\omega_{sw}} - 1}$$

con θ^* angolo di inclinazione delle bielle cui corrisponde la crisi contemporanea di bielle compresse ed armature

dove

$$v = f'_{cd} / f_{cd} = 0.5$$

f'_{cd} = resistenza a compressione ridotta del calcestruzzo d'anima

f_{cd} = resistenza a compressione di calcolo del calcestruzzo d'anima

α_c	coefficiente maggiorativo pari a	1	per membrature non compresse
		$1 + \sigma_{cp}/f_{cd}$	per $0 \leq \sigma_{cp} < 0,25 f_{cd}$
		1,25	per $0,25 f_{cd} \leq \sigma_{cp} \leq 0,5 f_{cd}$
		$2,5(1 - \sigma_{cp}/f_{cd})$	per $0,5 f_{cd} < \sigma_{cp} < f_{cd}$

ω_{sw} : Percentuale meccanica di armatura trasversale.

$$\omega_{sw} = \frac{A_{sw} f_{yd}}{b s f_{cd}}$$

 ITALFERR GRUPPO FERROVIE DELLO STATO ITALIANE	PROGETTO ESECUTIVO LINEA FOGGIA-POTENZA INTERVENTO DI SOPPRESSIONE P.L.					
	Viadotto ad archi - Relazione di calcolo opere provvisionali - 1/2	COMMESSA IA4K	LOTTO 42 E78	CODIFICA CL	DOCUMENTO NW08 007	REV. A

9.2 VERIFICHE STRUTTURALI CORDOLO C.A. - SLE

La verifica nei confronti degli Stati limite di esercizio, consiste nel controllare, con riferimento alle sollecitazioni di calcolo corrispondenti alle Combinazioni di Esercizio il tasso di Lavoro nei Materiali e l'ampiezza delle fessure attesa, secondo quanto di seguito specificato.

9.2.1 Stato limite di limitazione delle tensioni

La verifica delle tensioni in esercizio consiste nel controllare il rispetto dei limiti tensionali previsti per il calcestruzzo e per l'acciaio per ciascuna delle combinazioni di carico caratteristiche "Rara" e "Quasi Permanente"; i valori tensionali nei materiali sono valutati secondo le note teorie di analisi delle sezioni in c.a. in campo elastico e con calcestruzzo "non reagente a trazione" adottando come limiti di riferimento quelli previsti al par. 4.1.2.2.5 delle NTC2018:

Per il caso in esame risulta in particolare :

CALCESTRUZZO C25/30

$\sigma_{c,max,Q.P.} = 0,45 f_{cK}$	11.3	MPa	(combinazione di carico Quasi Permanente)
$\sigma_{c,max,R.} = 0,6 f_{cK}$	15.0	MPa	(combinazione di carico Rara)

Tabella 7:limiti tensione calcestruzzo

ACCIAIO

$\sigma_{f,max} = 0,8 f_{yK}$	360	MPa	(combinazione di carico Rara)
-------------------------------	-----	-----	-------------------------------

Tabella 8: limiti tensione acciaio

9.2.2 Stato limite di fessurazione

La verifica di fessurazione consiste nel controllare l'ampiezza dell'apertura delle fessure sotto combinazione di carico "Frequente" e combinazione "Quasi Permanente".

Essendo la struttura a contatto col terreno si considerano condizioni ambientali aggressive per i Cordoli (Classe di Esposizione XC4), e ordinarie per i Pali di Fondazione (Classe di Esposizione XC2); le armature di acciaio ordinario sono ritenute poco sensibili [NTC – Tabella 4.1.III].

Tabella 4.1.III – Descrizione delle condizioni ambientali

CONDIZIONI AMBIENTALI	CLASSE DI ESPOSIZIONE
Ordinarie	X0, XC1, XC2, XC3, XF1
Aggressive	XC4, XD1, XS1, XA1, XA2, XF2, XF3
Molto aggressive	XD2, XD3, XS2, XS3, XA3, XF4

Tabella 9:Descrizione delle condizioni ambientali

 ITALFERR GRUPPO FERROVIE DELLO STATO ITALIANE	PROGETTO ESECUTIVO LINEA FOGGIA-POTENZA INTERVENTO DI SOPPRESSIONE P.L.					
	Viadotto ad archi - Relazione di calcolo opere provvisionali - 1/2	COMMESSA IA4K	LOTTO 42 E78	CODIFICA CL	DOCUMENTO NW08 007	REV. A

In relazione all'aggressività ambientale e alla sensibilità dell'acciaio, l'apertura limite delle fessure è riportata nel prospetto seguente.

Gruppi di esigenza	Condizioni ambientali	Combinazione di azione	Armatura			
			Sensibile		Poco sensibile	
			Stato limite	w_d	Stato limite	w_d
a	Ordinarie	Frequente	ap. fessure	$\leq w_2$	ap. fessure	$\leq w_3$
		Quasi Permanente	ap. fessure	$\leq w_1$	ap. fessure	$\leq w_2$
b	Aggressive	Frequente	ap. fessure	$\leq w_1$	ap. fessure	$\leq w_2$
		Quasi Permanente	decompressione	-	ap. fessure	$\leq w_1$
c	Molto Aggressive	Frequente	formazione fessure	-	ap. fessure	$\leq w_1$
		Quasi Permanente	decompressione	-	ap. fessure	$\leq w_1$

Tabella 10: Criteri di scelta dello stato limite di fessurazione e condizioni ambientali

Risultando:

$w_1 = 0.2$ mm;

$w_2 = 0.3$ mm;

$w_3 = 0.4$ mm.

Pertanto, per il caso in esame risulta:

- Combinazione Quasi Permanente : $w_f \leq w_2 = 0.3$ mm
- Combinazione Frequente : $w_f \leq w_3 = 0.4$ mm

9.3 VERIFICHE STRUTTURALI MICROPALI

La determinazione della capacità resistente a trazione, flessione/pressoflessione e taglio dei micropali viene effettuata con i criteri di cui al paragrafo 4.2.4. delle NTC 2018, tenendo conto dei valori delle resistenze riportate al paragrafo dedicato alle caratteristiche dei materiali.

9.3.1 Trazione

L'azione assiale di progetto N_{Ed} deve rispettare la seguente condizione:

$$\frac{N_{Ed}}{N_{t,Rd}} \leq 1 \quad [4.2.5]$$

dove la resistenza di progetto a trazione $N_{t,Rd}$ di membrature con sezioni indebolite da fori per collegamenti bullonati o chiodati deve essere assunta pari al minore dei valori seguenti:

a) la resistenza plastica di progetto della sezione lorda, A ,

$$N_{pl,Rd} = \frac{A f_{yk}}{\gamma_{M0}} \quad [4.2.6]$$

b) la resistenza di progetto a rottura della sezione netta, A_{net} , in corrispondenza dei fori per i collegamenti

$$N_{u,Rd} = \frac{0,9 \cdot A_{net} \cdot f_{tk}}{\gamma_{M2}} \quad [4.2.7]$$

Qualora il progetto preveda la gerarchia delle resistenze, come avviene in presenza di azioni sismiche, la resistenza di progetto plastica della sezione lorda, $N_{pl,Rd}$, deve risultare minore della resistenza di progetto a rottura delle sezioni indebolite dai fori per i collegamenti, $N_{u,Rd}$:

$$N_{pl,Rd} \leq N_{u,Rd} \quad [4.2.8]$$

9.3.2 Compressione

La forza di compressione di progetto N_{Ed} deve rispettare la seguente condizione:

$$\frac{N_{Ed}}{N_{c,Rd}} \leq 1 \quad [4.2.9]$$

dove la resistenza di progetto a compressione della sezione $N_{c,Rd}$ vale:

$$N_{c,Rd} = A f_{yk} / \gamma_{M0} \quad \text{per le sezioni di classe 1, 2 e 3,} \quad [4.2.10]$$

$$N_{c,Rd} = A_{eff} f_{yk} / \gamma_{M0} \quad \text{per le sezioni di classe 4.}$$

Non è necessario dedurre l'area dei fori per i collegamenti bullonati o chiodati, purché in tutti i fori siano presenti gli elementi di collegamento e non siano presenti fori sovradimensionati o asolati.

9.3.3 Flessione monoassiale

Il momento flettente di progetto M_{Ed} deve rispettare la seguente condizione:

$$\frac{M_{Ed}}{M_{c,Rd}} \leq 1 \quad [4.2.11]$$

dove la resistenza di progetto a flessione retta della sezione $M_{c,Rd}$ si valuta tenendo conto della presenza di eventuali fori in zona tesa per collegamenti bullonati o chiodati.

La resistenza di progetto a flessione retta della sezione $M_{c,Rd}$ vale:

$$M_{c,Rd} = M_{pl,Rd} = \frac{W_{pl} \cdot f_{yk}}{\gamma_{M0}} \quad \text{per le sezioni di classe 1 e 2;} \quad [4.2.12]$$

in cui W_{pl} rappresenta il modulo di resistenza plastico della sezione

$$M_{c,Rd} = M_{el,Rd} = \frac{W_{el,min} \cdot f_{yk}}{\gamma_{M0}} \quad \text{per le sezioni di classe 3;} \quad [4.2.13]$$

$$M_{c,Rd} = \frac{W_{eff,min} \cdot f_{yk}}{\gamma_{M0}} \quad \text{per le sezioni di classe 4;} \quad [4.2.14]$$

per le sezioni di classe 3, $W_{el,min}$ è il modulo resistente elastico minimo della sezione in acciaio; per le sezioni di classe 4, invece, il modulo $W_{eff,min}$ è calcolato eliminando le parti della sezione inattive a causa dei fenomeni di instabilità locali, secondo il procedimento esposto in UNI EN1993-1-5, e scegliendo il minore tra i moduli così ottenuti.

9.3.4 Taglio

Il valore di progetto dell'azione tagliante V_{Ed} deve rispettare la condizione

$$\frac{V_{Ed}}{V_{c,Rd}} \leq 1 \quad [4.2.16]$$

dove la resistenza di progetto a taglio $V_{c,Rd}$ in assenza di torsione, vale

$$V_{c,Rd} = \frac{A_v \cdot f_{yk}}{\sqrt{3} \cdot \gamma_{M0}} \quad [4.2.17]$$

dove A_v è l'area resistente a taglio. Per profilati ad I e ad H caricati nel piano dell'anima si può assumere

$$A_v = A - 2 b t_f + (t_w + 2 r) t_f \quad [4.2.18]$$

per profilati a C o ad U caricati nel piano dell'anima si può assumere

$$A_v = A - 2 b t_f + (t_w + r) t_f \quad [4.2.19]$$

per profilati ad I e ad H caricati nel piano delle ali si può assumere

$$A_v = A - \sum (h_w \cdot t_w) \quad [4.2.20]$$

per profilati a T caricati nel piano dell'anima si può assumere

$$A_v = 0,9 (A - b t_f) \quad [4.2.21]$$

per profili rettangolari cavi "profilati a caldo" di spessore uniforme si può assumere

$$A_v = Ah/(b + h) \quad \text{quando il carico è parallelo all'altezza del profilo,} \\ A_v = Ab/(b + h) \quad \text{quando il carico è parallelo alla base del profilo;} \quad [4.2.22]$$

per sezioni circolari cave e tubi di spessore uniforme:

$$A_v = 2A/\pi \quad [4.2.23]$$

dove:

A è l'area lorda della sezione del profilo,

b è la larghezza delle ali per i profilati e la larghezza per le sezioni cave,

h_w è l'altezza dell'anima,

h è l'altezza delle sezioni cave,

r è il raggio di raccordo tra anima ed ala,

t_f è lo spessore delle ali,

t_w è lo spessore dell'anima.

9.3.5 Flessione e Taglio

Se il taglio di progetto V_{Ed} è inferiore a metà della resistenza di progetto a taglio $V_{c,Rd}$

$$V_{Ed} \leq 0,5 V_{c,Rd} \quad [4.2.30]$$

si può trascurare l'influenza del taglio sulla resistenza a flessione, eccetto nei casi in cui l'instabilità per taglio riduca la resistenza a flessione della sezione. Se il taglio di progetto V_{Ed} è superiore a metà della resistenza di progetto a taglio $V_{c,Rd}$ bisogna tener conto dell'influenza del taglio sulla resistenza a flessione.

Posto

$$\rho = \left[\frac{2V_{Ed}}{V_{c,Rd}} - 1 \right]^2 \quad [4.2.31]$$

La resistenza a flessione si determina assumendo per l'area resistente a taglio A_w la tensione di snervamento ridotta $(1 - \rho) f_{yk}$.

Per le sezioni ad I o ad H di classe 1 e 2 doppiamente simmetriche, soggette a flessione e taglio nel piano dell'anima, la corrispondente resistenza convenzionale di progetto a flessione retta può essere valutata come:

$$M_{y,V,Rd} = \frac{\left[W_{pl,y} - \frac{\rho \cdot A_w^2}{4t_w} \right] f_{yk}}{\gamma_{M1}} \leq M_{y,Rd} \quad [4.2.32]$$

in cui A_w rappresenta l'area dell'anima del profilo.

9.3.6 Presso o tenso-flessione retta

La presso- o tenso-flessione retta può essere trattata con riferimento a metodi di comprovata validità.

Per le sezioni ad I o ad H di classe 1 e 2 doppiamente simmetriche, soggette a presso o tenso-flessione nel piano dell'anima, la corrispondente resistenza convenzionale di progetto a flessione retta può essere valutata come:

$$M_{N,y,Rd} = M_{pl,y,Rd} (1 - n) / (1 - 0,5 a) \leq M_{pl,y,Rd} \quad [4.2.33]$$

Per le sezioni ad I o ad H di classe 1 e 2 doppiamente simmetriche, soggette a presso o tenso-flessione nel piano delle ali, la corrispondente resistenza convenzionale di progetto a flessione retta può essere valutata come:

$$M_{N,z,Rd} = M_{pl,z,Rd} \text{ per } n \leq a \quad [4.2.34]$$

$$\text{o} \quad M_{N,z,Rd} = M_{pl,z,Rd} \left[1 - \left(\frac{n - a}{1 - a} \right)^2 \right] \text{ per } n > a \quad [4.2.35]$$

essendo

$M_{pl,y,Rd}$ il momento resistente plastico di progetto a flessione semplice nel piano dell'anima,

$M_{pl,z,Rd}$ il momento resistente plastico di progetto a flessione semplice nel piano delle ali,

e posto:

$$n = N_{Ed} / N_{pl,Rd} \quad [4.2.36]$$

$$a = \frac{(A - 2bt_f)}{A} \leq 0,5 \quad [4.2.37]$$

dove:

A è l'area lorda della sezione,

b è la larghezza delle ali,

t_f è lo spessore delle ali.

Per sezioni generiche di classe 1 e 2 la verifica si conduce controllando che il momento di progetto sia minore del momento plastico di progetto, ridotto per effetto dello sforzo normale di progetto, $M_{N,y,Rd}$.

 ITALFERR GRUPPO FERROVIE DELLO STATO ITALIANE	PROGETTO ESECUTIVO LINEA FOGGIA-POTENZA INTERVENTO DI SOPPRESSIONE P.L.					
	Viadotto ad archi - Relazione di calcolo opere provvisionali - 1/2	COMMESSA IA4K	LOTTO 42 E78	CODIFICA CL	DOCUMENTO NW08 007	REV. A

10 ANALISI E VERIFICA PARATIA $H_{scavo}=9.0m$

Nei paragrafi successivi vengono sinteticamente riportati i principali risultati delle verifiche geotecniche e strutturali del modello di calcolo relativo alla paratia di micropali con doppio ordine di tiranti e altezza di scavo massima pari a 9m. Nella seguente tabella sono riportate le armature previste in progetto:

micropali				1° e 2° ordine di tiranti					
D [mm]	L [m]	Armature [mm]	Interasse [m]	D foro [mm]	passo	Lunghezza attiva e passiva	Precarico	Trave di ripartizione	Resistenza laterale unitaria
Φ300	15	Tubolare φ219.1 sp. 20 mm	0,50	Φ180	Passo=1.5m	La=Lp=8m	F=150kN	2HEB160	$\tau=150$ kPa

Tabella 11: caratteristiche geometriche paratia $h_{scavo}=9m$

Inoltre, per comodità viene riproposta una tabella con le proprietà stratigrafiche utilizzate per il modello:

	Terreni	γ_{SAT} [kN/m ³]	c' [kPa]	ϕ' [°]	Moduli Elastici [kPa] or [kN/m ³]
	FYR2 z inf 10m Limo	20	10	27	$E_{vc} = 40000$ $E_{ur} = 120000$
	FYR2 z sup 10m Limo	20	10	27	$E_{vc} = 120000$ $E_{ur} = 380000$

Tabella 12: Stratigrafia e proprietà del terreno.

Per tutti gli altri dettagli si rimanda ai tabulati di calcolo in allegato.

10.1 SPOSTAMENTI ORIZZONTALI E CEDIMENTI

Il massimo spostamento orizzontale per la paratia si ottiene a quota -7.90 m nell'ultima fase di scavo (quota scavo -9.00m), e risulta pari a **20.09 mm**. Il max spostamento verticale valutato con il Metodo Paratie Plus risulta pari a 15.47 mm ad una distanza di 8.06 m dalla paratia. Gli spostamenti orizzontali e verticali risultano quindi compatibili con l'esercizio dell'opera.

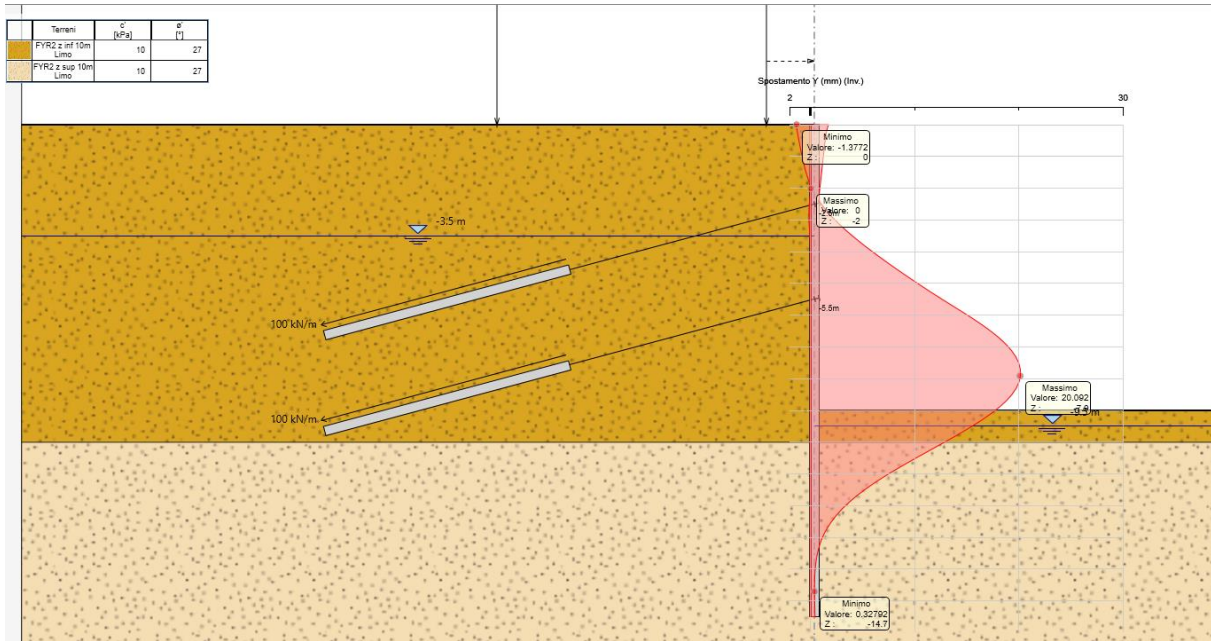


Figura 8: spostamenti orizzontali- SLE_fase finale di scavo

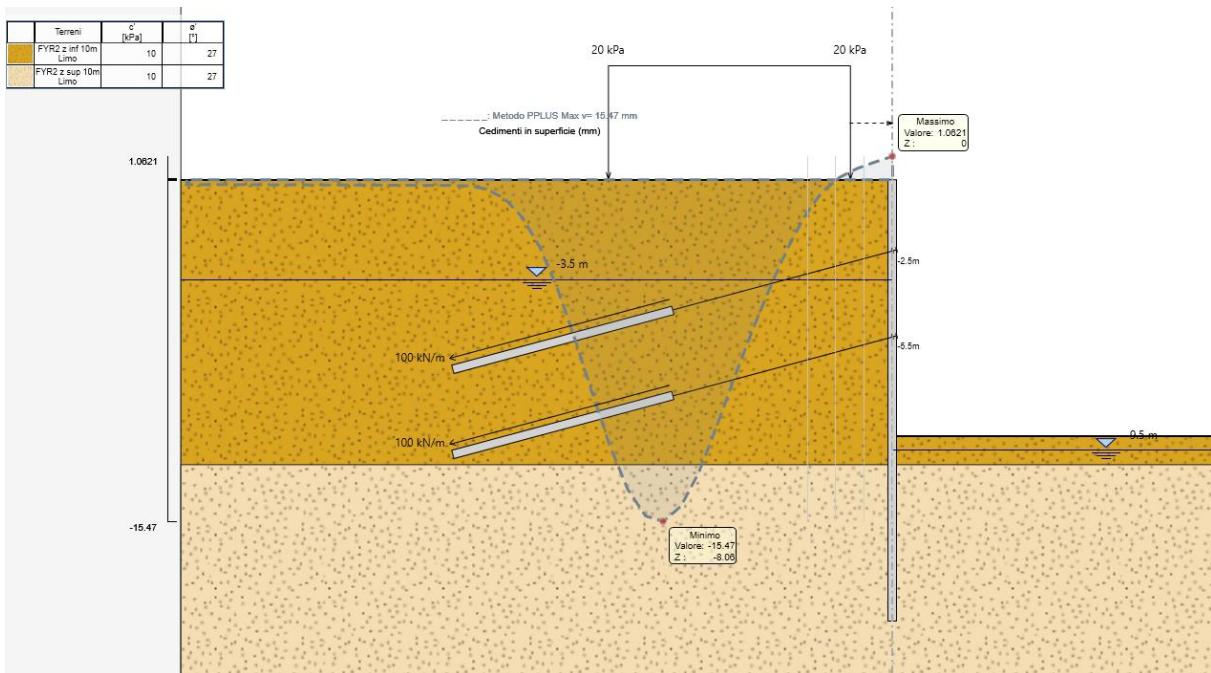


Figura 9: cedimenti a tergo paratia_ SLE_fase finale di scavo

10.2 SOLLECITAZIONI: MOMENTO FLETTENTE E TAGLIO

Il massimo momento che si ottiene per la paratia si manifesta a quota -8.7 m e risulta pari a **268.71 kNm/m**.

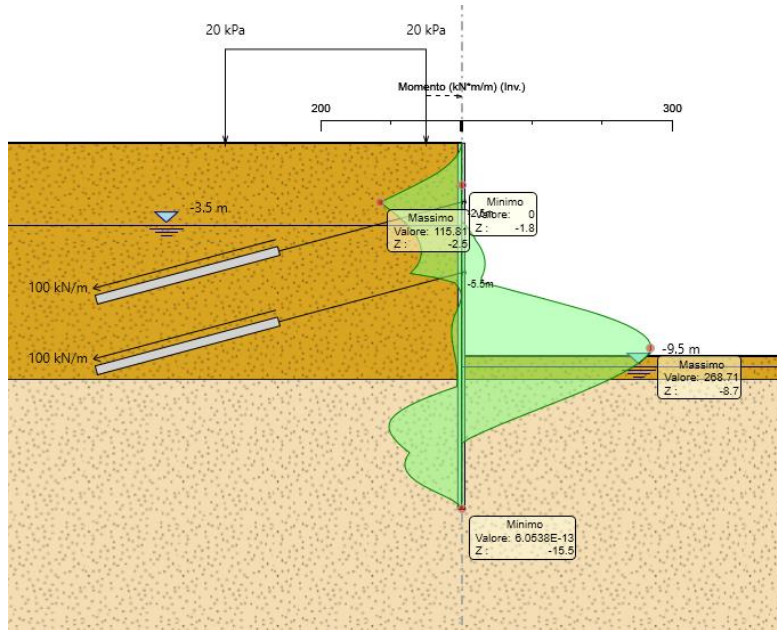


Figura 10: Involucro Momento Flettente

Il massimo taglio che si ottiene per la paratia si manifesta a quota -5.5 m e risulta pari a **195.26 kN/m**.

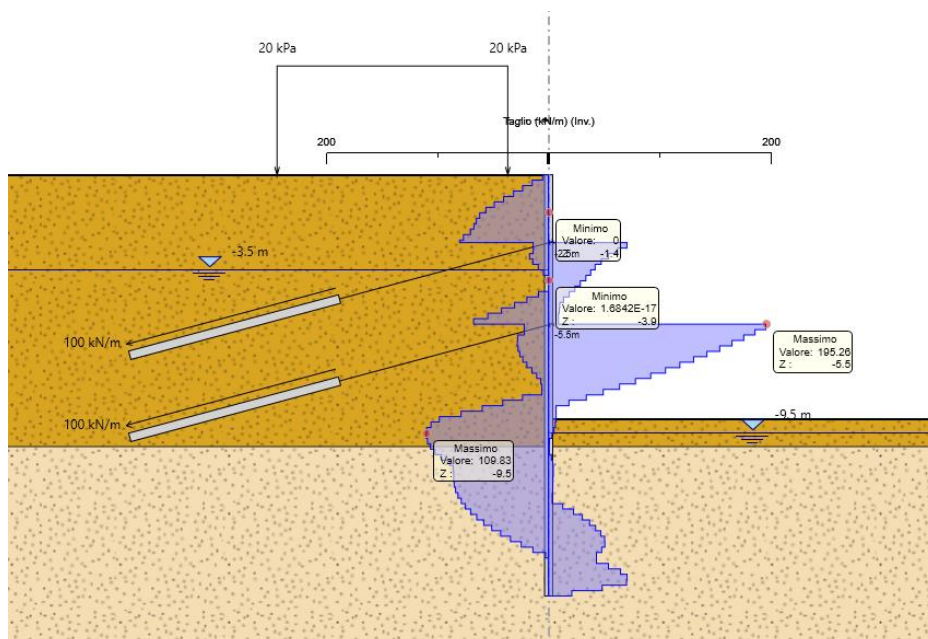


Figura 11: Involucro Taglio

10.3 VERIFICHE GEOTECNICHE

Il massimo rapporto di mobilitazione della spinta passiva è pari a **0,89**.

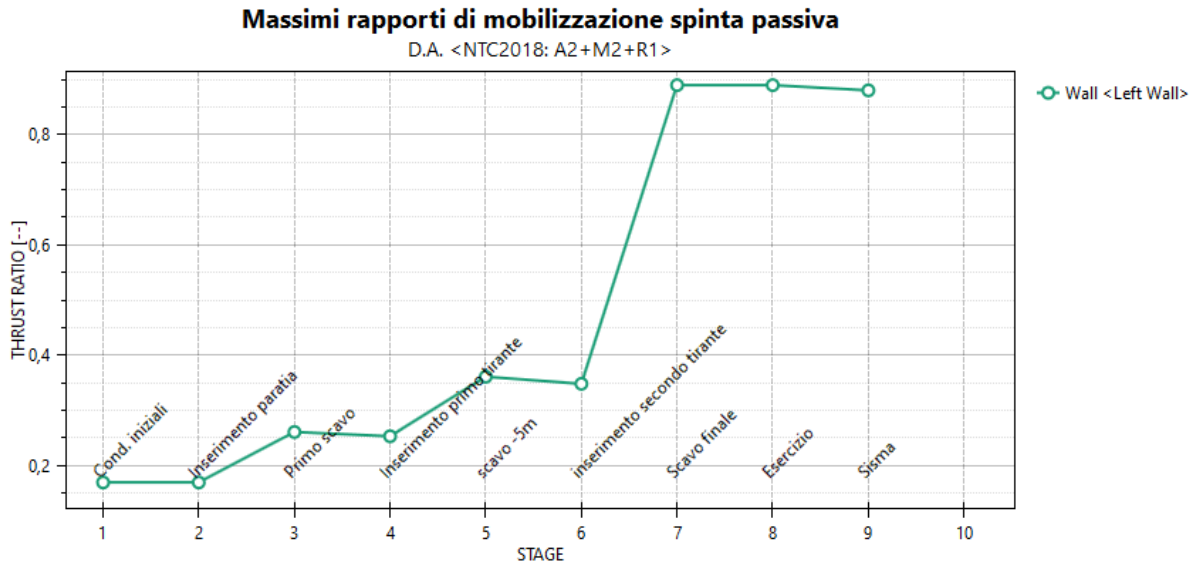


Figura 12. Massimi rapporti di mobilitazione della spinta passiva combinazione A2+M2+R1

10.4 VERIFICHE STRUTTURALI MICROPALI

Il massimo coefficiente di sfruttamento a flessione che si ottiene per le paratie risulta pari a **0,64**.

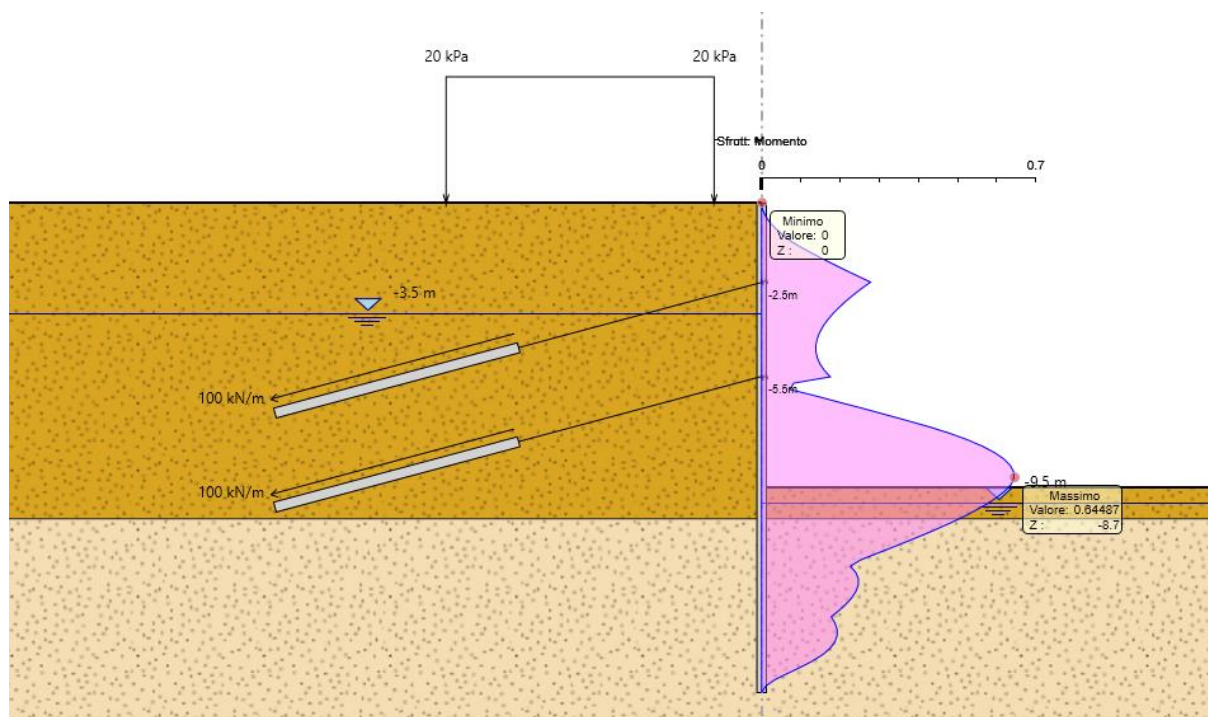


Figura 13: Involuppo coefficiente di sfruttamento a flessione.

N.B.: la verifica a flessione in condizioni sismiche descritta al capitolo 9.1.1 non verrà esplicitata in quanto, per la sezione in esame, le sollecitazioni di momento flettente in condizioni statiche e sismiche comportano un tasso di sfruttamento a flessione relativamente basso, tale che il comportamento della sezione risulterà sempre in campo elastico.

Il massimo coefficiente di sfruttamento a taglio che si ottiene per la paratia risulta pari al **0,08**.

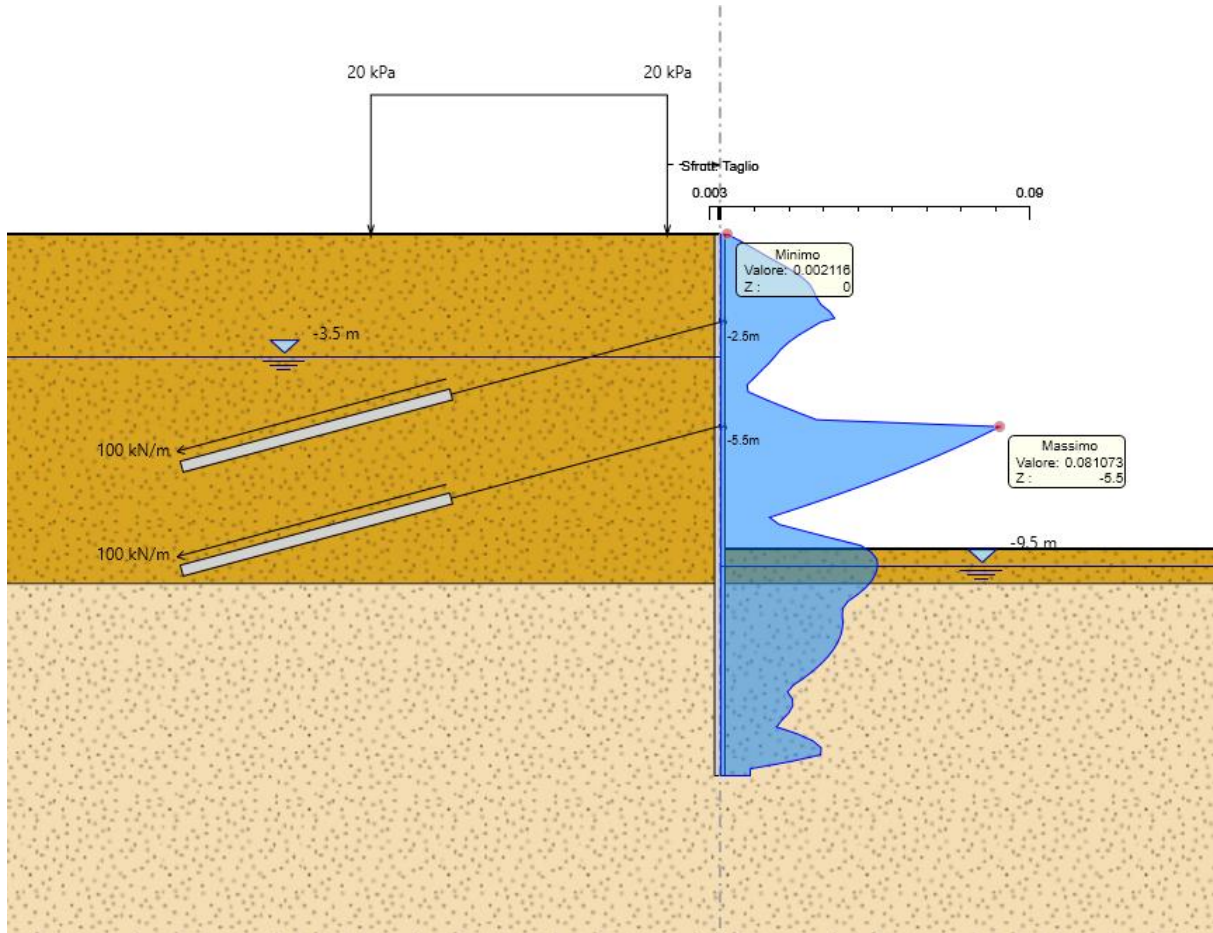


Figura 14:Inviluppo coefficiente di sfruttamento a taglio.

Nella seguente tabella si riporta una scheda di verifica del tubolare in acciaio per le massime sollecitazioni.

SOLLECITAZIONI PER METRO LINEARE				INTERASSE PALI		
Paratia	V _{MAX}	M _{MAX,y}	δ _{max,es} [mm]	int	0,5	[m]
SLE				n°pali	1	[-]
STR	195,26 kN/m	268,7 kNm/m				
SOLLECITAZIONI SU SINGOLO PALO				TIPO ACCIAIO		
COMB.	V _{MAX}	M _{MAX,y}		Acciaio	fyk	ftk
SLE	0,0 kN	0,0 kNm		S 235	235	360
STR1	97,6 kN	134,4 kNm		S 275	275	430
VERIFICA	97,6 kN	134,36 kNm		S 355	355	510
				S 450	440	550
VERIFICHE STRUTTURALI MICROPALO						
MATERIALI						
Tipo acciaio	S 275					
Valore di snervamento dell'acciaio del profilo:	f _{yk}	275	MPa			
Valore di rottura dell'acciaio del profilo:	f _{uk}	430	MPa			
Modulo di elasticità dell'acciaio:	E	210000	MPa			
Modulo di elasticità tangenziale dell'acciaio:	G	80769	MPa			
COEFFICIENTI PARZIALI						
coefficiente parziale di sicurezza per le verifiche di resistenza:	γ _{M0}	1,05				
coefficiente parziale di sicurezza per le verifiche di stabilità:	γ _{M1}	1,05				
coefficiente parziale di sicurezza per le verifiche di rottura	γ _{M2}	1,25				
CARATTERISTICHE MECCANICHE DEL PROFILO						
Diametro esterno nominale	D	219,10	[mm]			
Spessore nominale	T	20,00	[mm]			
Diametro interno nominale	d	179,10	[mm]			
Area della sezione trasversale	A	125,10	[cm ²]			
Area a taglio	A _v	79,64	[cm ²]			
Momento d'inerzia	I	6261,29	[cm ⁴]			
Raggio d'inerzia	i	7,07	[cm]			
Modulo di resistenza elastico	W _{el,yy}	571,55	[cm ³]			
Modulo di resistenza plastico attorno all'asse forte	W _{pl,yy}	795,48	[cm ³]			
Momento d'inerzia torsionale	I _t	12522,59	[cm ⁴]			
Modulo di torsione	C _t	1143,09	[cm ³]			
Coefficiente e	e	0,92	[-]			
Diametro	d	219,10	[mm]			
Spessore	t	20,00	[mm]			
Rapporto tra diametro e spessore	d/t	10,96	[-]			
Classificazione della sezione	CLASSE 1					
VERIFICHE DI RESISTENZA DELLA SEZIONE TRASVERSALE						
Resistenza a flessione						
Resistenza a flessione attorno all'asse maggiore:	M _{pl,y,Rd}	208,34	kNm			
Verifica a flessione attorno all'asse maggiore:		0,64				
Resistenza a taglio						
Resistenza plastica a taglio:	V _{pl,z,Rd}	1204,24	kN			
Verifica a taglio:		0,08				

10.5 VERIFICHE STRUTTURALI CORDOLO

Le verifiche strutturali del cordolo sono state effettuate con l'ausilio del software PresFLE considerando cautelativamente agenti sul cordolo le massime sollecitazioni testa palo. Di seguito si riportano le caratteristiche geometriche del cordolo, le armature e le verifiche SLV/SLE:

Elemento	Geometria	Armature longitudinali	Armatura trasversale
Cordolo	H=0.50m L=0.50m	8Φ12	Φ8 passo 0.30m

Tabella 13:Caratteristiche geometriche e armature di progetto Cordolo

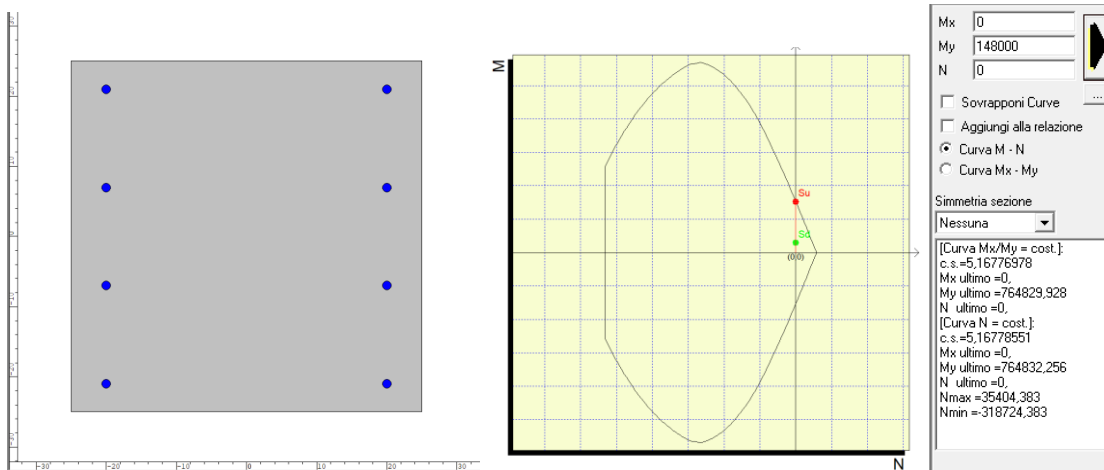


Figura 15:Verifica a Flessione FS=5.17 - SLV

Elemento	Geometrie				Armatura long. tesa			Sollecitazioni di Calcolo		TAGLIO RESISTENTE ELEMENTI SENZA ARMATURA A TAGLIO							
	b _w (mm)	H (mm)	c (mm)	d (mm)	n	Ø	A _s (mm ²)	N _{sd} (KN)	V _{sd} (KN)	σ _{cp} (Mpa)	ρ _t	k	f _{ck} (Mpa)	v _{min}	V _{Rdmin} (KN)	V _{Ret} (KN)	F.S.
Cordolo	1000	500	40	460	4	12	452,16	0	40,00	0	0,001	1,66	24,9	0,37	171,73	123,44	3,09

Elemento	Armature trasversali				Inclinazione Bielle Compresse					Taglio Compressione		Taglio Trazione		risultati
	n _b	Ø	p (mm)	A _{sw} (mm ²)	α°	θ°	ctg θ	σ _{cp} (Mpa)	α _c	f' _{cd} (Mpa)	V _{Rcd} (KN)	V _{Rsd} (KN)	V _{rd}	F.S.
Cordolo	2	8	300	100,48	90	21,8	2,5	0	1	14,11	1007,16	135,65	135,65	3,39

Tabella 14: Verifica a Taglio SLV

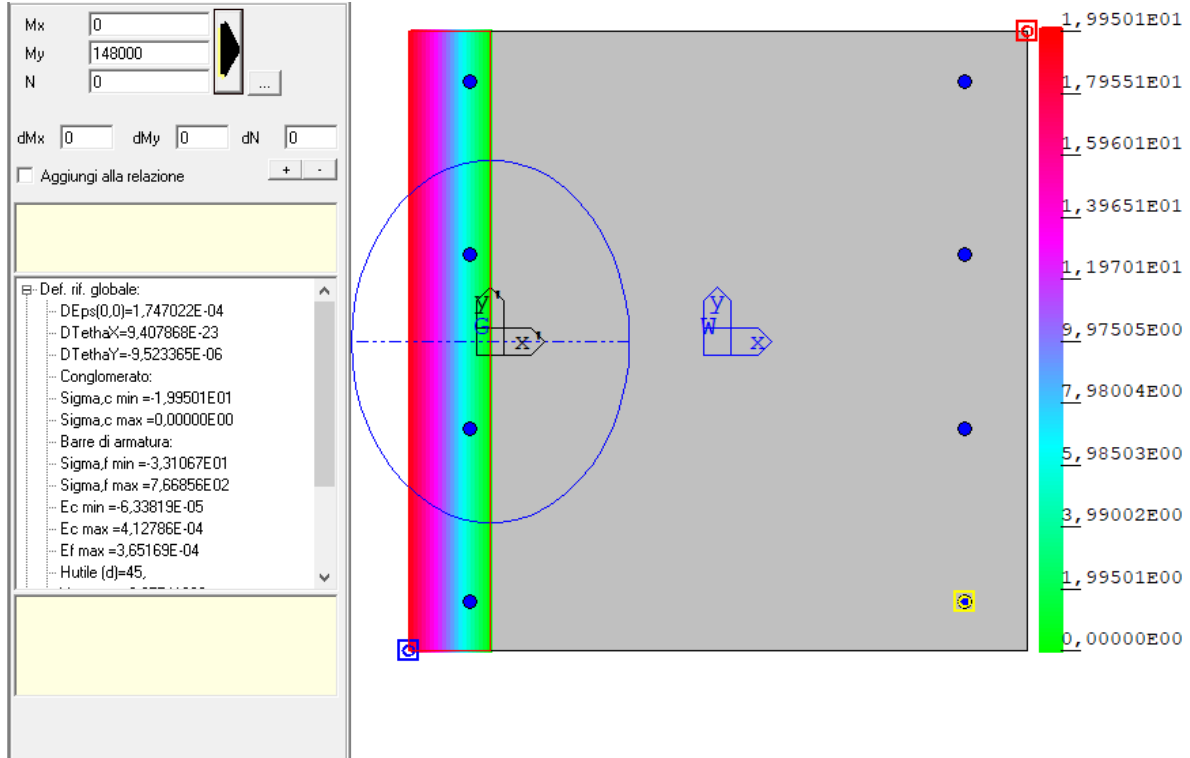


Figura 16:Verifica tensioni di esercizio nel calcestruzzo e nell'acciaio SLE

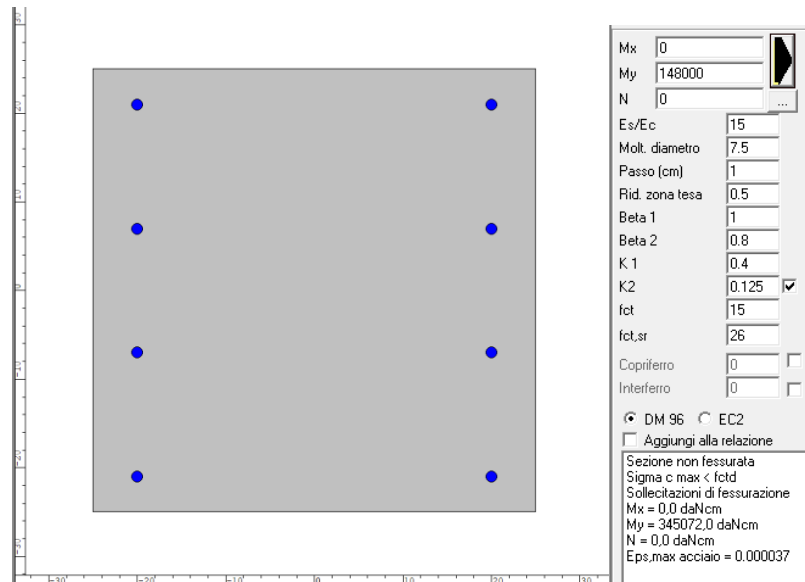


Figura 17:Verifica a fessurazione NON FESSURATA - SLE

10.6 VERIFICA DEI TIRANTI INCLINATI

Nel seguito viene presentata la verifica strutturale dei tiranti, aventi le caratteristiche di seguito riportate:

1° ORDINE TIRANTI

TIRANTE DI ANCORAGGIO A BULBO INIETTATO (IRS):

Prof. Ancoraggio=-2,5m
D. perf=0,18m
Inclinazione=15°
L. bulbo=8m
L. libera=8m
L. tot=16m
Passo=1,5m
N.3 Trefoli ϕ 0,6"
Pretiro=150kN
Sollecitazione di Esercizio: 104.06 KN
Sollecitazione di Collaudo: 124.8 KN
Trave di ripartizione HE 160B

2° ORDINE TIRANTI

TIRANTE DI ANCORAGGIO A BULBO INIETTATO (IRS):

Prof. Ancoraggio=-2,5m
D. perf=0,18m
Inclinazione=15°
L. bulbo=8m
L. libera=8m
L. tot=16m
Passo=1,5m
N.3 Trefoli ϕ 0,6"
Pretiro=150kN
Sollecitazione di Esercizio: 145.38 KN
Sollecitazione di Collaudo: 174.46 KN
Trave di ripartizione HE 160B

La lunghezza libera del tirante inclinato è definita in modo tale da posizionare il tratto iniettato (iniezione tipo IRS) fuori dal cuneo di spinta. La resistenza geotecnica del tirante è calcolata secondo il metodo di Bustamante e Doix. Nel calcolo sono stati considerati i seguenti parametri:

- $\alpha = 1.4$ (Iniezione IRS)
- $\tau = 150$ kPa (Iniezione IRS)

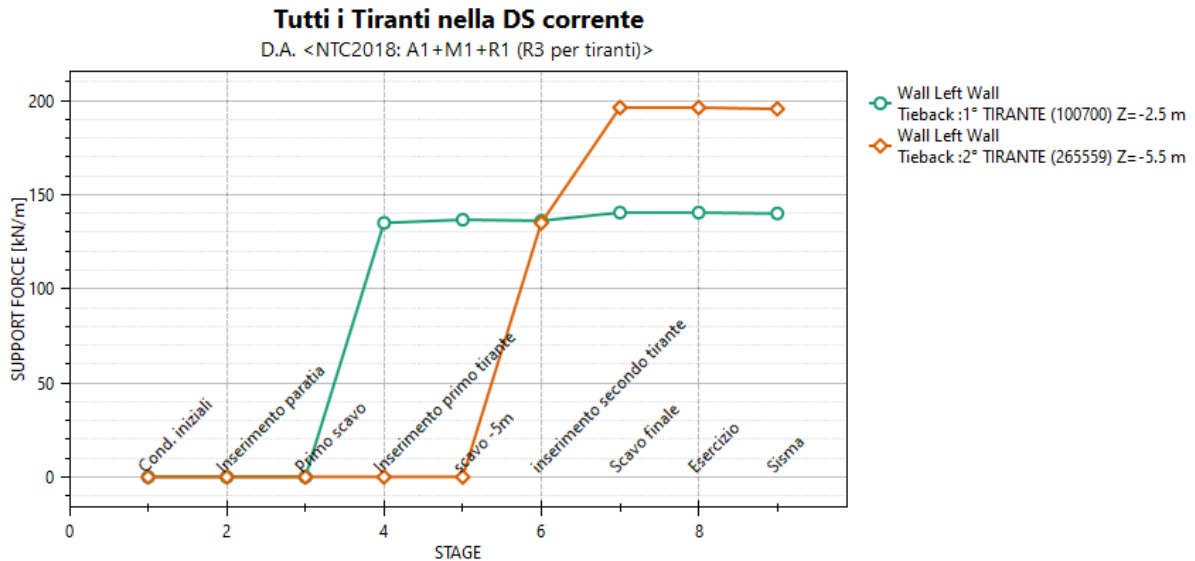


Figura 18:Sollecitazioni Tiranti - A1+M1+R

Nella seguente tabella si riporta il resoconto delle verifiche strutturali e geotecniche:

Tirante	Sollecitazione [kN]	Resistenza GEO [kN]	Resistenza STR [kN]	Sfruttamento GEO	Sfruttamento STR	Gerarchia delle Resistenze
N.1 (2.5m)	210.73	439.82	605.56	0.479	0.348	OK
N.2 (5.5m)	367.29	439.82	605.56	0.835	0.607	OK

Tabella 15:Verifiche Strutturali e Geotecniche Tiranti - A1+M1+R3

10.7 VERIFICA DELLE TRAVI DI RIPARTIZIONE

I tiranti sono previsti con interasse trasversale pari a 1.50 m. Per tale ragione, si rende necessario il dimensionamento di una trave di ripartizione, avente la funzione di ripartire lo sforzo assiale dei tiranti su tutti i pali costituenti la paratia.

Nella fattispecie sono state considerate per entrambi gli ordini di tiranti travi in acciaio S275 tipo HE160B. Il calcolo delle sollecitazioni agenti sulla trave di ripartizione è stato effettuato considerando lo schema di trave su più appoggi e considerando agente un carico uniforme pari allo sforzo normale del tirante distribuito lungo l'interasse. Si riportano di seguito le verifiche a Flessione e a Taglio effettuate con l'ausilio del software PARATIE PLUS 20.

Tirante	Sezione	Materiale	Passo orizzontale (m)	Carico distribuito (kN/m)	Sfruttamento Momento	Sfruttamento Taglio
N.1 (2.5m)	HE 160B	S275	1.50	140.48	0.295	0.542
N.2 (5.5m)	HE 160B	S275	1.50	196.27	0.428	0.757

Tabella 16:Verifiche Strutturali Travi di Ripartizione - A1+M1+R3

Tutte le verifiche risultano soddisfatte, si rimanda ai Tabulati di Calcolo per ulteriori dettagli.

11 ANALISI E VERIFICA PARATIA $H_{scavo}=7.5m$

Nei paragrafi successivi vengono sinteticamente riportati i principali risultati delle verifiche geotecniche e strutturali del modello in esame. Nella seguente tabella sono riportate le armature previste in progetto:

Micropali				Tiranti					
D [mm]	Armature [mm]	L [m]	Interasse [m]	Diametro [mm]	passo	Lunghezza attiva e passiva	Precarico	Trave di ripartizione	Resistenza laterale unitaria
Φ300	Tubolare φ219.1 sp. 20 mm	14	0,50	Φ180	Passo=1.5m	La=Lp=8m	F=150kN	2HEB160	$\tau=150$ kPa

Tabella 17: caratteristiche geometriche paratia $h_{scavo} = 7.5m$

Inoltre, per comodità viene riproposta una tabella con le proprietà stratigrafiche utilizzate per il modello:

	Terreni	γ_{SAT} [kN/m ³]	c' [kPa]	ϕ' [°]	Moduli Elastici [kPa] or [kN/m ²]
	FYR2 z inf 10m Limo	20	10	27	$E_{vc} = 40000$ $E_{ur} = 120000$
	FYR2 z sup 10m Limo	20	10	27	$E_{vc} = 120000$ $E_{ur} = 380000$

Tabella 18: Stratigrafia e proprietà del terreno.

Per tutti gli altri dettagli si rimanda ai tabulati di calcolo in allegato.

11.1 SPOSTAMENTI ORIZZONTALI E CEDIMENTI

Il massimo spostamento orizzontale per la paratia si ottiene a quota -6.1 m nell'ultima fase di scavo (quota scavo -7.50m), e risulta pari a **25.05 mm**. Il max spostamento verticale valutato con il Metodo Paratie Plus risulta pari a 19.31 mm ad una distanza di 6.38m dalla paratia. Gli spostamenti orizzontali e verticali risultano quindi compatibili con l'esercizio dell'opera.

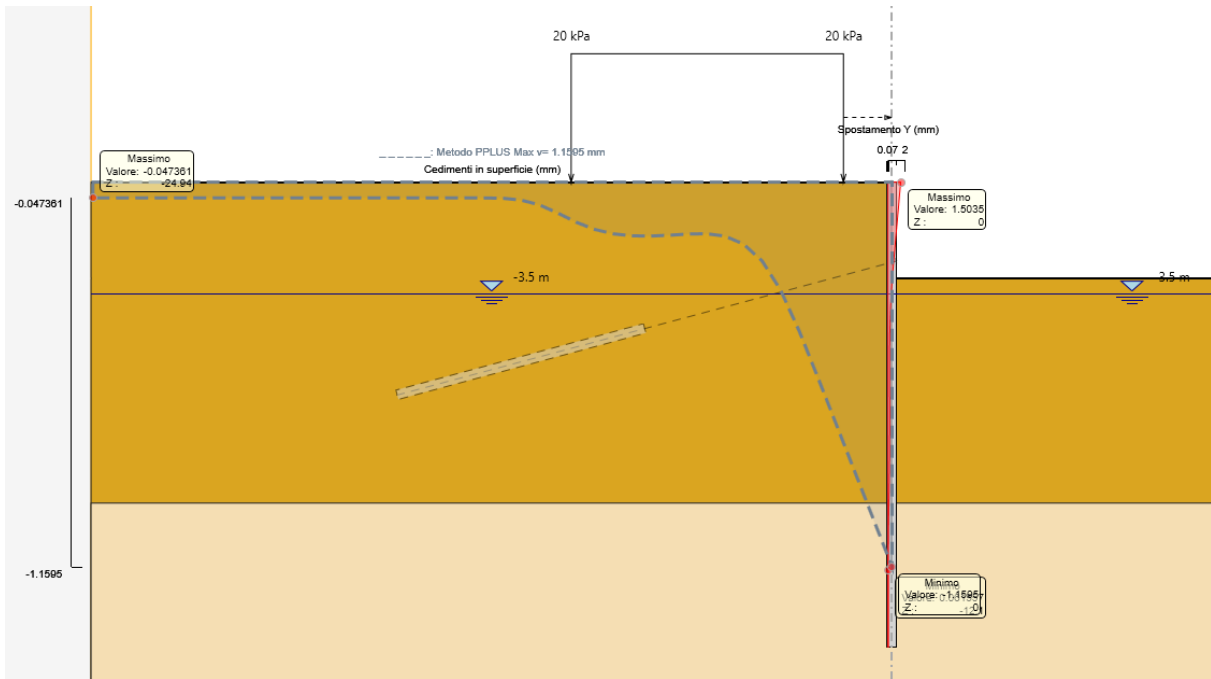


Figura 19: Spostamenti SLE Prima fase di scavo

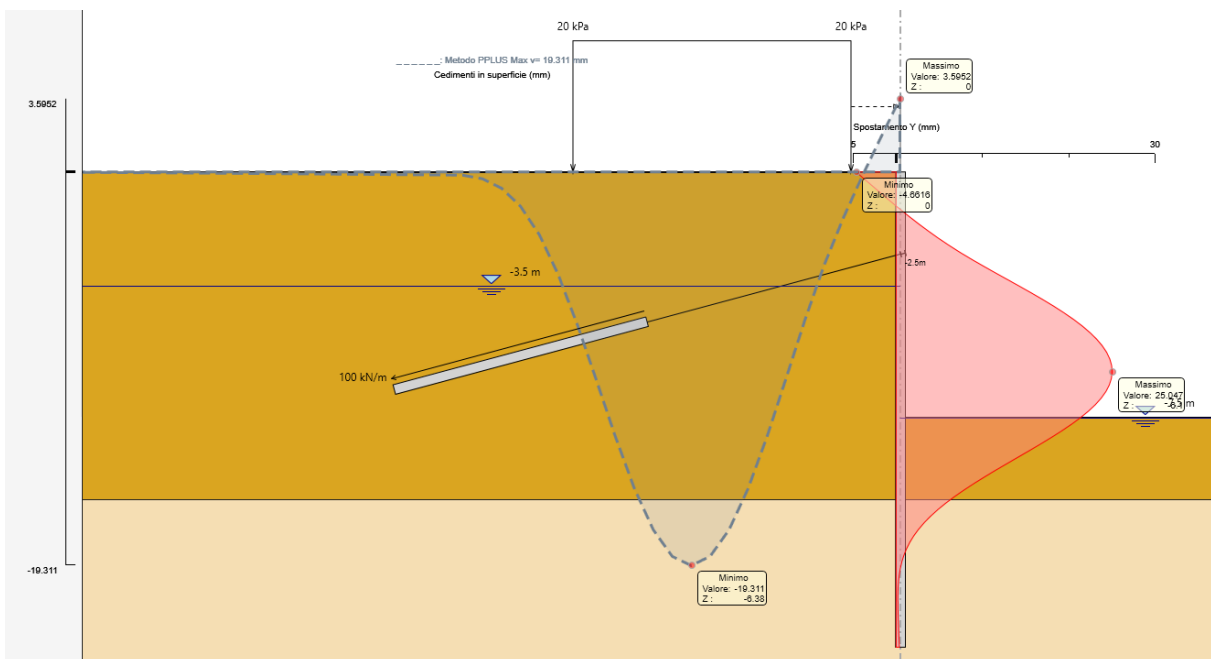


Figura 20: Spostamenti SLE Scavo finale

11.2 SOLLECITAZIONI: MOMENTO FLETTENTE E TAGLIO

Il massimo momento che si ottiene per la paratia si manifesta a quota -6.7 m e risulta pari a **297.62 kNm/m**.

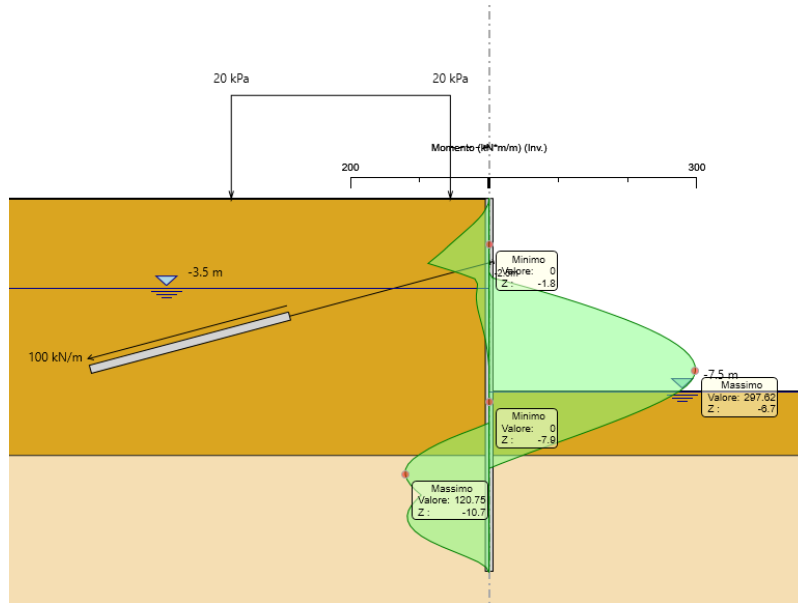


Figura 21: Involucro Momento Flettente

Il massimo taglio che si ottiene per la paratia si manifesta a quota -2.5 m e risulta pari a **151.34 kN/m**.

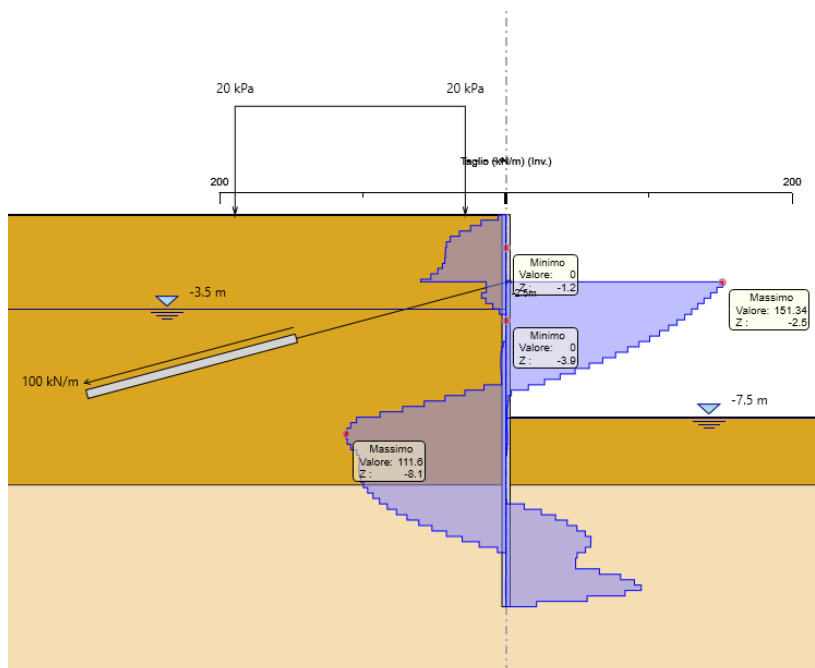


Figura 22: Involucro Taglio

11.3 VERIFICHE GEOTECNICHE

Il massimo rapporto di mobilitazione della spinta passiva è pari a **0,83**.

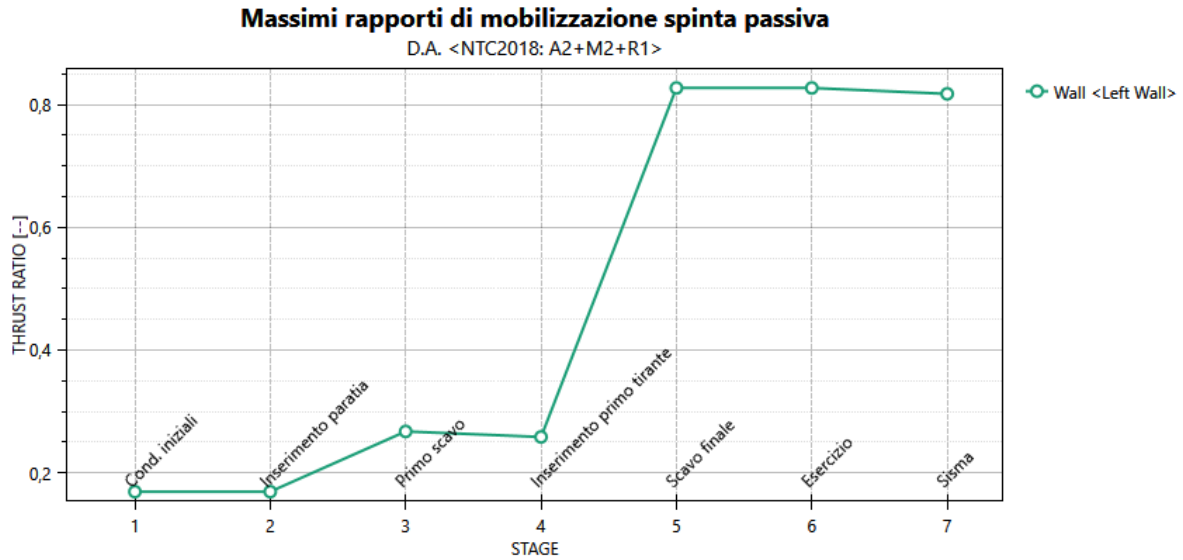


Figura 23: Massimi rapporti di mobilitazione della spinta passiva combinazione A2+M2+R1

11.4 VERIFICHE STRUTTURALI MICROPALI

Il massimo coefficiente di sfruttamento a flessione che si ottiene per le paratie risulta pari a **0,71**.

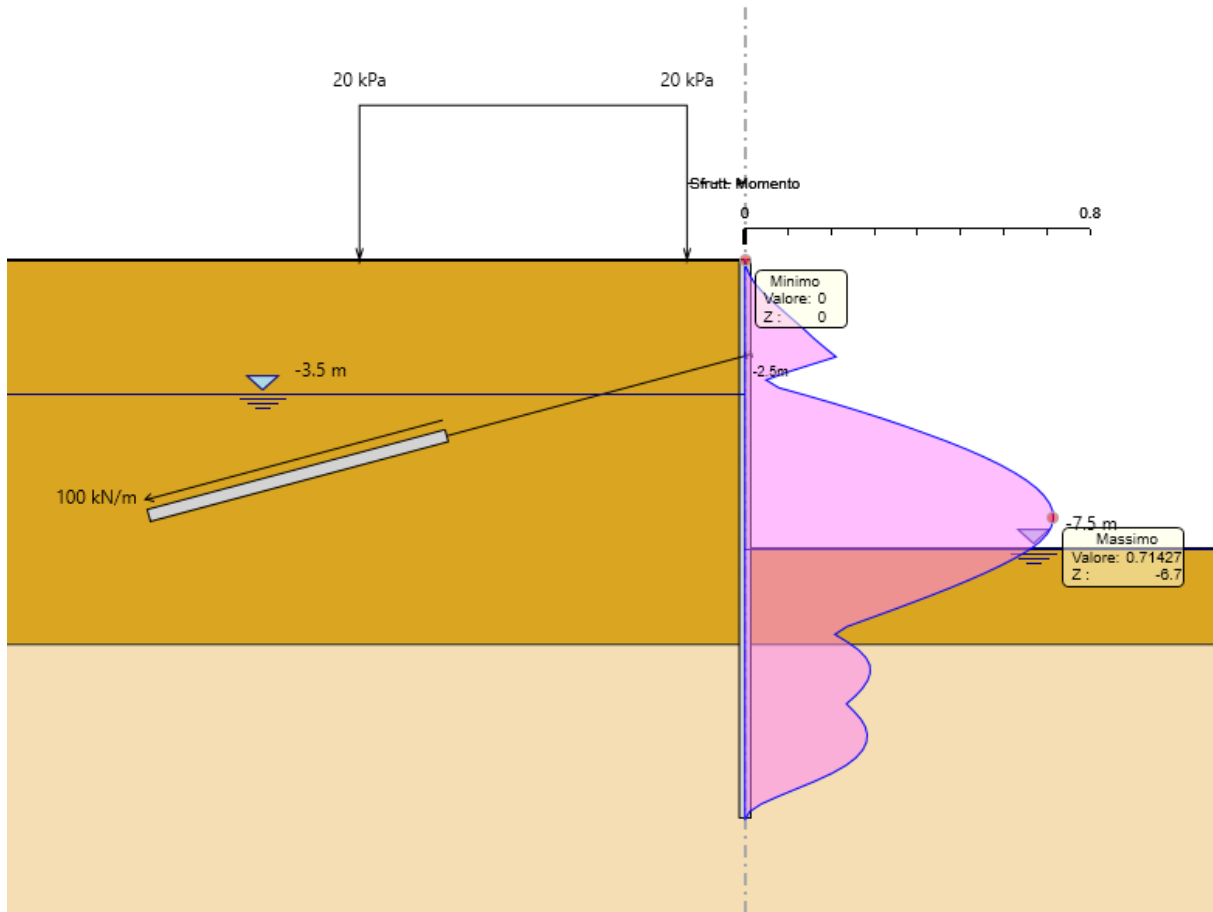


Figura 24: Inviluppo coefficiente di sfruttamento a flessione.

N.B.: la verifica a flessione in condizioni sismiche descritta al capitolo 9.1.1 non verrà esplicitata in quanto, per la sezione in esame, le sollecitazioni di momento flettente in condizioni statiche e sismiche comportano un tasso di sfruttamento a flessione relativamente basso, tale che il comportamento della sezione risulterà sempre in campo elastico.

Il massimo coefficiente di sfruttamento a taglio che si ottiene per la paratia risulta pari al **0,06**.

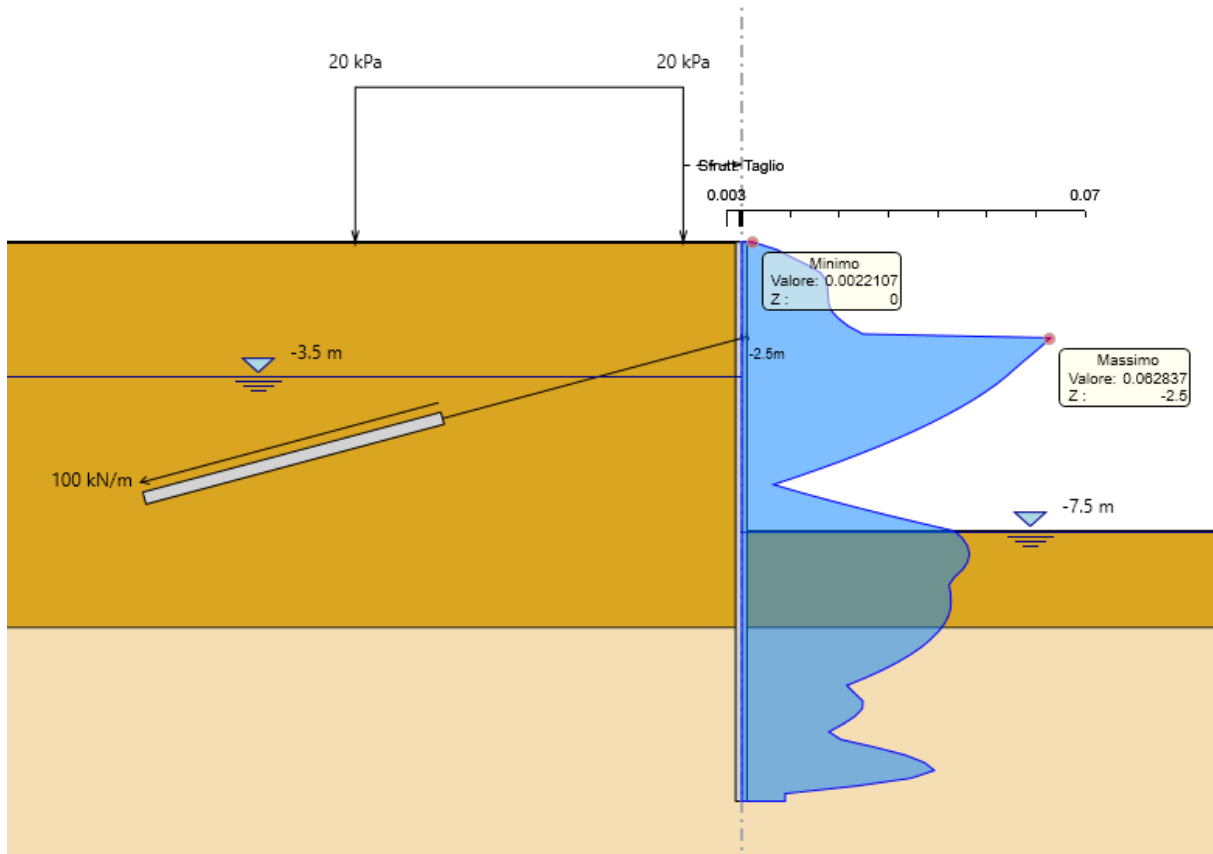


Figura 25:Inviluppo coefficiente di sfruttamento a taglio.

Nella seguente tabella si riporta una scheda di verifica del tubolare in acciaio per le massime sollecitazioni.

VERIFICHE STRUTTURALI MICROPALO			
MATERIALI			
Tipo acciaio		S 275	
Valore di snervamento dell'acciaio del profilo:	f_{yk}	275	MPa
Valore di rottura dell'acciaio del profilo:	f_{uk}	430	MPa
Modulo di elasticità dell'acciaio:	E	210000	MPa
Modulo di elasticità tangenziale dell'acciaio:	G	80769	MPa
COEFFICIENTI PARZIALI			
coefficiente parziale di sicurezza per le verifiche di resistenza:	γ_{M0}	1,05	
coefficiente parziale di sicurezza per le verifiche di stabilità:	γ_{M1}	1,05	
coefficiente parziale di sicurezza per le verifiche di rottura	γ_{M2}	1,25	
CARATTERISTICHE MECCANICHE DEL PROFILO			
Diametro esterno nominale	D	219,10	[mm]
Spessore nominale	T	20,00	[mm]
Diametro interno nominale	d	179,10	[mm]
Area della sezione trasversale	A	125,10	[cm ²]
Area a taglio	A_v	79,64	[cm ²]
Momento d'inerzia	I	6261,29	[cm ⁴]
Raggio d'inerzia	i	7,07	[cm]
Modulo di resistenza elastico	$W_{el,yy}$	571,55	[cm ³]
Modulo di resistenza plastico attorno all'asse forte	$W_{pl,yy}$	795,48	[cm ³]
Momento d'inerzia torsionale	I_t	12522,59	[cm ⁴]
Modulo di torsione	C_t	1143,09	[cm ³]
Coefficiente e	e	0,92	[-]
Diametro	d	219,10	[mm]
Spessore	t	20,00	[mm]
Rapporto tra diametro e spessore	d/t	10,96	[-]
Classificazione della sezione		CLASSE 1	
VERIFICHE DI RESISTENZA DELLA SEZIONE TRASVERSALE			
Resistenza a flessione			
Resistenza a flessione attorno all'asse maggiore:	$M_{pl,y,Rd}$	208,34	kNm



GRUPPO FERROVIE DELLO STATO ITALIANE

PROGETTO ESECUTIVO
LINEA FOGGIA-POTENZA
INTERVENTO DI SOPPRESSIONE P.L.

**Viadotto ad archi - Relazione di calcolo
opere provvisionali - 1/2**

COMMESSA IA4K	LOTTO 42 E78	CODIFICA CL	DOCUMENTO NW08 007	REV. A	FOGLIO 62 di 166
------------------	-----------------	----------------	-----------------------	-----------	------------------------

Verifica a flessione attorno all'asse maggiore:	0,71
Resistenza a taglio	
Resistenza plastica a taglio:	$V_{pl,z,Rd}$ 1204,24 kN
Verifica a taglio:	0,06

11.5 VERIFICHE STRUTTURALI CORDOLO

Le verifiche strutturali del cordolo sono state effettuate con l'ausilio del software PresFLE considerando cautelativamente agenti sul cordolo le massime sollecitazioni testa palo. Di seguito si riportano le caratteristiche geometriche del cordolo, le armature e le verifiche SLV/SLE:

Elemento	Geometria	Armature longitudinali	Armatura trasversale
Cordolo	H=0.50m L=0.50m	8Φ12	Φ8 passo 0.30m

Tabella 19:Caratteristiche geometriche e armature di progetto Cordolo

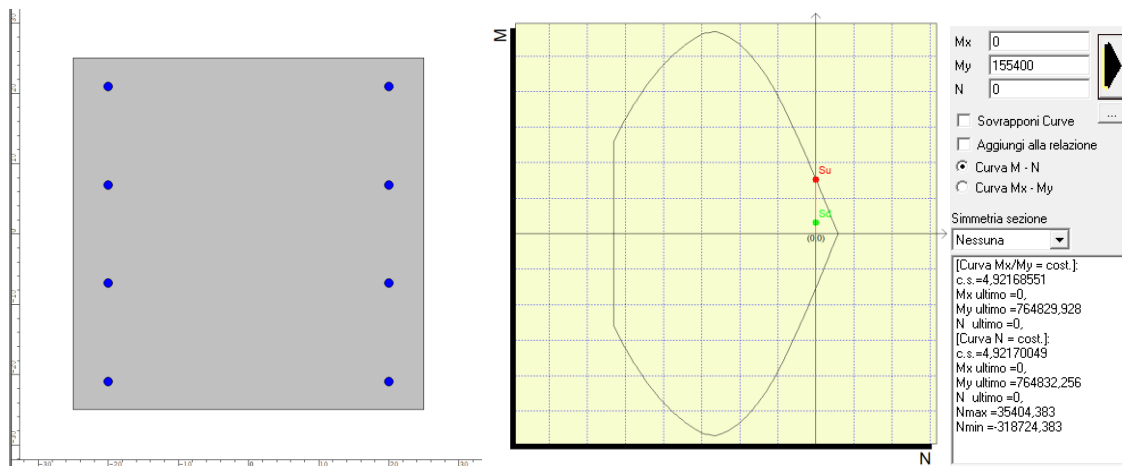


Figura 26:Verifica a Flessione FS=4.92 - SLV

Elemento	Geometrie				Armatura long. tesa			Sollecitazioni di Calcolo		TAGLIO RESISTENTE ELEMENTI SENZA ARMATURA A TAGLIO							
	b _w (mm)	H (mm)	c (mm)	d (mm)	n	Ø	A _s (mm ²)	N _{sd} (KN)	V _{sd} (KN)	σ _{cp} (Mpa)	ρ _t	k	f _{ck} (Mpa)	v _{min}	V _{Rdmin} (KN)	V _{Rct} (KN)	F.S.
Cordolo	1000	500	40	460	4	12	452,16	0	32,31	0	0,001	1,66	24,9	0,37	171,73	123,44	3,82

Elemento	Armature trasversali					Inclinazione Bielle Compresse				Taglio Compressione		Taglio Trazione		risultati
	n _b	Ø	p (mm)	A _{sw} (mm ²)	α°	θ°	ctg θ	σ _{cp} (Mpa)	α _c	f _{cd} (Mpa)	V _{Rcd} (KN)	V _{Rsd} (KN)	V _{Rtd} (KN)	
Cordolo	2	8	300	100,48	90	21,8	2,5	0	1	14,11	1007,16	135,65	135,65	4,20

Tabella 20: Verifica a Taglio SLV

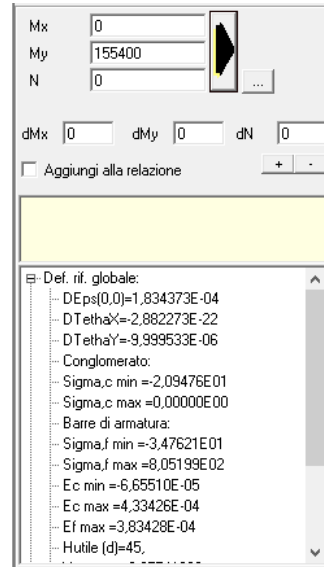
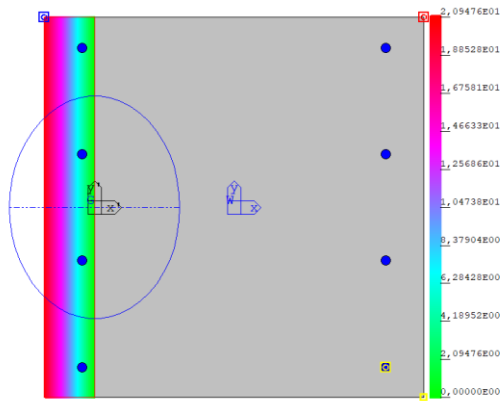


Figura 27:Verifica tensioni di esercizio nel calcestruzzo e nell'acciaio SLE

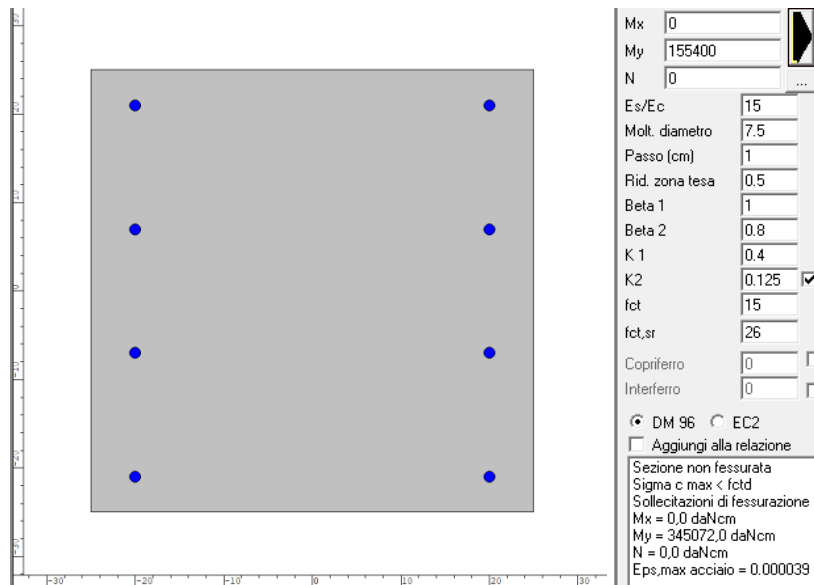


Figura 28:Verifica a fessurazione NON FESSURATA - SLE

Tutte le verifiche risultano soddisfatte, si rimanda ai Tabulati di Calcolo per ulteriori dettagli.

11.6 VERIFICA DEI TIRANTI INCLINATI

Nel seguito viene presentata la verifica strutturale dei tiranti, aventi le caratteristiche di seguito riportate:

TIRANTI
<p>TIRANTE DI ANCORAGGIO A BULBO INIETTATO (IRS): Prof. Ancoraggio=2,5m D. perf=0,18m Inclinazione=15° L. bulbo=8m L. libera=8m L. tot=16m Passo=1,5m N.3 Trefoli ϕ 0,6" Pretiro=150kN Sollecitazione di Esercizio: 194 KN Sollecitazione di Collaudo: 233 KN Trave di ripartizione HE 160B</p>

La lunghezza libera del tirante inclinato è definita in modo tale da posizionare il tratto iniettato (iniezione tipo IRS) fuori dal cuneo di spinta. La resistenza geotecnica del tirante è calcolata secondo il metodo di Bustamante e Doix. Nel calcolo sono stati considerati i seguenti parametri:

- $\alpha = 1.4$ (Iniezione IRS)
- $\tau = 150$ kPa (Iniezione IRS)

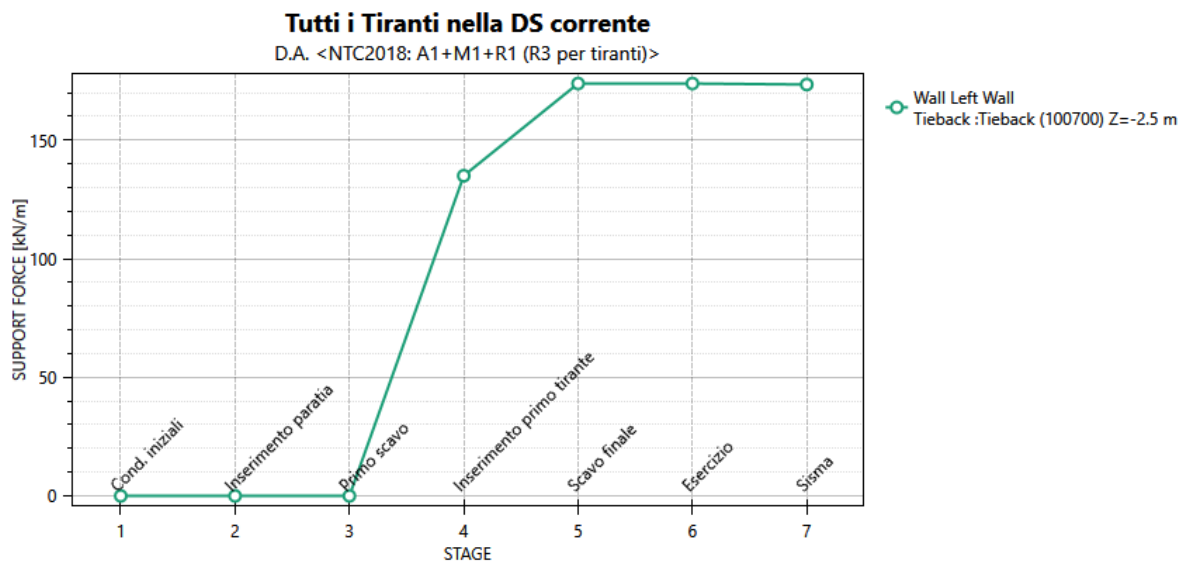


Figura 29: Sollecitazioni Tiranti - A1+M1+R3

 ITALFERR GRUPPO FERROVIE DELLO STATO ITALIANE	PROGETTO ESECUTIVO LINEA FOGGIA-POTENZA INTERVENTO DI SOPPRESSIONE P.L.					
	Viadotto ad archi - Relazione di calcolo opere provvisionali - 1/2	COMMESSA IA4K	LOTTO 42 E78	CODIFICA CL	DOCUMENTO NW08 007	REV. A

Nella seguente tabella si riporta il resoconto delle verifiche strutturali e geotecniche:

Tirante	Sollecitazione [kN]	Resistenza GEO [kN]	Resistenza STR [kN]	Sfruttamento GEO	Sfruttamento STR	Gerarchia delle Resistenze
N.1 (2.5m)	260.84	439.82	605.56	0.593	0.431	OK

Tabella 21: Verifiche Strutturali e Geotecniche Tiranti - A1+M1+R3

11.7 VERIFICA DELLE TRAVI DI RIPARTIZIONE

I tiranti sono previsti con interasse trasversale pari a 1.50 m. Per tale ragione, si rende necessario il dimensionamento di una trave di ripartizione, avente la funzione di ripartire lo sforzo assiale dei tiranti su tutti i pali costituenti la paratia.

Nella fattispecie sono state considerate travi in acciaio S275 tipo HE160B. Il calcolo delle sollecitazioni agenti sulla trave di ripartizione è stato effettuato considerando lo schema di trave su più appoggi e considerando agente un carico uniforme pari allo sforzo normale del tirante distribuito lungo l'interasse. Si riportano di seguito le verifiche a Flessione e a Taglio effettuate con l'ausilio del software PARATIE PLUS 20.

Tirante	Sezione	Materiale	Passo orizzontale (m)	Carico distribuito (kN/m)	Sfruttamento Momento	Sfruttamento Taglio
N.1 (2.5m)	HE 160B	S275	1.50	173.89	0.371	0.67

Tabella 22: Verifiche Strutturali Travi di Ripartizione - A1+M1+R3

Tutte le verifiche risultano soddisfatte, si rimanda ai Tabulati di Calcolo per ulteriori dettagli.

 ITALFERR GRUPPO FERROVIE DELLO STATO ITALIANE	PROGETTO ESECUTIVO LINEA FOGGIA-POTENZA INTERVENTO DI SOPPRESSIONE P.L.					
	Viadotto ad archi - Relazione di calcolo opere provvisionali - 1/2	COMMESSA IA4K	LOTTO 42 E78	CODIFICA CL	DOCUMENTO NW08 007	REV. A

12 TABULATI DI CALCOLO

12.1 PARATIA DI MICROPALI H_{SCAVO}=9M

PARATIE plus™

Report di Calcolo

 ITALFERR GRUPPO FERROVIE DELLO STATO ITALIANE	PROGETTO ESECUTIVO LINEA FOGGIA-POTENZA INTERVENTO DI SOPPRESSIONE P.L.					
	Viadotto ad archi - Relazione di calcolo opere provvisionali - 1/2	COMMESSA IA4K	LOTTO 42 E78	CODIFICA CL	DOCUMENTO NW08 007	REV. A

Sommario
Contenuto Sommario

 ITALFERR GRUPPO FERROVIE DELLO STATO ITALIANE	PROGETTO ESECUTIVO LINEA FOGGIA-POTENZA INTERVENTO DI SOPPRESSIONE P.L.					
	Viadotto ad archi - Relazione di calcolo opere provvisionali - 1/2	COMMESSA IA4K	LOTTO 42 E78	CODIFICA CL	DOCUMENTO NW08 007	REV. A

Descrizione del Software

ParatiePlus è un codice agli elementi finiti che simula il problema di uno scavo sostenuto da diaframmi flessibili e permette di valutare il comportamento della parete di sostegno durante tutte le fasi intermedie e nella configurazione finale.

	PROGETTO ESECUTIVO LINEA FOGGIA-POTENZA INTERVENTO DI SOPPRESSIONE P.L.					
	Viadotto ad archi - Relazione di calcolo opere provvisionali - 1/2	COMMESSA IA4K	LOTTO 42 E78	CODIFICA CL	DOCUMENTO NW08 007	REV. A

Descrizione Pareti

X : 0 m

Quota in alto : 0 m

Quota di fondo : -15.5 m

Muro di sinistra

Sezione : D300

Area equivalente : 0.033983255931213 m

Inerzia equivalente : 0.0002 m⁴/m

Materiale calcestruzzo : C25/30

Tipo sezione : Tangent

Spaziatura : 0.5 m

Diametro : 0.3 m

Efficacia : 0.6

Materiale acciaio : S275

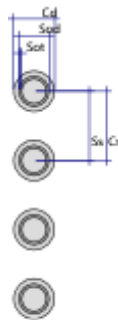
Sezione : CHS219.1*20

Tipo sezione : O

Spaziatura : 0.5 m

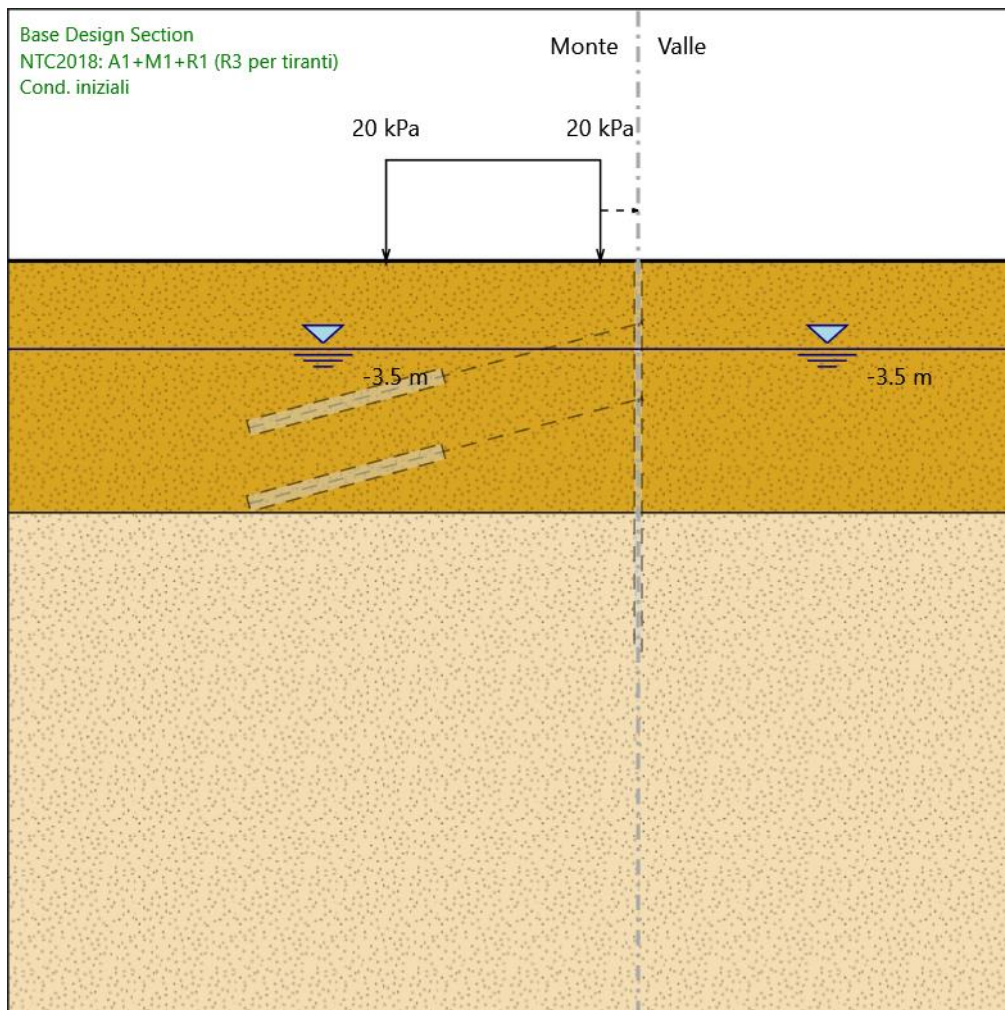
Spessore : 0.02 m

Diametro : 0.2191 m



Fasi di Calcolo

Cond. iniziali



Cond. iniziali

Scavo

Muro di sinistra

Lato monte : 0 m

Lato valle : 0 m

Linea di scavo di sinistra (Orizzontale)

0 m

Linea di scavo di destra (Orizzontale)



PROGETTO ESECUTIVO
LINEA FOGGIA-POTENZA
INTERVENTO DI SOPPRESSIONE P.L.

Viadotto ad archi - Relazione di calcolo
opere provvisionali - 1/2

COMMESSA	LOTTO	CODIFICA	DOCUMENTO	REV.	FOGLIO
IA4K	42 E78	CL	NW08 007	A	73 di 166

0 m

Falda acquifera

Falda di sinistra : -3.5 m

Falda di destra : -3.5 m

Carichi

Carico lineare in superficie : Carico Stradale

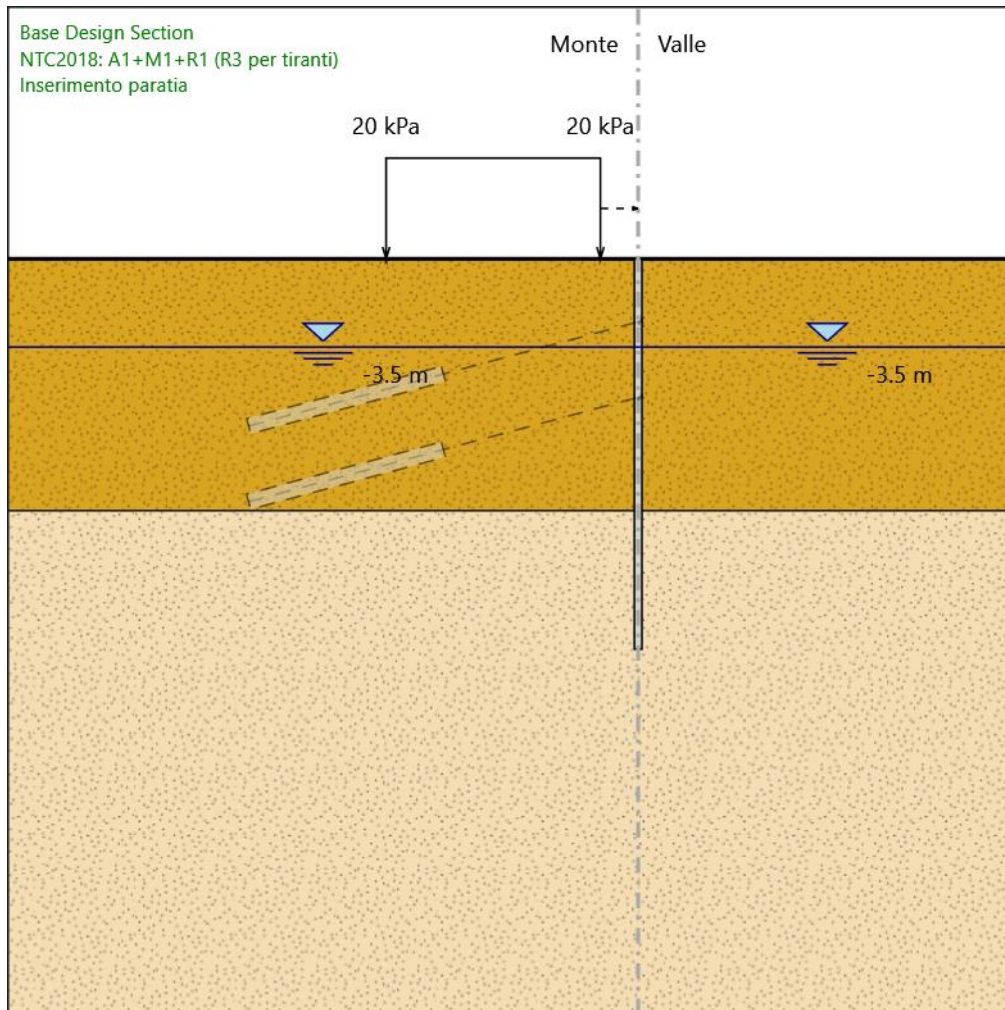
X iniziale : -10 m

X finale : -1.5 m

Pressione iniziale : 20 kPa

Pressione finale : 20 kPa

Inserimento paratia



Inserimento paratia

Scavo

Muro di sinistra

Lato monte : 0 m

Lato valle : 0 m

Linea di scavo di sinistra (Orizzontale)

0 m

Linea di scavo di destra (Orizzontale)

0 m



GRUPPO FERROVIE DELLO STATO ITALIANE

PROGETTO ESECUTIVO
LINEA FOGGIA-POTENZA
INTERVENTO DI SOPPRESSIONE P.L.

Viadotto ad archi - Relazione di calcolo
opere provvisionali - 1/2

COMMESSA	LOTTO	CODIFICA	DOCUMENTO	REV.	FOGLIO
IA4K	42 E78	CL	NW08 007	A	75 di 166

Falda acquifera

Falda di sinistra : -3.5 m

Falda di destra : -3.5 m

Carichi

Carico lineare in superficie : Carico Stradale

X iniziale : -10 m

X finale : -1.5 m

Pressione iniziale : 20 kPa

Pressione finale : 20 kPa

Elementi strutturali

Paratia : WallElement

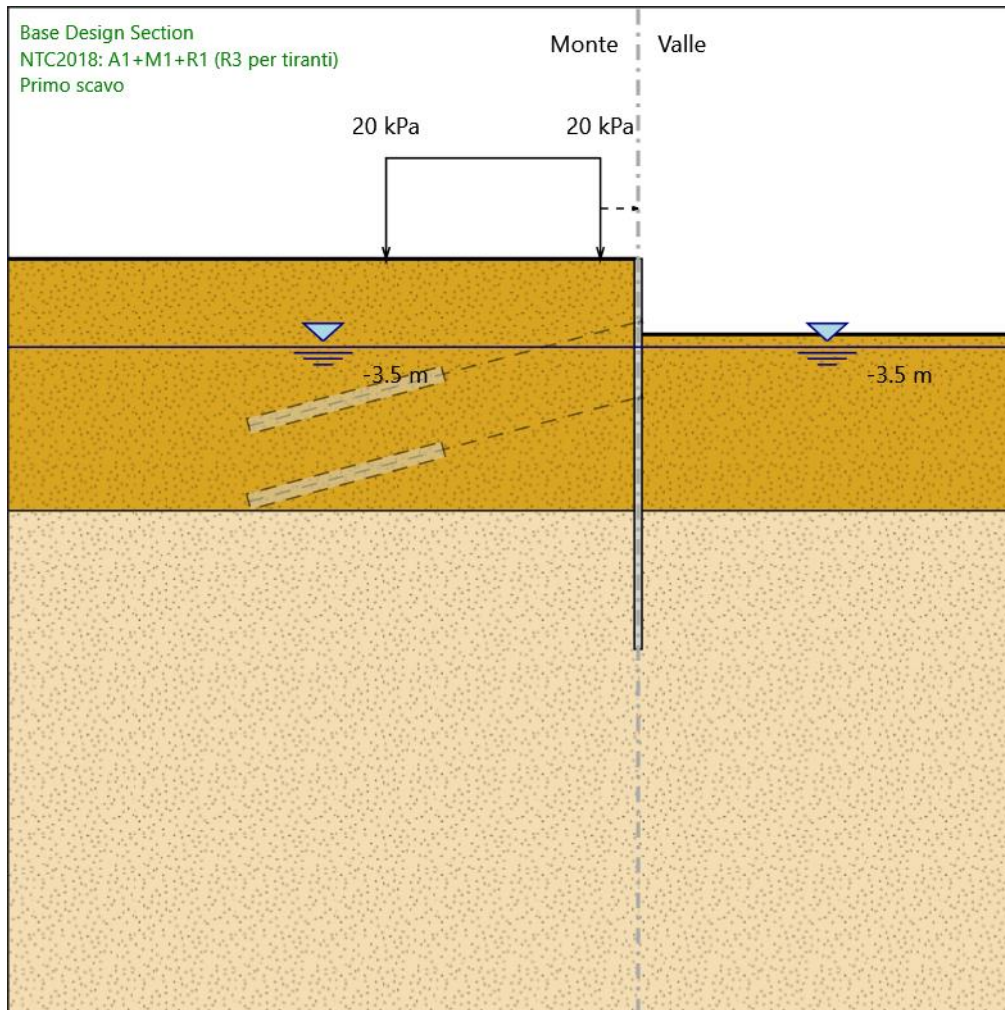
X : 0 m

Quota in alto : 0 m

Quota di fondo : -15.5 m

Sezione : D300

Primo scavo



Primo scavo

Scavo

Muro di sinistra

Lato monte : 0 m

Lato valle : -3 m

Linea di scavo di sinistra (Orizzontale)

0 m

Linea di scavo di destra (Orizzontale)

-3 m



GRUPPO FERROVIE DELLO STATO ITALIANE

PROGETTO ESECUTIVO
LINEA FOGGIA-POTENZA
INTERVENTO DI SOPPRESSIONE P.L.

**Viadotto ad archi - Relazione di calcolo
opere provvisionali - 1/2**

COMMESSA	LOTTO	CODIFICA	DOCUMENTO	REV.	FOGLIO
IA4K	42 E78	CL	NW08 007	A	77 di 166

Falda acquifera

Falda di sinistra : -3.5 m

Falda di destra : -3.5 m

Carichi

Carico lineare in superficie : Carico Stradale

X iniziale : -10 m

X finale : -1.5 m

Pressione iniziale : 20 kPa

Pressione finale : 20 kPa

Elementi strutturali

Paratia : WallElement

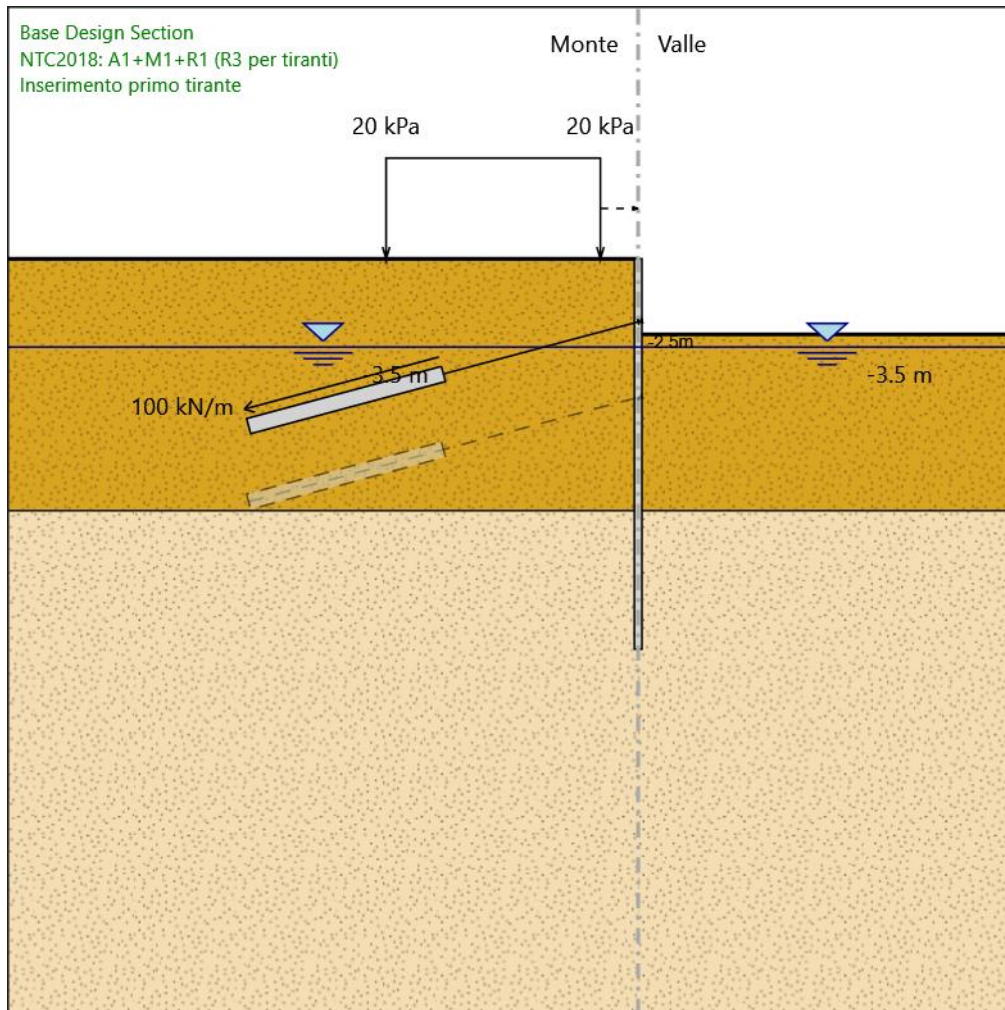
X : 0 m

Quota in alto : 0 m

Quota di fondo : -15.5 m

Sezione : D300

Inserimento primo tirante



Inserimento primo tirante

Scavo

Muro di sinistra

Lato monte : 0 m

Lato valle : -3 m

Linea di scavo di sinistra (Orizzontale)

0 m

Linea di scavo di destra (Orizzontale)

-3 m

Viadotto ad archi - Relazione di calcolo
opere provvisionali - 1/2

COMMESSA	LOTTO	CODIFICA	DOCUMENTO	REV.	FOGLIO
IA4K	42 E78	CL	NW08 007	A	79 di 166

Falda acquifera

Falda di sinistra : -3.5 m

Falda di destra : -3.5 m

Carichi

Carico lineare in superficie : Carico Stradale

X iniziale : -10 m

X finale : -1.5 m

Pressione iniziale : 20 kPa

Pressione finale : 20 kPa

Elementi strutturali

Paratia : WallElement

X : 0 m

Quota in alto : 0 m

Quota di fondo : -15.5 m

Sezione : D300

Tirante : 1° TIRANTE

X : 0 m

Z : -2.5 m

Lunghezza bulbo : 8 m

Diametro bulbo : 0.18 m

Lunghezza libera : 8 m

Spaziatura orizzontale : 1.5 m

Precarico : 150 kN

Angolo : 15 °

Sezione : 3 strands

Tipo di barre : Barre trefoli

Numero di barre : 3

Diametro : 0.01331 m

Area : 0.000417 m²

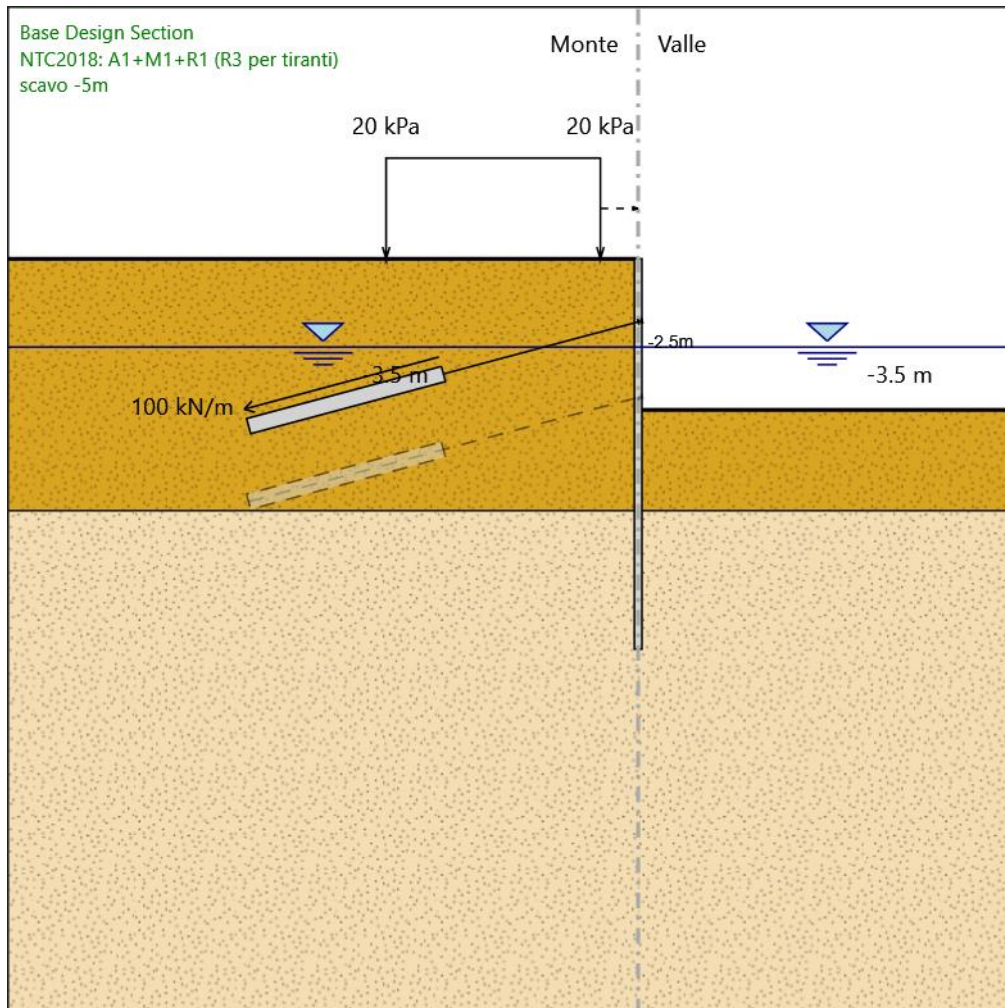
Trave di Ripartizione : Default Waler

Sezione : T.R. HE160B

HE 160B

Materiale : S275

scavo -5m



scavo -5m

Scavo

Muro di sinistra

Lato monte : 0 m

Lato valle : -6 m

Linea di scavo di sinistra (Orizzontale)

0 m

Linea di scavo di destra (Orizzontale)

-6 m

Viadotto ad archi - Relazione di calcolo
opere provvisionali - 1/2

COMMESSA	LOTTO	CODIFICA	DOCUMENTO	REV.	FOGLIO
IA4K	42 E78	CL	NW08 007	A	81 di 166

Falda acquifera

Falda di sinistra : -3.5 m

Falda di destra : -3.5 m

Carichi

Carico lineare in superficie : Carico Stradale

X iniziale : -10 m

X finale : -1.5 m

Pressione iniziale : 20 kPa

Pressione finale : 20 kPa

Elementi strutturali

Paratia : WallElement

X : 0 m

Quota in alto : 0 m

Quota di fondo : -15.5 m

Sezione : D300

Tirante : 1° TIRANTE

X : 0 m

Z : -2.5 m

Lunghezza bulbo : 8 m

Diametro bulbo : 0.18 m

Lunghezza libera : 8 m

Spaziatura orizzontale : 1.5 m

Precarico : 150 kN

Angolo : 15 °

Sezione : 3 strands

Tipo di barre : Barre trefoli

Numero di barre : 3

Diametro : 0.01331 m

Area : 0.000417 m²

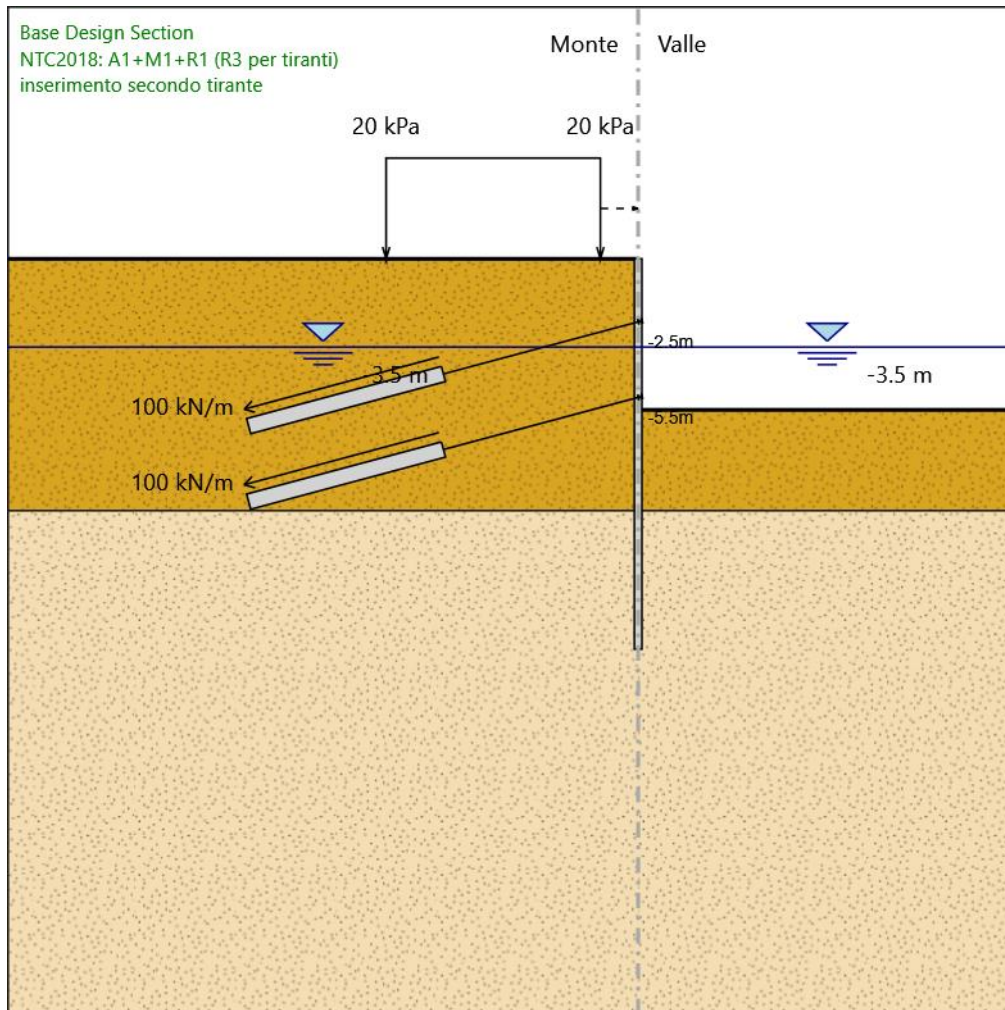
Trave di Ripartizione : Default Waler

Sezione : T.R. HE160B

HE 160B

Materiale : S275

inserimento secondo tirante



inserimento secondo tirante

Scavo

Muro di sinistra

Lato monte : 0 m

Lato valle : -6 m

Linea di scavo di sinistra (Orizzontale)

0 m

Linea di scavo di destra (Orizzontale)

-6 m

Viadotto ad archi - Relazione di calcolo
opere provvisionali - 1/2

COMMESSA	LOTTO	CODIFICA	DOCUMENTO	REV.	FOGLIO
IA4K	42 E78	CL	NW08 007	A	83 di 166

Falda acquifera

Falda di sinistra : -3.5 m

Falda di destra : -3.5 m

Carichi

Carico lineare in superficie : Carico Stradale

X iniziale : -10 m

X finale : -1.5 m

Pressione iniziale : 20 kPa

Pressione finale : 20 kPa

Elementi strutturali

Paratia : WallElement

X : 0 m

Quota in alto : 0 m

Quota di fondo : -15.5 m

Sezione : D300

Tirante : 1° TIRANTE

X : 0 m

Z : -2.5 m

Lunghezza bulbo : 8 m

Diametro bulbo : 0.18 m

Lunghezza libera : 8 m

Spaziatura orizzontale : 1.5 m

Precarico : 150 kN

Angolo : 15 °

Sezione : 3 strands

Tipo di barre : Barre trefoli

Numero di barre : 3

Diametro : 0.01331 m

Area : 0.000417 m²

Trave di Ripartizione : Default Waler

Sezione : T.R. HE160B

HE 160B

Materiale : S275

Tirante : 2° TIRANTE

X : 0 m

Z : -5.5 m

Lunghezza bulbo : 8 m

Diametro bulbo : 0.18 m

Lunghezza libera : 8 m

Spaziatura orizzontale : 1.5 m

Precarico : 150 kN

Angolo : 15 °

Sezione : 3 strands



GRUPPO FERROVIE DELLO STATO ITALIANE

PROGETTO ESECUTIVO
LINEA FOGGIA-POTENZA
INTERVENTO DI SOPPRESSIONE P.L.

**Viadotto ad archi - Relazione di calcolo
opere provvisionali - 1/2**

COMMESSA	LOTTO	CODIFICA	DOCUMENTO	REV.	FOGLIO
IA4K	42 E78	CL	NW08 007	A	84 di 166

Tipo di barre : Barre trefoli

Numero di barre : 3

Diametro : 0.01331 m

Area : 0.000417 m²

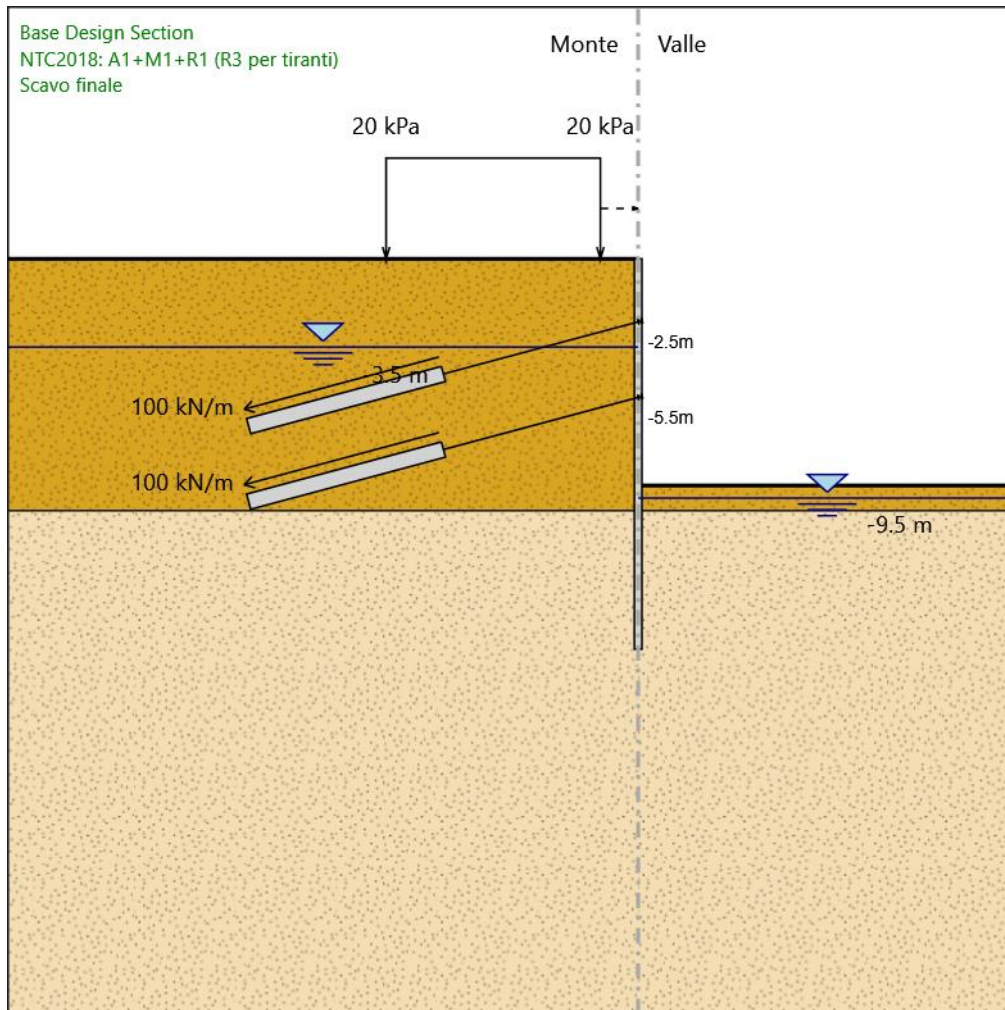
Trave di Ripartizione : Default Waler

Sezione : T.R. HE160B

HE 160B

Materiale : S275

Scavo finale



Scavo finale

Scavo

Muro di sinistra

Lato monte : 0 m

Lato valle : -9 m

Linea di scavo di sinistra (Orizzontale)

0 m

Linea di scavo di destra (Orizzontale)

-9 m

**Viadotto ad archi - Relazione di calcolo
opere provvisionali - 1/2**

COMMESSA	LOTTO	CODIFICA	DOCUMENTO	REV.	FOGLIO
IA4K	42 E78	CL	NW08 007	A	86 di 166

Falda acquifera

Falda di sinistra : -3.5 m

Falda di destra : -9.5 m

Carichi

Carico lineare in superficie : Carico Stradale

X iniziale : -10 m

X finale : -1.5 m

Pressione iniziale : 20 kPa

Pressione finale : 20 kPa

Elementi strutturali

Paratia : WallElement

X : 0 m

Quota in alto : 0 m

Quota di fondo : -15.5 m

Sezione : D300

Tirante : 1° TIRANTE

X : 0 m

Z : -2.5 m

Lunghezza bulbo : 8 m

Diametro bulbo : 0.18 m

Lunghezza libera : 8 m

Spaziatura orizzontale : 1.5 m

Precarico : 150 kN

Angolo : 15 °

Sezione : 3 strands

Tipo di barre : Barre trefoli

Numero di barre : 3

Diametro : 0.01331 m

Area : 0.000417 m²

Trave di Ripartizione : Default Waler

Sezione : T.R. HE160B

HE 160B

Materiale : S275

Tirante : 2° TIRANTE

X : 0 m

Z : -5.5 m

Lunghezza bulbo : 8 m

Diametro bulbo : 0.18 m

Lunghezza libera : 8 m

Spaziatura orizzontale : 1.5 m

Precarico : 150 kN

Angolo : 15 °

Sezione : 3 strands



GRUPPO FERROVIE DELLO STATO ITALIANE

PROGETTO ESECUTIVO
LINEA FOGGIA-POTENZA
INTERVENTO DI SOPPRESSIONE P.L.

Viadotto ad archi - Relazione di calcolo
opere provvisionali - 1/2

COMMESSA	LOTTO	CODIFICA	DOCUMENTO	REV.	FOGLIO
IA4K	42 E78	CL	NW08 007	A	87 di 166

Tipo di barre : Barre trefoli

Numero di barre : 3

Diametro : 0.01331 m

Area : 0.000417 m²

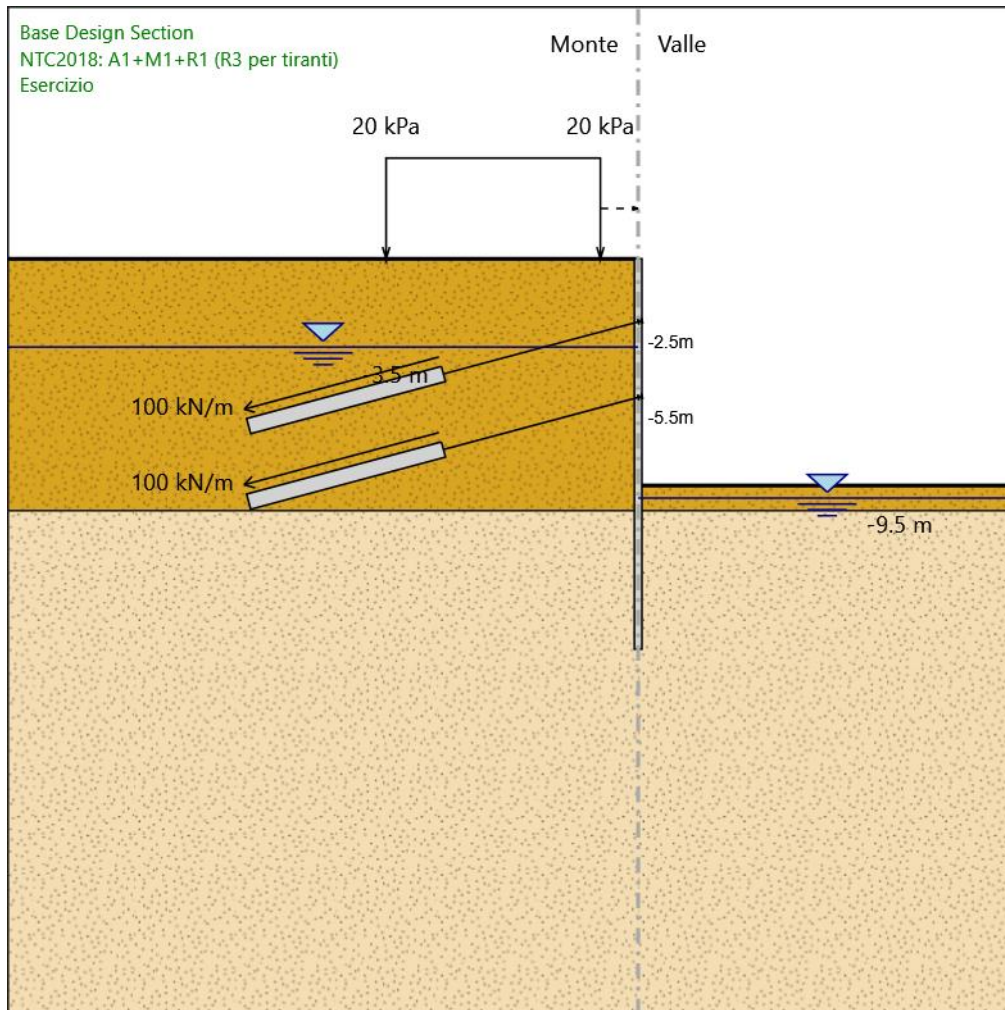
Trave di Ripartizione : Default Waler

Sezione : T.R. HE160B

HE 160B

Materiale : S275

Esercizio



Esercizio

Scavo

Muro di sinistra

Lato monte : 0 m

Lato valle : -9 m

Linea di scavo di sinistra (Orizzontale)

0 m

Linea di scavo di destra (Orizzontale)

-9 m

Viadotto ad archi - Relazione di calcolo
opere provvisionali - 1/2

COMMESSA	LOTTO	CODIFICA	DOCUMENTO	REV.	FOGLIO
IA4K	42 E78	CL	NW08 007	A	89 di 166

Falda acquifera

Falda di sinistra : -3.5 m

Falda di destra : -9.5 m

Carichi

Carico lineare in superficie : Carico Stradale

X iniziale : -10 m

X finale : -1.5 m

Pressione iniziale : 20 kPa

Pressione finale : 20 kPa

Elementi strutturali

Paratia : WallElement

X : 0 m

Quota in alto : 0 m

Quota di fondo : -15.5 m

Sezione : D300

Tirante : 1° TIRANTE

X : 0 m

Z : -2.5 m

Lunghezza bulbo : 8 m

Diametro bulbo : 0.18 m

Lunghezza libera : 8 m

Spaziatura orizzontale : 1.5 m

Precarico : 150 kN

Angolo : 15 °

Sezione : 3 strands

Tipo di barre : Barre trefoli

Numero di barre : 3

Diametro : 0.01331 m

Area : 0.000417 m²

Trave di Ripartizione : Default Waler

Sezione : T.R. HE160B

HE 160B

Materiale : S275

Tirante : 2° TIRANTE

X : 0 m

Z : -5.5 m

Lunghezza bulbo : 8 m

Diametro bulbo : 0.18 m

Lunghezza libera : 8 m

Spaziatura orizzontale : 1.5 m

Precarico : 150 kN

Angolo : 15 °

Sezione : 3 strands



GRUPPO FERROVIE DELLO STATO ITALIANE

PROGETTO ESECUTIVO
LINEA FOGGIA-POTENZA
INTERVENTO DI SOPPRESSIONE P.L.

**Viadotto ad archi - Relazione di calcolo
opere provvisionali - 1/2**

COMMESSA	LOTTO	CODIFICA	DOCUMENTO	REV.	FOGLIO
IA4K	42 E78	CL	NW08 007	A	90 di 166

Tipo di barre : Barre trefoli

Numero di barre : 3

Diametro : 0.01331 m

Area : 0.000417 m²

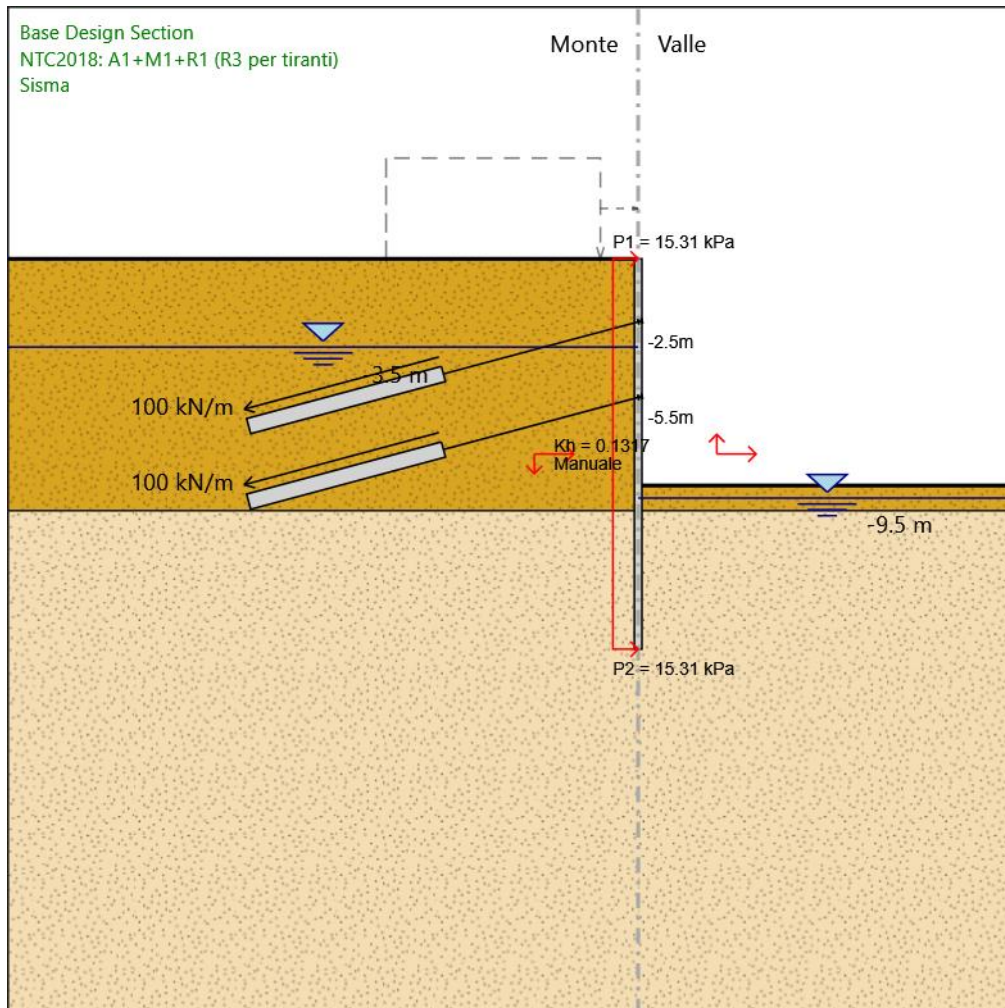
Trave di Ripartizione : Default Waler

Sezione : T.R. HE160B

HE 160B

Materiale : S275

Sisma



Sisma

Scavo

Muro di sinistra

Lato monte : 0 m

Lato valle : -9 m

Linea di scavo di sinistra (Orizzontale)

0 m

Linea di scavo di destra (Orizzontale)

-9 m

Falda acquifera

Falda di sinistra : -3.5 m

Falda di destra : -9.5 m

Elementi strutturali

Paratia : WallElement

X : 0 m

Quota in alto : 0 m

Quota di fondo : -15.5 m

Sezione : D300

Tirante : 1° TIRANTE

X : 0 m

Z : -2.5 m

Lunghezza bulbo : 8 m

Diametro bulbo : 0.18 m

Lunghezza libera : 8 m

Spaziatura orizzontale : 1.5 m

Precarico : 150 kN

Angolo : 15 °

Sezione : 3 strands

Tipo di barre : Barre trefoli

Numero di barre : 3

Diametro : 0.01331 m

Area : 0.000417 m²

Trave di Ripartizione : Default Waler

Sezione : T.R. HE160B

HE 160B

Materiale : S275

Tirante : 2° TIRANTE

X : 0 m

Z : -5.5 m

Lunghezza bulbo : 8 m

Diametro bulbo : 0.18 m

Lunghezza libera : 8 m

Spaziatura orizzontale : 1.5 m

Precarico : 150 kN

Angolo : 15 °

Sezione : 3 strands

Tipo di barre : Barre trefoli

Numero di barre : 3

Diametro : 0.01331 m

Area : 0.000417 m²

Trave di Ripartizione : Default Waler

Sezione : T.R. HE160B



PROGETTO ESECUTIVO
LINEA FOGGIA-POTENZA
INTERVENTO DI SOPPRESSIONE P.L.

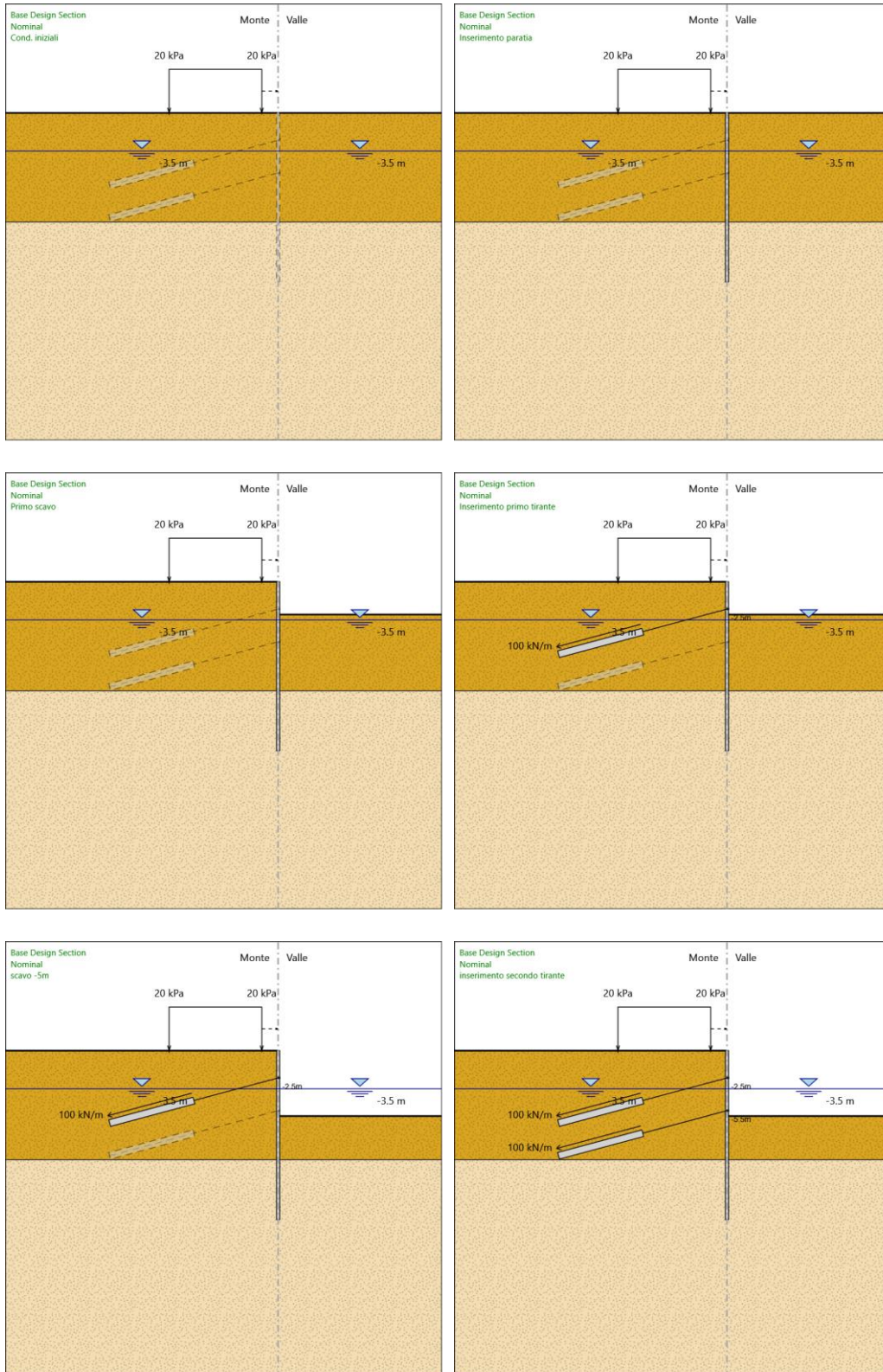
Viadotto ad archi - Relazione di calcolo
opere provvisionali - 1/2

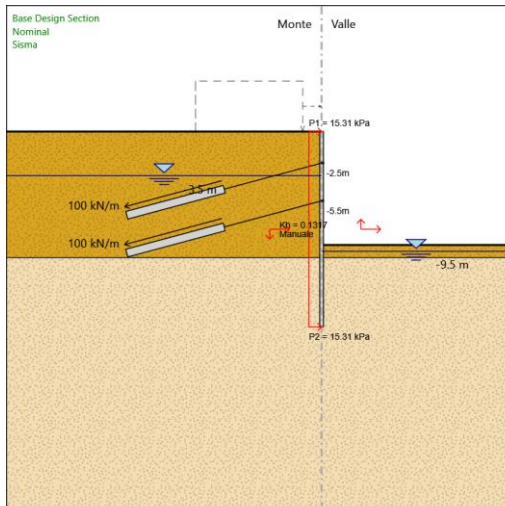
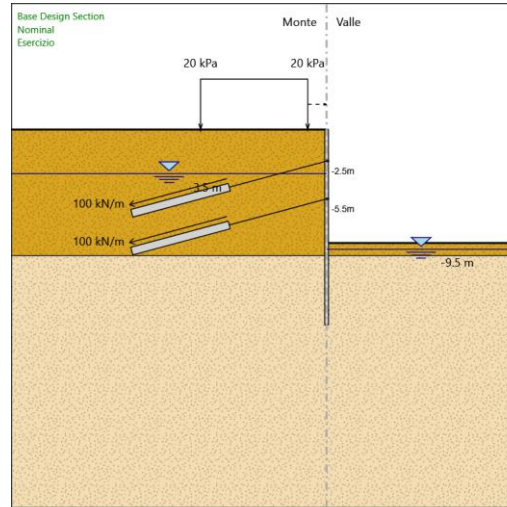
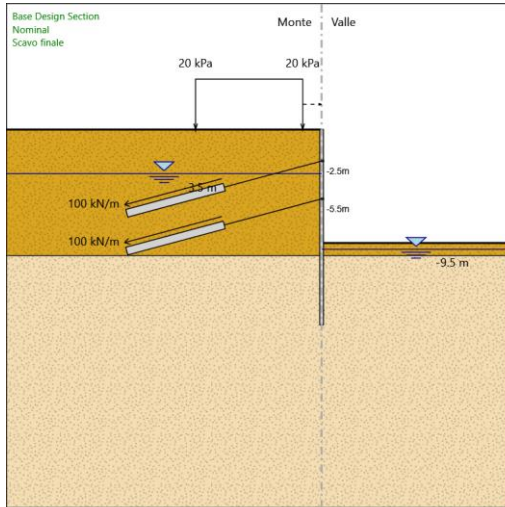
COMMESSA	LOTTO	CODIFICA	DOCUMENTO	REV.	FOGLIO
IA4K	42 E78	CL	NW08 007	A	93 di 166

HE 160B

Materiale : S275

Tabella Configurazione Stage (Nominal)







GRUPPO FERROVIE DELLO STATO ITALIANE

PROGETTO ESECUTIVO
LINEA FOGGIA-POTENZA
INTERVENTO DI SOPPRESSIONE P.L.

**Viadotto ad archi - Relazione di calcolo
opere provvisionali - 1/2**

COMMESSA	LOTTO	CODIFICA	DOCUMENTO	REV.	FOGLIO
IA4K	42 E78	CL	NW08 007	A	96 di 166

Normative adottate per le verifiche degli Elementi Strutturali

Normative Verifiche

Calcestruzzo	NTC
Acciaio	NTC
Tirante	NTC

Coefficienti per Verifica Tiranti

GEO FS	1
ξ_{a3}	1.8
γ_s	1.15

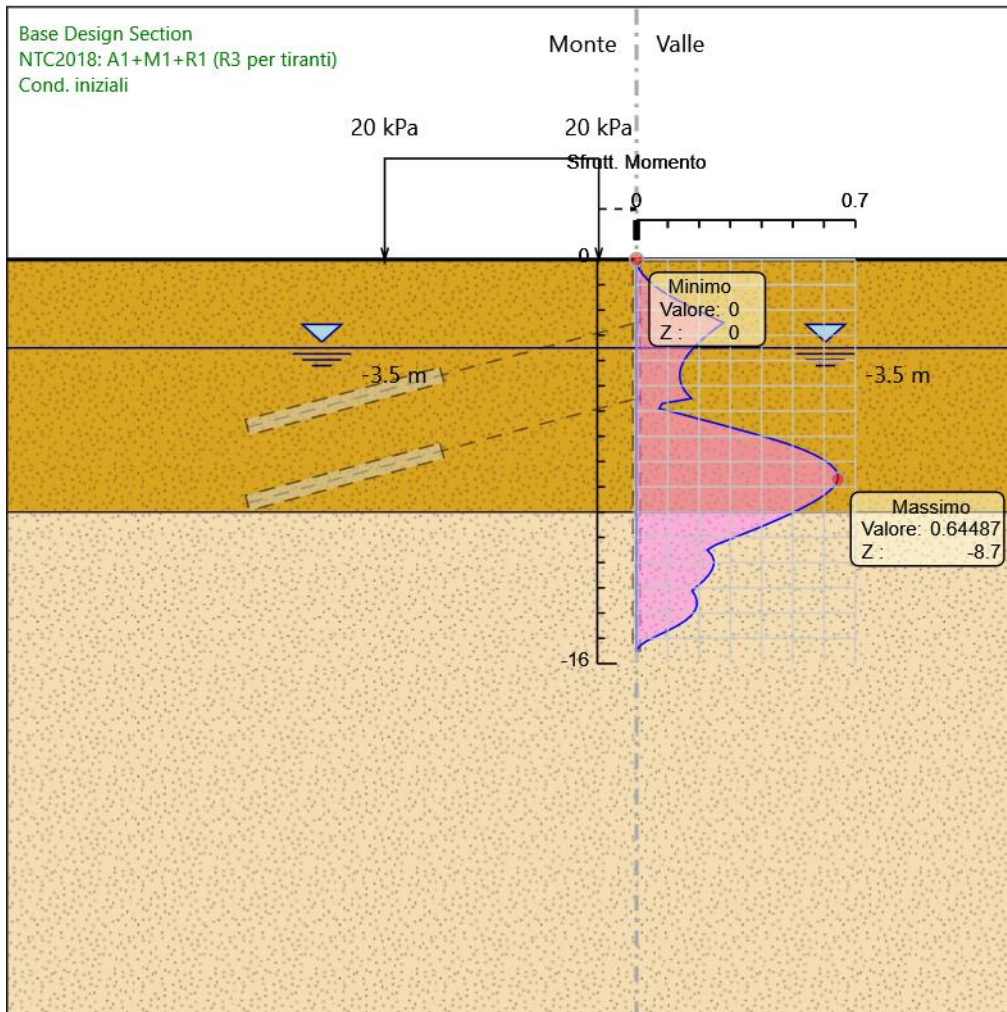
Risultati SteelWorld

Tabella Inviluppi Tasso di Sfruttamento a Momento - SteelWorld : LEFT

Inviluppi Tasso di Sfruttamento a Momento - SteelWorld		LEFT
Z (m)	Tasso di Sfruttamento a Momento - SteelWorld	
0	0	
-0.2	0.002	
-0.4	0.009	
-0.6	0.021	
-0.8	0.036	
-1	0.054	
-1.2	0.074	
-1.4	0.101	
-1.6	0.131	
-1.8	0.162	
-2	0.194	
-2.2	0.227	
-2.4	0.261	
-2.5	0.278	
-2.7	0.256	
-2.9	0.235	
-3.1	0.216	
-3.3	0.198	
-3.5	0.182	
-3.7	0.168	
-3.9	0.157	
-4.1	0.148	
-4.3	0.142	
-4.5	0.139	
-4.7	0.139	
-4.9	0.142	
-5.1	0.149	
-5.3	0.16	
-5.5	0.176	
-5.7	0.082	
-5.9	0.072	
-6.1	0.137	
-6.3	0.196	
-6.5	0.259	
-6.7	0.317	
-6.9	0.376	
-7.1	0.433	
-7.3	0.483	
-7.5	0.527	
-7.7	0.565	
-7.9	0.595	
-8.1	0.619	
-8.3	0.635	
-8.5	0.644	
-8.7	0.645	
-8.9	0.638	
-9.1	0.623	
-9.3	0.603	
-9.5	0.579	
-9.7	0.551	
-9.9	0.521	
-10.1	0.487	
-10.3	0.452	
-10.5	0.414	
-10.7	0.375	
-10.9	0.334	
-11.1	0.294	

Involuppi Tasso di Sfruttamento a Momento - SteelWorld		LEFT
Z (m)	Tasso di Sfruttamento a Momento - SteelWorld	
-11.3		0.252
-11.5		0.226
-11.7		0.241
-11.9		0.247
-12.1		0.247
-12.3		0.241
-12.5		0.23
-12.7		0.215
-12.9		0.198
-13.1		0.178
-13.3		0.187
-13.5		0.193
-13.7		0.193
-13.9		0.187
-14.1		0.175
-14.3		0.156
-14.5		0.13
-14.7		0.099
-14.9		0.065
-15.1		0.033
-15.3		0.01
-15.5		0

Grafico Inviluppi Tasso di Sfruttamento a Momento - SteelWorld



Inviluppi
Tasso di Sfruttamento a Momento - SteelWorld

Tabella Involuppi Tasso di Sfruttamento a Taglio - SteelWorld : LEFT

Involuppi Tasso di Sfruttamento a Taglio - SteelWorld		LEFT
Z (m)	Tasso di Sfruttamento a Taglio - SteelWorld	
0	0.002	
-0.2	0.006	
-0.4	0.01	
-0.6	0.013	
-0.8	0.017	
-1	0.02	
-1.2	0.023	
-1.4	0.026	
-1.6	0.027	
-1.8	0.028	
-2	0.029	
-2.2	0.032	
-2.4	0.033	
-2.5	0.029	
-2.7	0.026	
-2.9	0.022	
-3.1	0.02	
-3.3	0.017	
-3.5	0.016	
-3.7	0.014	
-3.9	0.012	
-4.1	0.01	
-4.3	0.008	
-4.5	0.008	
-4.7	0.013	
-4.9	0.018	
-5.1	0.023	
-5.3	0.028	
-5.5	0.081	
-5.7	0.077	
-5.9	0.073	
-6.1	0.068	
-6.3	0.064	
-6.5	0.059	
-6.7	0.054	
-6.9	0.049	
-7.1	0.044	
-7.3	0.038	
-7.5	0.032	
-7.7	0.027	
-7.9	0.02	
-8.1	0.014	
-8.3	0.017	
-8.5	0.025	
-8.7	0.033	
-8.9	0.041	
-9.1	0.044	
-9.3	0.045	
-9.5	0.046	
-9.7	0.045	
-9.9	0.044	
-10.1	0.042	
-10.3	0.04	
-10.5	0.037	
-10.7	0.036	
-10.9	0.035	
-11.1	0.036	
-11.3	0.035	
-11.5	0.035	
-11.7	0.034	



GRUPPO FERROVIE DELLO STATO ITALIANE

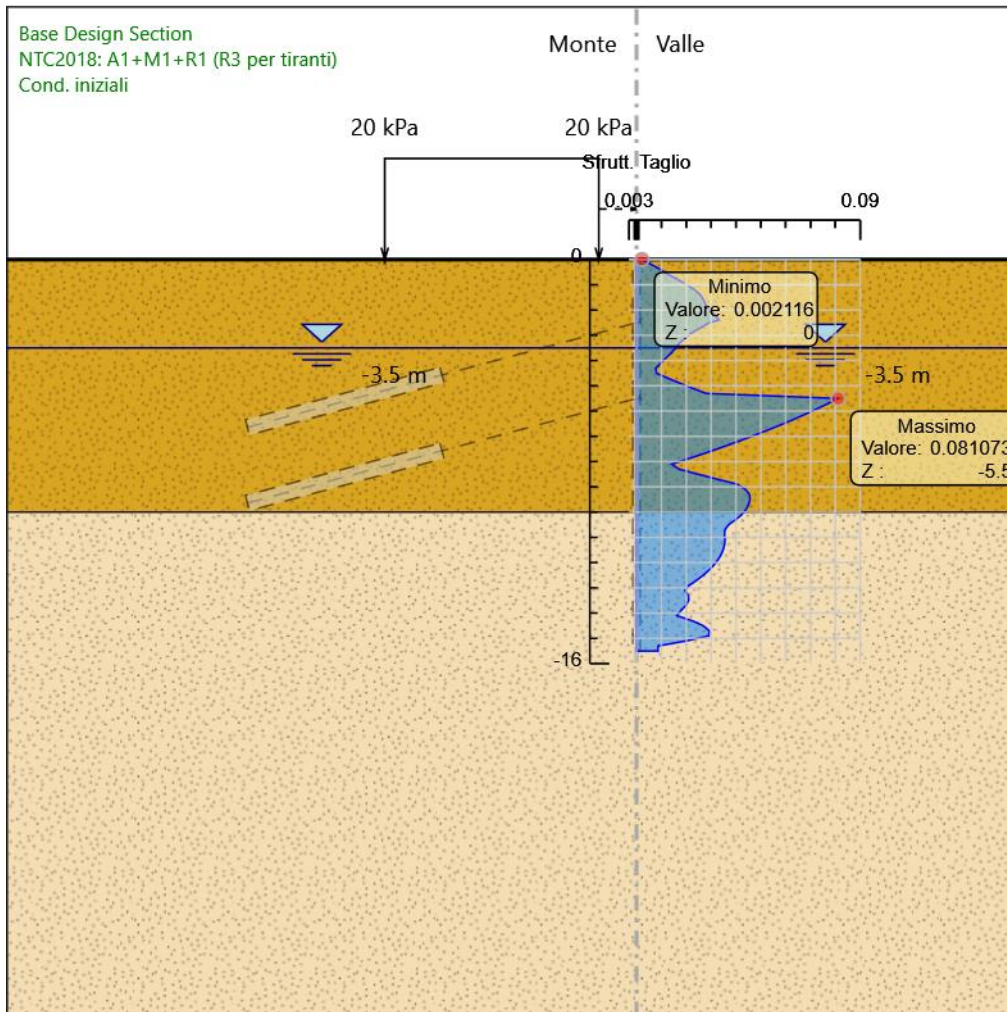
PROGETTO ESECUTIVO
LINEA FOGGIA-POTENZA
INTERVENTO DI SOPPRESSIONE P.L.

**Viadotto ad archi - Relazione di calcolo
opere provvisionali - 1/2**

COMMESSA	LOTTO	CODIFICA	DOCUMENTO	REV.	FOGLIO
IA4K	42 E78	CL	NW08 007	A	102 di 166

Involuppi Tasso di Sfruttamento a Taglio - SteelWorld		LEFT
Z (m)	Tasso di Sfruttamento a Taglio - SteelWorld	
-11.9		0.033
-12.1		0.031
-12.3		0.029
-12.5		0.027
-12.7		0.024
-12.9		0.021
-13.1		0.019
-13.3		0.021
-13.5		0.021
-13.7		0.02
-13.9		0.018
-14.1		0.016
-14.3		0.022
-14.5		0.027
-14.7		0.029
-14.9		0.029
-15.1		0.02
-15.3		0.009
-15.5		0.009

Grafico Inviluppi Tasso di Sfruttamento a Taglio - SteelWorld



Inviluppi
Tasso di Sfruttamento a Taglio - SteelWorld

Verifiche Tiranti NTC2018: SLE (Rara/Frequente/Quasi Permanente)

Design Assumption: NTC2018: SLE (Rara/Frequente/Quasi Permanente)		Tipo Risultato: Verifiche Tiranti		NTC2018 (ITA)				Gerarchia delle Resistenze
Tirante	Stage	Sollecitazione (kN)	Resistenza GEO (kN)	Resistenza STR (kN)	Ratio GEO	Ratio Resistenza STR		
1° TIRANTE	Inserimento primo tirante	150	950.018	605.557	0.158	0.248	NO	
1° TIRANTE	scavo -5m	151.892	950.018	605.557	0.16	0.251	NO	
1° TIRANTE	inserimento secondo tirante	151.236	950.018	605.557	0.159	0.25	NO	
1° TIRANTE	Scavo finale	156.093	950.018	605.557	0.164	0.258	NO	
1° TIRANTE	Esercizio	156.093	950.018	605.557	0.164	0.258	NO	
1° TIRANTE	Sisma	155.567	950.018	605.557	0.164	0.257	NO	
2° TIRANTE	inserimento secondo tirante	150	950.018	605.557	0.158	0.248	NO	
2° TIRANTE	Scavo finale	218.074	950.018	605.557	0.23	0.36	NO	
2° TIRANTE	Esercizio	218.074	950.018	605.557	0.23	0.36	NO	
2° TIRANTE	Sisma	217.315	950.018	605.557	0.229	0.359	NO	

Verifiche Tiranti NTC2018: A1+M1+R1 (R3 per tiranti)

Design Assumption:	Tipo Risultato:	NTC2018						
NTC2018: A1+M1+R1 (R3 per tiranti)	Verifiche Tiranti	(ITA)						
Tirante	Stage	Sollecitazione (kN)	Resistenza GEO (kN)	Resistenza STR (kN)	Ratio GEO	Ratio STR	Resistenza	Gerarchia delle Resistenze
1° TIRANTE	Inserimento primo tirante	202.5	439.823	605.557	0.46	0.334		
1° TIRANTE	scavo -5m	205.054	439.823	605.557	0.466	0.339		
1° TIRANTE	inserimento secondo tirante	204.168	439.823	605.557	0.464	0.337		
1° TIRANTE	Scavo finale	210.726	439.823	605.557	0.479	0.348		
1° TIRANTE	Esercizio	210.726	439.823	605.557	0.479	0.348		
1° TIRANTE	Sisma	210.016	439.823	605.557	0.478	0.347		
2° TIRANTE	inserimento secondo tirante	202.5	439.823	605.557	0.46	0.334		
2° TIRANTE	Scavo finale	294.401	439.823	605.557	0.669	0.486		
2° TIRANTE	Esercizio	294.401	439.823	605.557	0.669	0.486		
2° TIRANTE	Sisma	293.375	439.823	605.557	0.667	0.484		

Verifiche Tiranti NTC2018: A2+M2+R1

Design Assumption:	Tipo Risultato:	NTC2018						
NTC2018: A2+M2+R1	Verifiche Tiranti				(ITA)			
Tirante	Stage	Sollecitazione (kN)	Resistenza GEO (kN)	Resistenza STR (kN)	Ratio GEO	Ratio STR	Resistenza	Gerarchia delle Resistenze
1° TIRANTE	Inserimento primo tirante	150	439.823	605.557	0.341	0.248		
1° TIRANTE	scavo -5m	156.112	439.823	605.557	0.355	0.258		
1° TIRANTE	inserimento secondo tirante	155.241	439.823	605.557	0.353	0.256		
1° TIRANTE	Scavo finale	188.807	439.823	605.557	0.429	0.312		
1° TIRANTE	Esercizio	188.807	439.823	605.557	0.429	0.312		
1° TIRANTE	Sisma	188.134	439.823	605.557	0.428	0.311		
2° TIRANTE	inserimento secondo tirante	150	439.823	605.557	0.341	0.248		
2° TIRANTE	Scavo finale	367.289	439.823	605.557	0.835	0.607		
2° TIRANTE	Esercizio	367.289	439.823	605.557	0.835	0.607		
2° TIRANTE	Sisma	366.338	439.823	605.557	0.833	0.605		

Verifiche Tiranti NTC2018: SISMICA STR

Design Assumption:	Tipo Risultato:	NTC2018						
NTC2018: SISMICA STR	Verifiche Tiranti	(ITA)						
Tirante	Stage	Sollecitazione (kN)	Resistenza GEO (kN)	Resistenza STR (kN)	Ratio GEO	Ratio STR	Resistenza	Gerarchia delle Resistenze
1° TIRANTE	Inserimento primo tirante	150	439.823	605.557	0.341	0.248		
1° TIRANTE	scavo -5m	151.892	439.823	605.557	0.345	0.251		
1° TIRANTE	inserimento secondo tirante	151.236	439.823	605.557	0.344	0.25		
1° TIRANTE	Scavo finale	156.093	439.823	605.557	0.355	0.258		
1° TIRANTE	Esercizio	156.093	439.823	605.557	0.355	0.258		
1° TIRANTE	Sisma	195.158	439.823	605.557	0.444	0.322		
2° TIRANTE	inserimento secondo tirante	150	439.823	605.557	0.341	0.248		
2° TIRANTE	Scavo finale	218.074	439.823	605.557	0.496	0.36		
2° TIRANTE	Esercizio	218.074	439.823	605.557	0.496	0.36		
2° TIRANTE	Sisma	343.34	439.823	605.557	0.781	0.567		

Verifiche Tiranti NTC2018: SISMICA GEO

Design Assumption:	Tipo Risultato:	NTC2018						
NTC2018: SISMICA GEO	Verifiche Tiranti	(ITA)						
Tirante	Stage	Sollecitazione (kN)	Resistenza GEO (kN)	Resistenza STR (kN)	Ratio GEO	Ratio STR	Resistenza	Gerarchia delle Resistenze
1° TIRANTE	Inserimento primo tirante	150	439.823	605.557	0.341	0.248		
1° TIRANTE	scavo -5m	151.892	439.823	605.557	0.345	0.251		
1° TIRANTE	inserimento secondo tirante	151.236	439.823	605.557	0.344	0.25		
1° TIRANTE	Scavo finale	156.093	439.823	605.557	0.355	0.258		
1° TIRANTE	Esercizio	156.093	439.823	605.557	0.355	0.258		
1° TIRANTE	Sisma	195.158	439.823	605.557	0.444	0.322		
2° TIRANTE	inserimento secondo tirante	150	439.823	605.557	0.341	0.248		
2° TIRANTE	Scavo finale	218.074	439.823	605.557	0.496	0.36		
2° TIRANTE	Esercizio	218.074	439.823	605.557	0.496	0.36		
2° TIRANTE	Sisma	343.34	439.823	605.557	0.781	0.567		

Involuppo Verifiche Tiranti (su tutte le D.A. attive)

Tipo Risultato:									
Verifiche Tiranti									
Tirante	Stage	Sollecitazione (kN)	Resistenza GEO (kN)	Resistenza STR (kN)	Ratio GEO	Ratio STR	Resistenza	Gerarchia delle Resistenze	Design Assumption
1° TIRANTE	Scavo finale	210.726	439.823	605.557	0.479	0.348			NTC2018: A1+M1+R1 (R3 per tiranti)
2° TIRANTE	Scavo finale	367.289	439.823	605.557	0.835	0.607			NTC2018: A2+M2+R1

Verifiche Travi di Ripartizione Nominal

Design	Tipo Risultato: Verifiche								
Assumption:	Travi di Ripartizione								
Nominal									
Trave di Ripartizione	Elemento strutturale	Sezione	Materiale	Stage	Carico distribuito (kN/m)	Assiale (kN)	Ratio momento	Ratio taglio	Instabilità
Default Waler	1° TIRANTE	HE	S275	Inserimento primo tirante	100	0	0	0	0
Default Waler	1° TIRANTE	HE	S275	scavo -5m	101.261	0	0	0	0
Default Waler	1° TIRANTE	HE	S275	inserimento secondo tirante	100.824	0	0	0	0
Default Waler	2° TIRANTE	HE	S275	inserimento secondo tirante	100	0	0	0	0
Default Waler	1° TIRANTE	HE	S275	Scavo finale	104.062	0	0	0	0
Default Waler	2° TIRANTE	HE	S275	Scavo finale	145.383	0	0	0	0
Default Waler	1° TIRANTE	HE	S275	Esercizio	104.062	0	0	0	0
Default Waler	2° TIRANTE	HE	S275	Esercizio	145.383	0	0	0	0
Default Waler	1° TIRANTE	HE	S275	Sisma	130.105	0	0	0	0
Default Waler	2° TIRANTE	HE	S275	Sisma	228.893	0	0	0	0

Verifiche Travi di Ripartizione NTC2018: SLE (Rara/Frequente/Quasi Permanente)

Design Assumption: NTC2018:		Tipo Risultato: NTC2018								
SLE (Rara/Frequente/Quasi Permanente)		Verifiche Travi di Ripartizione		(ITA)						
Trave di Ripartizione	Elemento strutturale	Sezione	Materiale	Stage	Carico distribuito (kN/m)	Assiale (kN)	Ratio momento	Ratio taglio	Instabilità	
Default Waler	1° TIRANTE	HE 160B	S275	Inserimento primo tirante	100	0	0.21	0.386	0	
Default Waler	1° TIRANTE	HE 160B	S275	scavo -5m	101.261	0	0.212	0.39	0	
Default Waler	1° TIRANTE	HE 160B	S275	inserimento secondo tirante	100.824	0	0.211	0.389	0	
Default Waler	2° TIRANTE	HE 160B	S275	inserimento secondo tirante	100	0	0.21	0.386	0	
Default Waler	1° TIRANTE	HE 160B	S275	Scavo finale	104.062	0	0.218	0.401	0	
Default Waler	2° TIRANTE	HE 160B	S275	Scavo finale	145.383	0	0.305	0.561	0	
Default Waler	1° TIRANTE	HE 160B	S275	Esercizio	104.062	0	0.218	0.401	0	
Default Waler	2° TIRANTE	HE 160B	S275	Esercizio	145.383	0	0.305	0.561	0	
Default Waler	1° TIRANTE	HE 160B	S275	Sisma	103.712	0	0.217	0.4	0	
Default Waler	2° TIRANTE	HE 160B	S275	Sisma	144.877	0	0.304	0.559	0	

Verifiche Travi di Ripartizione NTC2018: A1+M1+R1 (R3 per tiranti)

Design Assumption:	Tipo Risultato:	NTC2018							
NTC2018: A1+M1+R1 (R3 per tiranti)	Verifiche Travi di Ripartizione	(ITA)							
Trave di Ripartizione	Elemento strutturale	Sezione	Materiale	Stage	Carico distribuito (kN/m)	Assiale (kN)	Ratio momento	Ratio taglio	Instabilità
Default Waler	1° TIRANTE	HE 160B	S275	Inserimento primo tirante	135	0	0.283	0.521	0
Default Waler	1° TIRANTE	HE 160B	S275	scavo -5m	136.702	0	0.287	0.527	0
Default Waler	1° TIRANTE	HE 160B	S275	inserimento	136.112	0	0.285	0.525	0
				secondo tirante					
Default Waler	2° TIRANTE	HE 160B	S275	inserimento	135	0	0.283	0.521	0
				secondo tirante					
Default Waler	1° TIRANTE	HE 160B	S275	Scavo finale	140.484	0	0.295	0.542	0
Default Waler	2° TIRANTE	HE 160B	S275	Scavo finale	196.267	0	0.428	0.757	0
Default Waler	1° TIRANTE	HE 160B	S275	Esercizio	140.484	0	0.295	0.542	0
Default Waler	2° TIRANTE	HE 160B	S275	Esercizio	196.267	0	0.428	0.757	0
Default Waler	1° TIRANTE	HE 160B	S275	Sisma	140.011	0	0.294	0.54	0
Default Waler	2° TIRANTE	HE 160B	S275	Sisma	195.584	0	0.426	0.754	0

Verifiche Travi di Ripartizione NTC2018: A2+M2+R1

Design Assumption:	Tipo Risultato:	NTC2018							
NTC2018: A2+M2+R1	Verifiche Travi di Ripartizione	(ITA)							
Trave di Ripartizione	Elemento strutturale	Sezione	Materiale	Stage	Carico distribuito (kN/m)	Assiale (kN)	Ratio momento	Ratio taglio	Instabilità
Default Waler	1° TIRANTE	HE 160B	S275	Inserimento primo tirante	100	0	0.21	0.386	0
Default Waler	1° TIRANTE	HE 160B	S275	scavo -5m	104.075	0	0.218	0.401	0
Default Waler	1° TIRANTE	HE 160B	S275	inserimento secondo tirante	103.494	0	0.217	0.399	0
Default Waler	2° TIRANTE	HE 160B	S275	inserimento secondo tirante	100	0	0.21	0.386	0
Default Waler	1° TIRANTE	HE 160B	S275	Scavo finale	125.872	0	0.264	0.485	0
Default Waler	2° TIRANTE	HE 160B	S275	Scavo finale	244.859	0	0.579	0.944	0
Default Waler	1° TIRANTE	HE 160B	S275	Esercizio	125.872	0	0.264	0.485	0
Default Waler	2° TIRANTE	HE 160B	S275	Esercizio	244.859	0	0.579	0.944	0
Default Waler	1° TIRANTE	HE 160B	S275	Sisma	125.422	0	0.263	0.484	0
Default Waler	2° TIRANTE	HE 160B	S275	Sisma	244.225	0	0.577	0.942	0

Verifiche Travi di Ripartizione NTC2018: SISMICA STR

Design Assumption:	Tipo Risultato:	NTC2018							
NTC2018: SISMICA STR	Verifiche Travi di Ripartizione	(ITA)							
Trave di Ripartizione	Elemento strutturale	Sezione	Materiale	Stage	Carico distribuito (kN/m)	Assiale (kN)	Ratio momento	Ratio taglio	Instabilità
Default Waler	1° TIRANTE	HE 160B	S275	Inserimento primo tirante	100	0	0.21	0.386	0
Default Waler	1° TIRANTE	HE 160B	S275	scavo -5m	101.261	0	0.212	0.39	0
Default Waler	1° TIRANTE	HE 160B	S275	inserimento	100.824	0	0.211	0.389	0
Default Waler	2° TIRANTE	HE 160B	S275	secondo tirante inserimento	100	0	0.21	0.386	0
Default Waler	1° TIRANTE	HE 160B	S275	Scavo finale	104.062	0	0.218	0.401	0
Default Waler	2° TIRANTE	HE 160B	S275	Scavo finale	145.383	0	0.305	0.561	0
Default Waler	1° TIRANTE	HE 160B	S275	Esercizio	104.062	0	0.218	0.401	0
Default Waler	2° TIRANTE	HE 160B	S275	Esercizio	145.383	0	0.305	0.561	0
Default Waler	1° TIRANTE	HE 160B	S275	Sisma	130.105	0	0.273	0.502	0
Default Waler	2° TIRANTE	HE 160B	S275	Sisma	228.893	0	0.524	0.883	0

Verifiche Travi di Ripartizione NTC2018: SISMICA GEO

Design Assumption:	Tipo Risultato:	NTC2018							
NTC2018: SISMICA GEO	Verifiche Travi di Ripartizione	(ITA)							
Trave di Ripartizione	Elemento strutturale	Sezione	Materiale	Stage	Carico distribuito (kN/m)	Assiale (kN)	Ratio momento	Ratio taglio	Instabilità
Default Waler	1° TIRANTE	HE 160B	S275	Inserimento primo tirante	100	0	0.21	0.386	0
Default Waler	1° TIRANTE	HE 160B	S275	scavo -5m	101.261	0	0.212	0.39	0
Default Waler	1° TIRANTE	HE 160B	S275	inserimento	100.824	0	0.211	0.389	0
				secondo tirante					
Default Waler	2° TIRANTE	HE 160B	S275	inserimento	100	0	0.21	0.386	0
				secondo tirante					
Default Waler	1° TIRANTE	HE 160B	S275	Scavo finale	104.062	0	0.218	0.401	0
Default Waler	2° TIRANTE	HE 160B	S275	Scavo finale	145.383	0	0.305	0.561	0
Default Waler	1° TIRANTE	HE 160B	S275	Esercizio	104.062	0	0.218	0.401	0
Default Waler	2° TIRANTE	HE 160B	S275	Esercizio	145.383	0	0.305	0.561	0
Default Waler	1° TIRANTE	HE 160B	S275	Sisma	130.105	0	0.273	0.502	0
Default Waler	2° TIRANTE	HE 160B	S275	Sisma	228.893	0	0.524	0.883	0

 ITALFERR GRUPPO FERROVIE DELLO STATO ITALIANE	PROGETTO ESECUTIVO LINEA FOGGIA-POTENZA INTERVENTO DI SOPPRESSIONE P.L.					
	Viadotto ad archi - Relazione di calcolo opere provvisionali - 1/2	COMMESSA IA4K	LOTTO 42 E78	CODIFICA CL	DOCUMENTO NW08 007	REV. A

12.2 PARATIA DI MICROPALI H_{SCAVO}=7.50M

PARATIE plus™

Report di Calcolo

 ITALFERR GRUPPO FERROVIE DELLO STATO ITALIANE	PROGETTO ESECUTIVO LINEA FOGGIA-POTENZA INTERVENTO DI SOPPRESSIONE P.L.					
	Viadotto ad archi - Relazione di calcolo opere provvisionali - 1/2	COMMESSA IA4K	LOTTO 42 E78	CODIFICA CL	DOCUMENTO NW08 007	REV. A

Descrizione del Software

ParatiePlus è un codice agli elementi finiti che simula il problema di uno scavo sostenuto da diaframmi flessibili e permette di valutare il comportamento della parete di sostegno durante tutte le fasi intermedie e nella configurazione finale.

Descrizione Pareti

X : 0 m

Quota in alto : 0 m

Quota di fondo : -14.5 m

Muro di sinistra

Sezione : D300

Area equivalente : 0.033983255931213 m

Inerzia equivalente : 0.0002 m⁴/m

Materiale calcestruzzo : C25/30

Tipo sezione : Tangent

Spaziatura : 0.5 m

Diametro : 0.3 m

Efficacia : 0.6

Materiale acciaio : S275

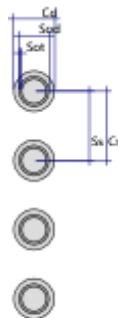
Sezione : CHS219.1*20

Tipo sezione : O

Spaziatura : 0.5 m

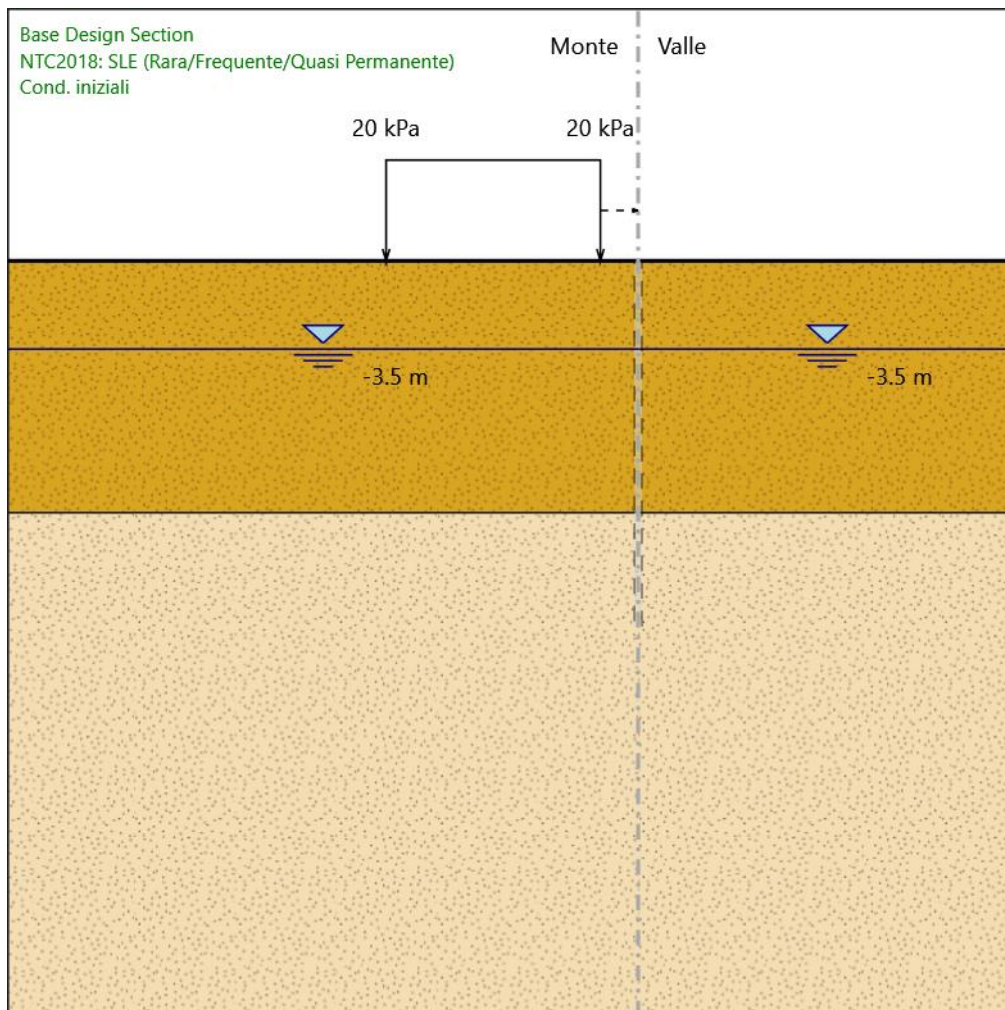
Spessore : 0.02 m

Diametro : 0.2191 m



Fasi di Calcolo

Cond. iniziali



Cond. iniziali

Scavo

Muro di sinistra

Lato monte : 0 m

Lato valle : 0 m

Linea di scavo di sinistra (Orizzontale)

0 m

Linea di scavo di destra (Orizzontale)



GRUPPO FERROVIE DELLO STATO ITALIANE

PROGETTO ESECUTIVO
LINEA FOGGIA-POTENZA
INTERVENTO DI SOPPRESSIONE P.L.

Viadotto ad archi - Relazione di calcolo
opere provvisionali - 1/2

COMMESSA	LOTTO	CODIFICA	DOCUMENTO	REV.	FOGLIO
IA4K	42 E78	CL	NW08 007	A	121 di 166

0 m

Falda acquifera

Falda di sinistra : -3.5 m

Falda di destra : -3.5 m

Carichi

Carico lineare in superficie : Carico Stradale

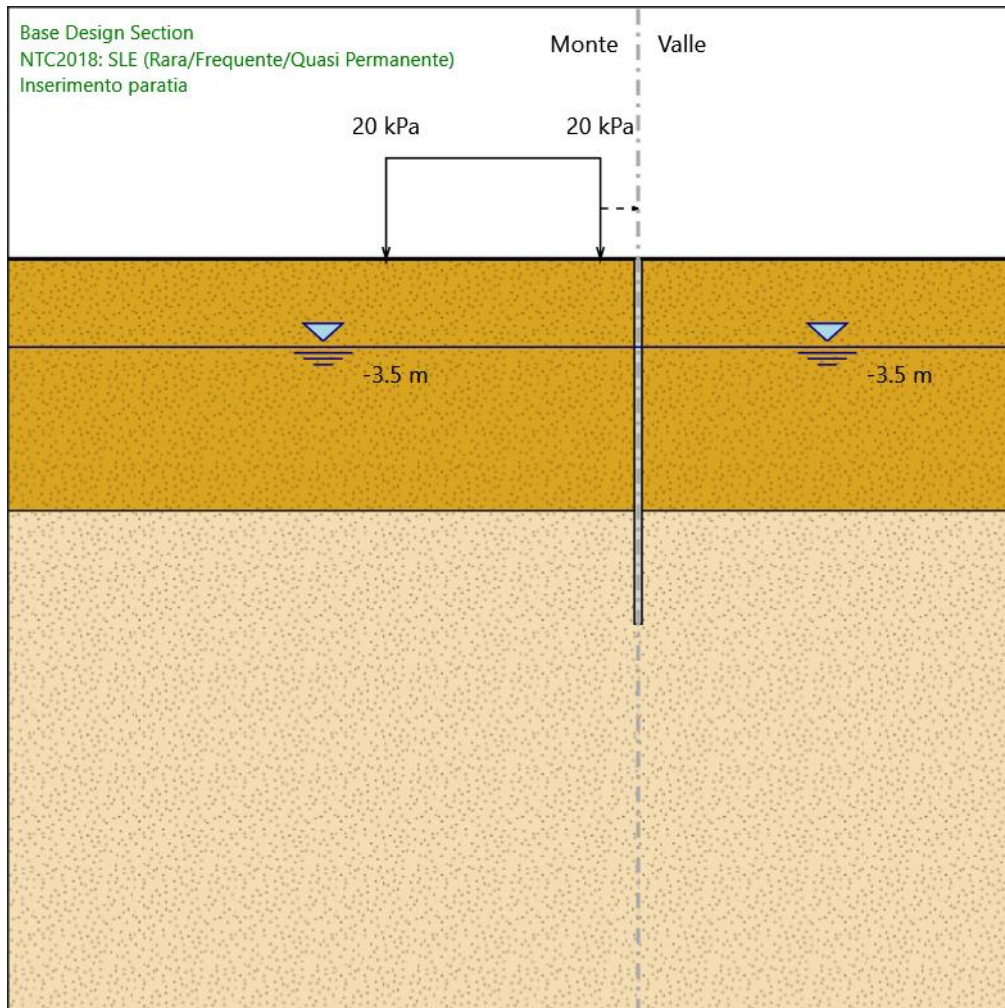
X iniziale : -10 m

X finale : -1.5 m

Pressione iniziale : 20 kPa

Pressione finale : 20 kPa

Inserimento paratia



Inserimento paratia

Scavo

Muro di sinistra

Lato monte : 0 m

Lato valle : 0 m

Linea di scavo di sinistra (Orizzontale)

0 m

Linea di scavo di destra (Orizzontale)

0 m



GRUPPO FERROVIE DELLO STATO ITALIANE

PROGETTO ESECUTIVO
LINEA FOGGIA-POTENZA
INTERVENTO DI SOPPRESSIONE P.L.

Viadotto ad archi - Relazione di calcolo
opere provvisionali - 1/2

COMMESSA	LOTTO	CODIFICA	DOCUMENTO	REV.	FOGLIO
IA4K	42 E78	CL	NW08 007	A	123 di 166

Falda acquifera

Falda di sinistra : -3.5 m

Falda di destra : -3.5 m

Carichi

Carico lineare in superficie : Carico Stradale

X iniziale : -10 m

X finale : -1.5 m

Pressione iniziale : 20 kPa

Pressione finale : 20 kPa

Elementi strutturali

Paratia : WallElement

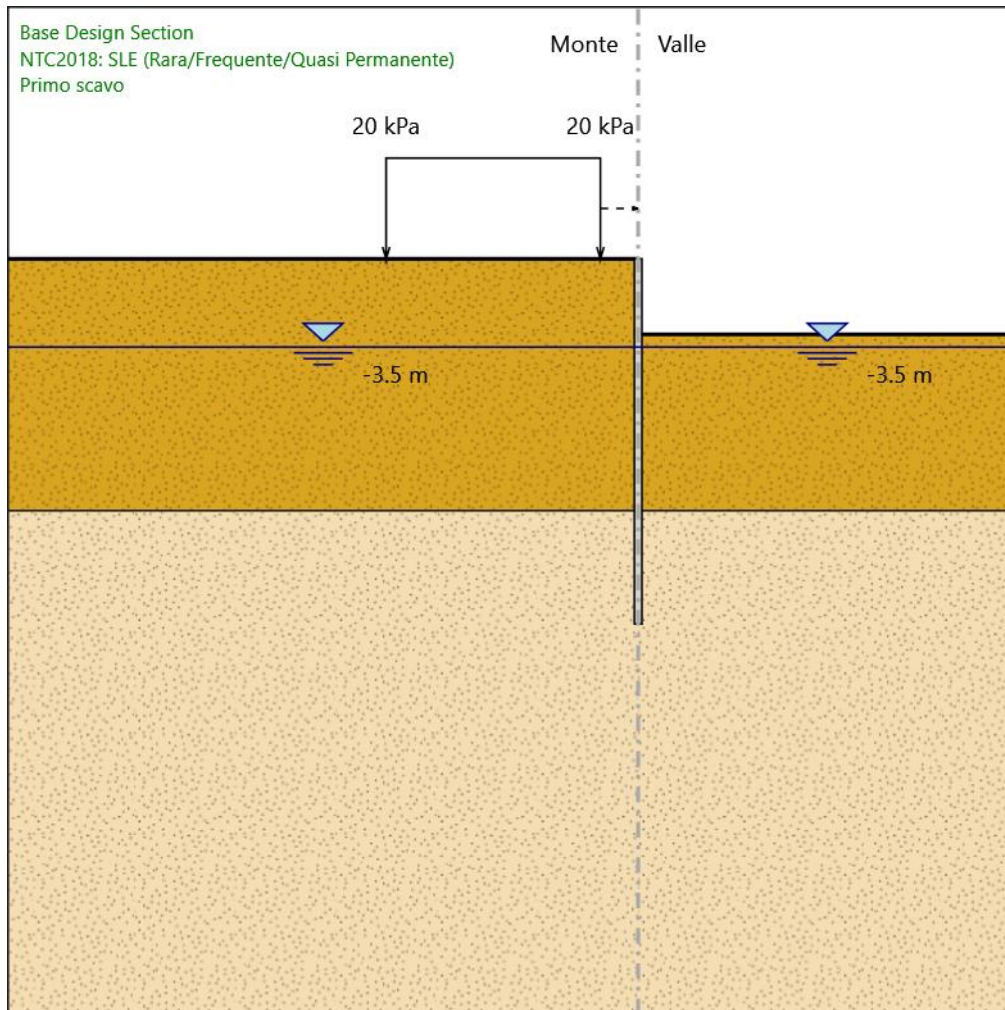
X : 0 m

Quota in alto : 0 m

Quota di fondo : -14.5 m

Sezione : D300

Primo scavo



Primo scavo

Scavo

Muro di sinistra

Lato monte : 0 m

Lato valle : -3 m

Linea di scavo di sinistra (Orizzontale)

0 m

Linea di scavo di destra (Orizzontale)

-3 m



GRUPPO FERROVIE DELLO STATO ITALIANE

PROGETTO ESECUTIVO
LINEA FOGGIA-POTENZA
INTERVENTO DI SOPPRESSIONE P.L.

Viadotto ad archi - Relazione di calcolo
opere provvisionali - 1/2

COMMESSA	LOTTO	CODIFICA	DOCUMENTO	REV.	FOGLIO
IA4K	42 E78	CL	NW08 007	A	125 di 166

Falda acquifera

Falda di sinistra : -3.5 m

Falda di destra : -3.5 m

Carichi

Carico lineare in superficie : Carico Stradale

X iniziale : -10 m

X finale : -1.5 m

Pressione iniziale : 20 kPa

Pressione finale : 20 kPa

Elementi strutturali

Paratia : WallElement

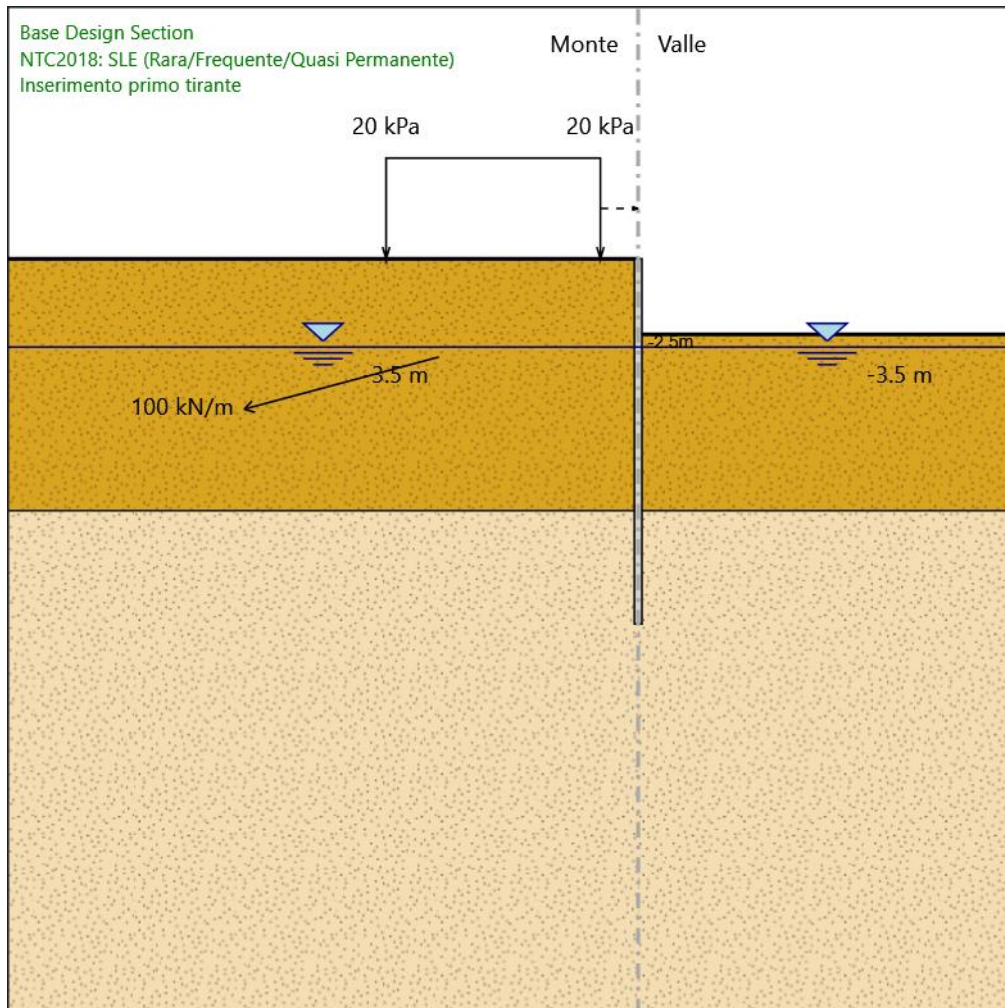
X : 0 m

Quota in alto : 0 m

Quota di fondo : -14.5 m

Sezione : D300

Inserimento primo tirante



Inserimento primo tirante

Scavo

Muro di sinistra

Lato monte : 0 m

Lato valle : -3 m

Linea di scavo di sinistra (Orizzontale)

0 m

Linea di scavo di destra (Orizzontale)

-3 m

Viadotto ad archi - Relazione di calcolo
opere provvisionali - 1/2

COMMESSA	LOTTO	CODIFICA	DOCUMENTO	REV.	FOGLIO
IA4K	42 E78	CL	NW08 007	A	127 di 166

Falda acquifera

Falda di sinistra : -3.5 m

Falda di destra : -3.5 m

Carichi

Carico lineare in superficie : Carico Stradale

X iniziale : -10 m

X finale : -1.5 m

Pressione iniziale : 20 kPa

Pressione finale : 20 kPa

Elementi strutturali

Paratia : WallElement

X : 0 m

Quota in alto : 0 m

Quota di fondo : -14.5 m

Sezione : D300

Tirante : Tieback

X : 0 m

Z : -2.5 m

Lunghezza bulbo : 8 m

Diametro bulbo : 0.18 m

Lunghezza libera : 8 m

Spaziatura orizzontale : 1.5 m

Precarico : 150 kN

Angolo : 15 °

Sezione : 3 strands

Tipo di barre : Barre trefoli

Numero di barre : 3

Diametro : 0.01331 m

Area : 0.000417 m²

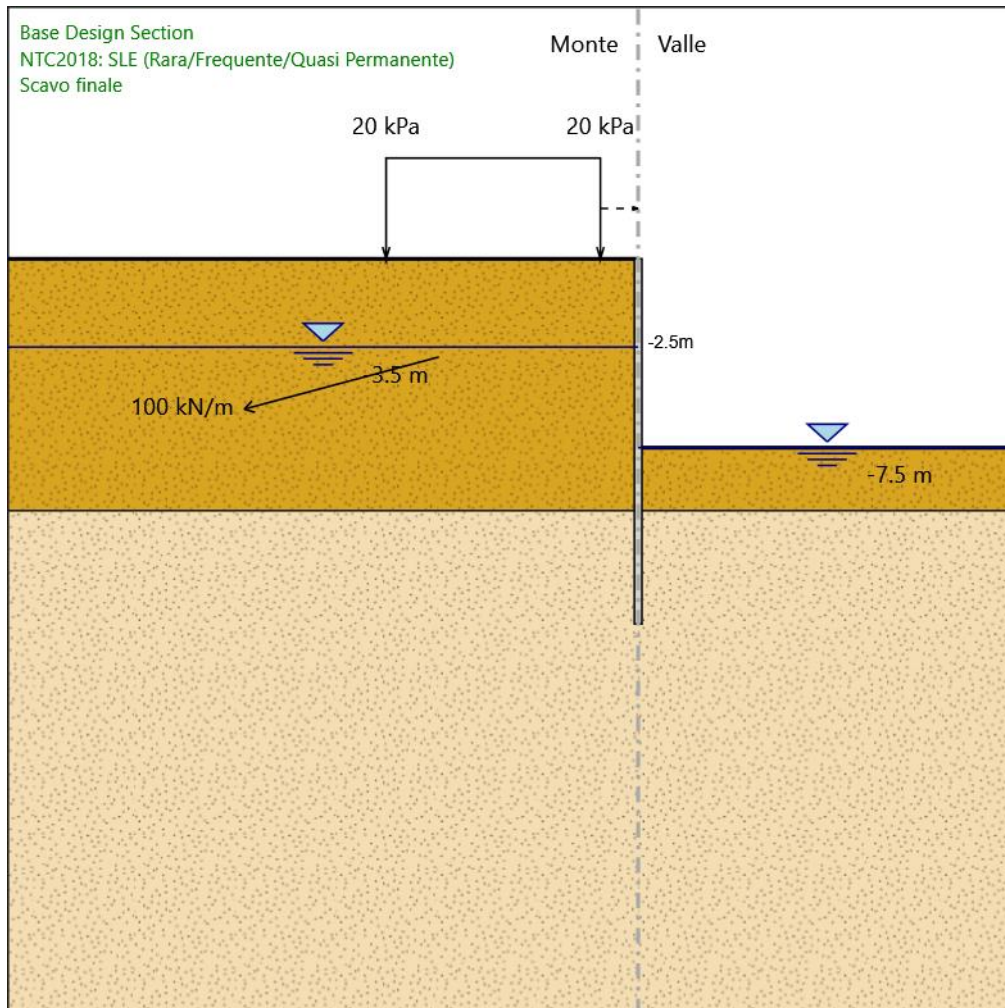
Trave di Ripartizione : Default Waler

Sezione : T.R. HE160B

HE 160B

Materiale : S275

Scavo finale



Scavo finale

Scavo

Muro di sinistra

Lato monte : 0 m

Lato valle : -7.5 m

Linea di scavo di sinistra (Orizzontale)

0 m

Linea di scavo di destra (Orizzontale)

-7.5 m

Viadotto ad archi - Relazione di calcolo
opere provvisionali - 1/2

COMMESSA	LOTTO	CODIFICA	DOCUMENTO	REV.	FOGLIO
IA4K	42 E78	CL	NW08 007	A	129 di 166

Falda acquifera

Falda di sinistra : -3.5 m

Falda di destra : -7.5 m

Carichi

Carico lineare in superficie : Carico Stradale

X iniziale : -10 m

X finale : -1.5 m

Pressione iniziale : 20 kPa

Pressione finale : 20 kPa

Elementi strutturali

Paratia : WallElement

X : 0 m

Quota in alto : 0 m

Quota di fondo : -14.5 m

Sezione : D300

Tirante : Tieback

X : 0 m

Z : -2.5 m

Lunghezza bulbo : 8 m

Diametro bulbo : 0.18 m

Lunghezza libera : 8 m

Spaziatura orizzontale : 1.5 m

Precarico : 150 kN

Angolo : 15 °

Sezione : 3 strands

Tipo di barre : Barre trefoli

Numero di barre : 3

Diametro : 0.01331 m

Area : 0.000417 m²

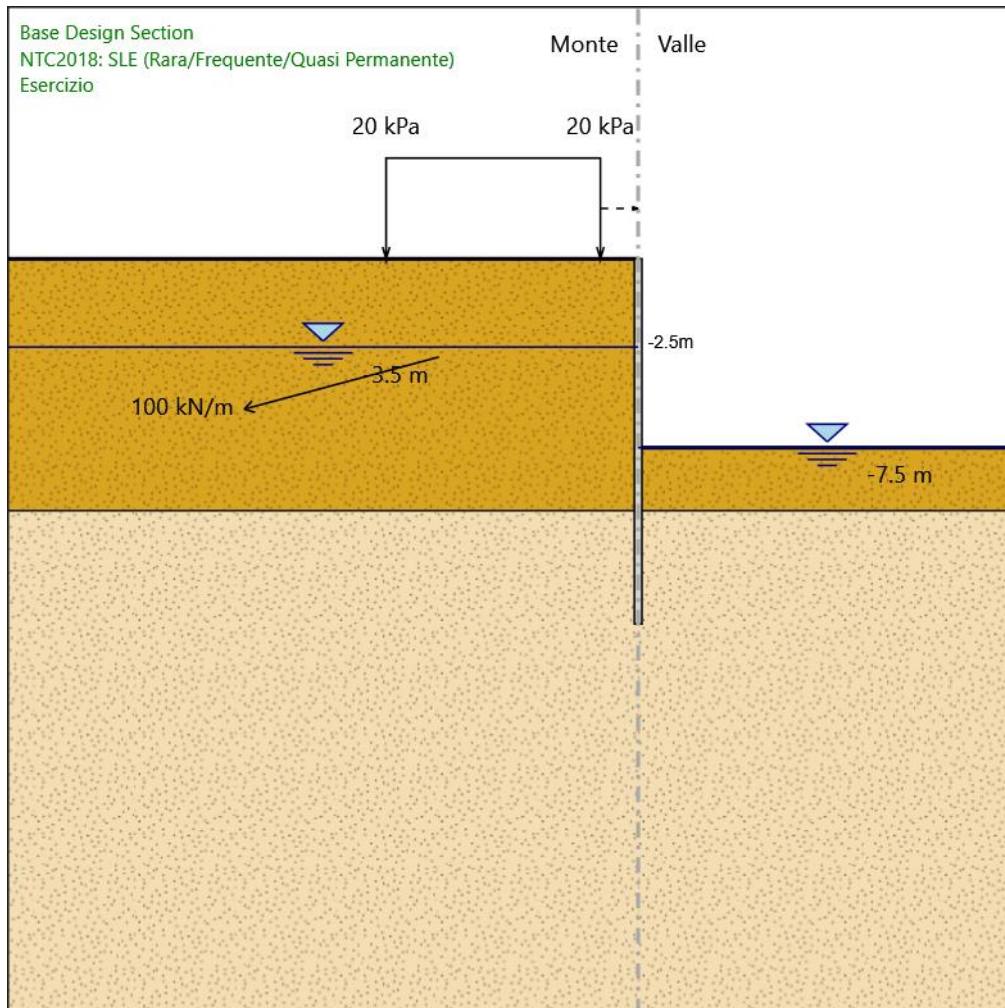
Trave di Ripartizione : Default Waler

Sezione : T.R. HE160B

HE 160B

Materiale : S275

Esercizio



Esercizio

Scavo

Muro di sinistra

Lato monte : 0 m

Lato valle : -7.5 m

Linea di scavo di sinistra (Orizzontale)

0 m

Linea di scavo di destra (Orizzontale)

-7.5 m

Viadotto ad archi - Relazione di calcolo
opere provvisionali - 1/2

COMMESSA	LOTTO	CODIFICA	DOCUMENTO	REV.	FOGLIO
IA4K	42 E78	CL	NW08 007	A	131 di 166

Falda acquifera

Falda di sinistra : -3.5 m

Falda di destra : -7.5 m

Carichi

Carico lineare in superficie : Carico Stradale

X iniziale : -10 m

X finale : -1.5 m

Pressione iniziale : 20 kPa

Pressione finale : 20 kPa

Elementi strutturali

Paratia : WallElement

X : 0 m

Quota in alto : 0 m

Quota di fondo : -14.5 m

Sezione : D300

Tirante : Tieback

X : 0 m

Z : -2.5 m

Lunghezza bulbo : 8 m

Diametro bulbo : 0.18 m

Lunghezza libera : 8 m

Spaziatura orizzontale : 1.5 m

Precarico : 150 kN

Angolo : 15 °

Sezione : 3 strands

Tipo di barre : Barre trefoli

Numero di barre : 3

Diametro : 0.01331 m

Area : 0.000417 m²

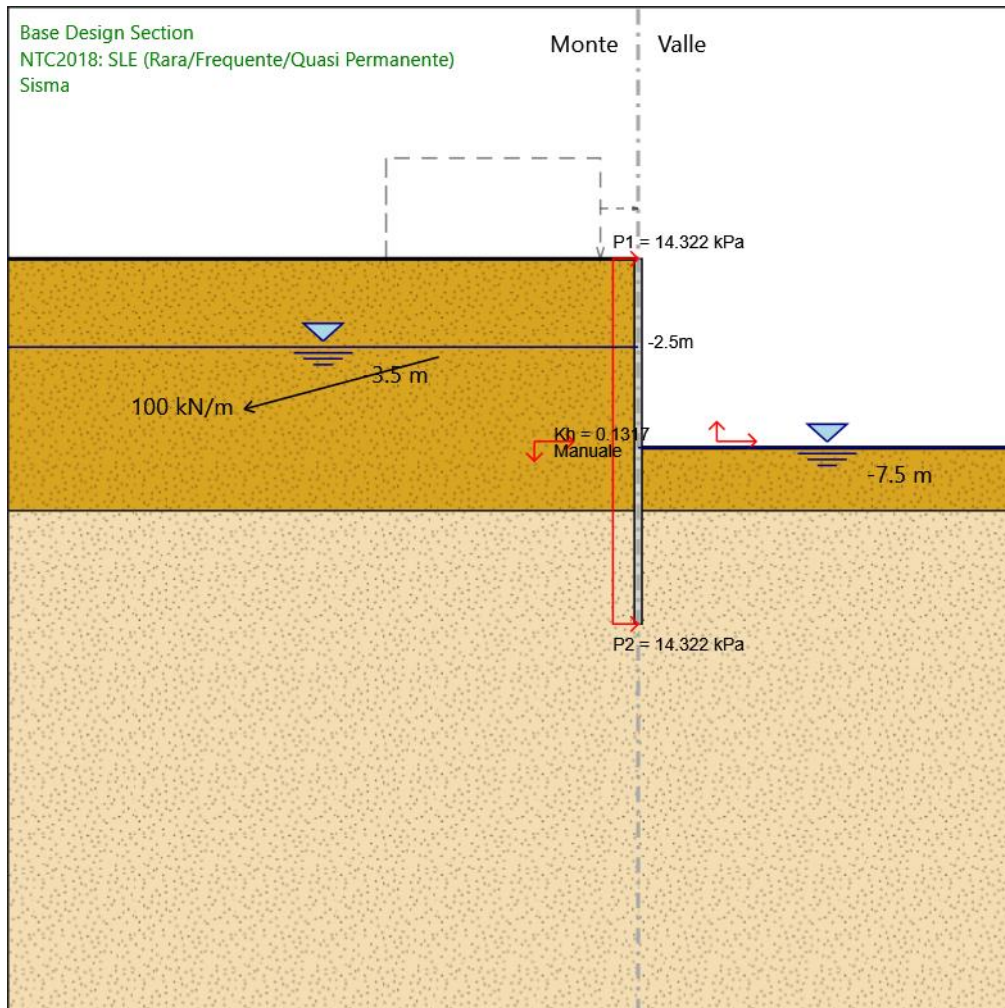
Trave di Ripartizione : Default Waler

Sezione : T.R. HE160B

HE 160B

Materiale : S275

Sisma



Sisma

Scavo

Muro di sinistra

Lato monte : 0 m

Lato valle : -7.5 m

Linea di scavo di sinistra (Orizzontale)

0 m

Linea di scavo di destra (Orizzontale)

-7.5 m

Viadotto ad archi - Relazione di calcolo
opere provvisionali - 1/2

COMMESSA	LOTTO	CODIFICA	DOCUMENTO	REV.	FOGLIO
IA4K	42 E78	CL	NW08 007	A	133 di 166

Falda acquifera

Falda di sinistra : -3.5 m

Falda di destra : -7.5 m

Elementi strutturali

Paratia : WallElement

X : 0 m

Quota in alto : 0 m

Quota di fondo : -14.5 m

Sezione : D300

Tirante : Tieback

X : 0 m

Z : -2.5 m

Lunghezza bulbo : 8 m

Diametro bulbo : 0.18 m

Lunghezza libera : 8 m

Spaziatura orizzontale : 1.5 m

Precarico : 150 kN

Angolo : 15 °

Sezione : 3 strands

Tipo di barre : Barre trefoli

Numero di barre : 3

Diametro : 0.01331 m

Area : 0.000417 m²

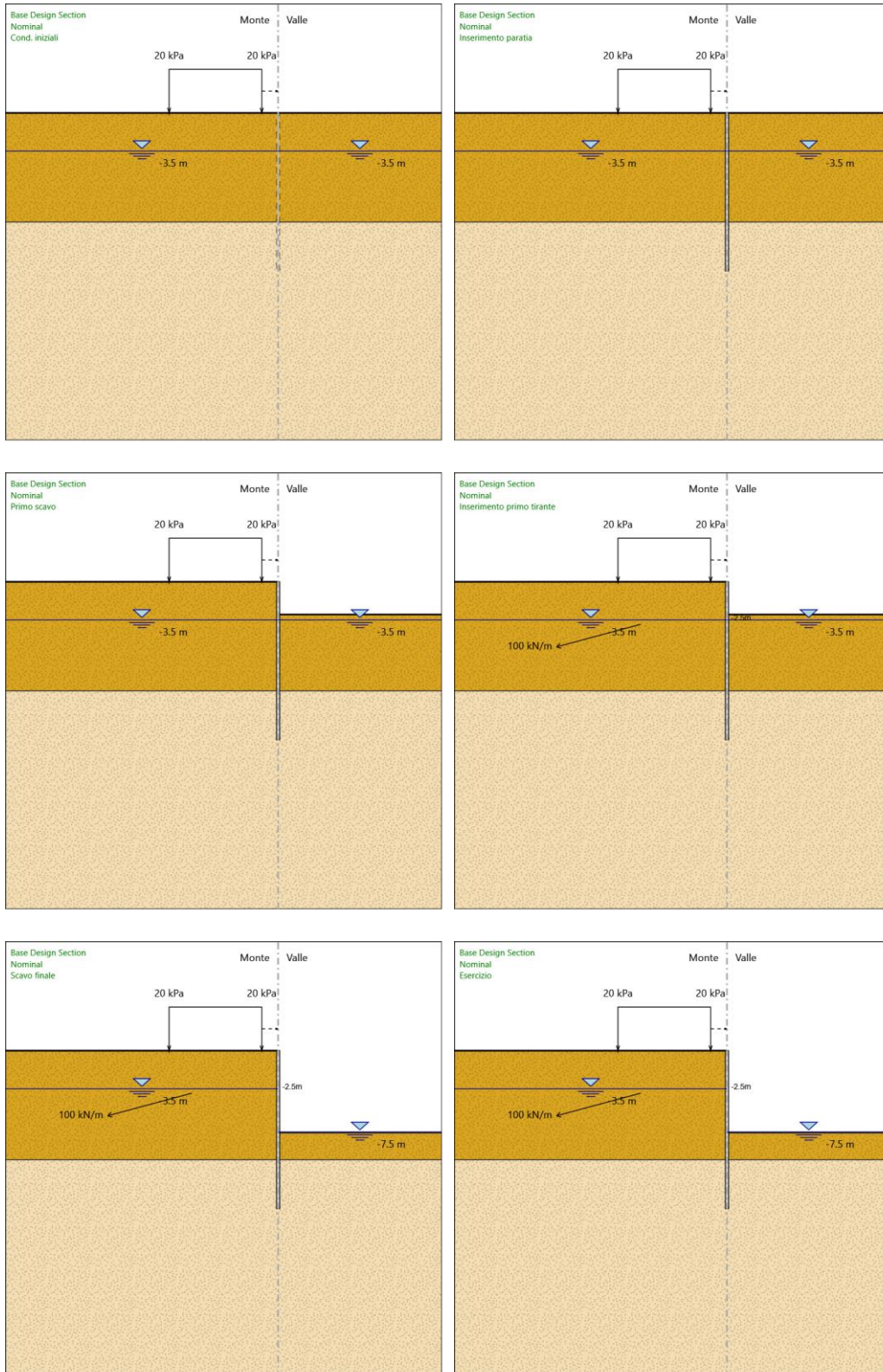
Trave di Ripartizione : Default Waler

Sezione : T.R. HE160B

HE 160B

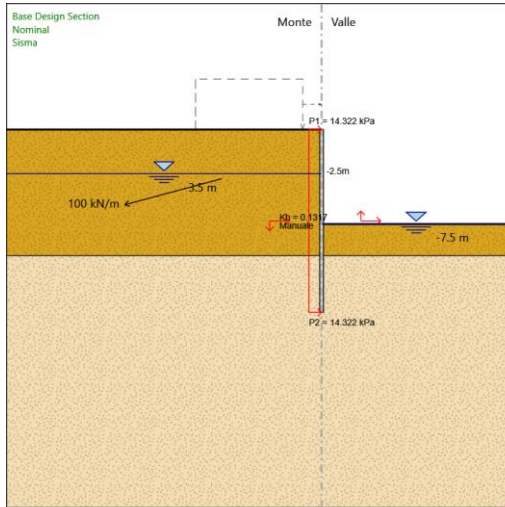
Materiale : S275

Tabella Configurazione Stage (Nominal)



Viadotto ad archi - Relazione di calcolo
opere provvisionali - 1/2

COMMESSA	LOTTO	CODIFICA	DOCUMENTO	REV.	FOGLIO
IA4K	42 E78	CL	NW08 007	A	135 di 166



 ITALFERR GRUPPO FERROVIE DELLO STATO ITALIANE	PROGETTO ESECUTIVO LINEA FOGGIA-POTENZA INTERVENTO DI SOPPRESSIONE P.L.					
	Viadotto ad archi - Relazione di calcolo opere provvisionali - 1/2	COMMESSA IA4K	LOTTO 42 E78	CODIFICA CL	DOCUMENTO NW08 007	REV. A

Descrizione Coefficienti Design Assumption

Nome	Carichi Permanenti Sfavorevoli (F_dead_loa d_unfavour)	Carichi Permanent i Favorevoli ad_favour)	Carichi Variabili Sfavorevoli (F_live_load _unfavour)	Carichi Variabili Favorevoli ad_favour)	Carico Sismico (F_seis m_load)	Pressi Acqua Lato Monte (F_Wa terDR)	Pressi Acqua Lato Valle (F_Wa terRes)	Carichi Perman enti Destabil izzanti (F_UPL_ GDStab)	Carichi Perman enti Stabiliz zanti (F_UPL_ _GStab)	Carichi Variabili Destabil izzanti (F_UPL_ QDStab)	Carichi Perman enti Destabili zzanti (F_HYD_ GDStab)	Carichi Perman enti Stabiliz zanti (F_HYD_ _GStab)	Carichi Variabili Destabili zzanti (F_HYD_ QDStab)
Simbolo	γ_G	γ_G	γ_Q	γ_Q	γ_{QE}	γ_G	γ_G	γ_{Gdst}	γ_{Gstb}	γ_{Qdst}	γ_{Gdst}	γ_{Gstb}	γ_{Qdst}
Nominal	1	1	1	1	1	1	1	1	1	1	1	1	1
NTC2018: SLE (Rara/Frequ ente/Quasi Permanente)	1	1	1	1	0	1	1	1	1	1	1	1	1
NTC2018: A1+M1+R1 (R3 per tiranti)	1.35	1	1.35	1	0	1.35	1	1	1	1	1.35	0.9	1
NTC2018: A2+M2+R1	1	1	1.15	1	0	1	1	1	1	1	1.35	0.9	1
NTC2018: SISMICA STR	1	1	1	1	1	1	1	1	1	1	1	1	1
NTC2018: SISMICA GEO	1	1	1	1	1	1	1	1	1	1	1.35	0.9	1

Nome	Parziale su tan(ϕ') (F_Fr)	Parziale su c' (F_eff_cohe)	Parziale su Su (F_Su)	Parziale su qu (F_qu)	Parziale su peso specifico (F_gamma)
Simbolo	γ_ϕ	γ_c	γ_{cu}	γ_{qu}	γ_γ
Nominal	1	1	1	1	1
NTC2018: SLE (Rara/Frequente/Quasi Permanente)	1	1	1	1	1
NTC2018: A1+M1+R1 (R3 per tiranti)	1	1	1	1	1
NTC2018: A2+M2+R1	1.25	1.25	1.4	1	1
NTC2018: SISMICA STR	1	1	1	1	1
NTC2018: SISMICA GEO	1	1	1	1	1

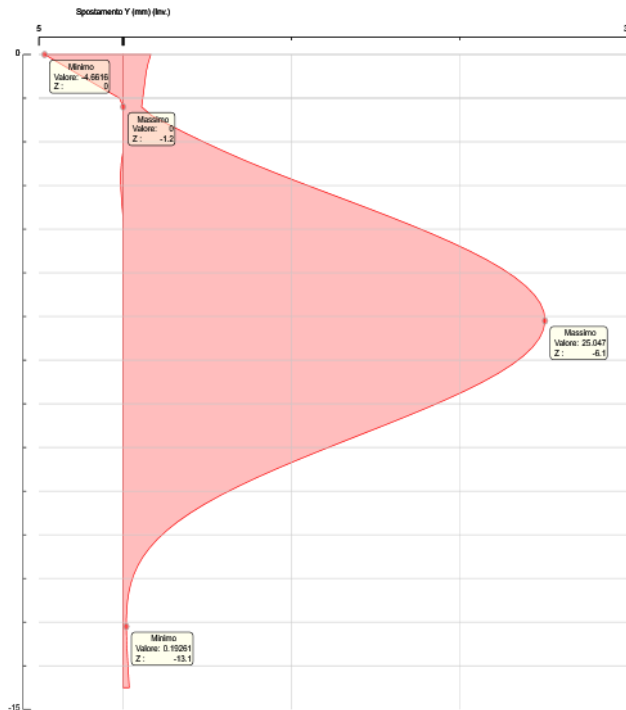
Nome	Parziale resistenza terreno (es. Kp) (F_Soil_Res_walls)	Parziale resistenza permanenti (F_Anch_P)	Parziale resistenza Tiranti temporanei (F_Anch_T)	Parziale resistenza Tiranti strutturali (F_wall)
Simbolo	γ_{Re}	γ_{ap}	γ_{at}	
Nominal	1	1	1	1
NTC2018: SLE (Rara/Frequente/Quasi Permanente)	1	1	1	1
NTC2018: A1+M1+R1 (R3 per tiranti)	1	1.2	1.1	1
NTC2018: A2+M2+R1	1	1.2	1.1	1
NTC2018: SISMICA STR	1	1.2	1.1	1
NTC2018: SISMICA GEO	1	1.2	1.1	1

Riepilogo Stage / Design Assumption per Inviluppo

Design Assumption	Cond. iniziali	Inserimento paratia	Primo scavo	Inserimento primo tirante	Scavo finale	Esercizio Sisma	
NTC2018: SLE (Rara/Frequente/Quasi Permanente)	V	V	V	V	V	V	V
NTC2018: A1+M1+R1 (R3 per tiranti)	V	V	V	V	V	V	V
NTC2018: A2+M2+R1	V	V	V	V	V	V	V
NTC2018: SISMICA STR	V	V	V	V	V	V	V
NTC2018: SISMICA GEO							

Descrizione sintetica dei risultati delle Design Assumption (Inviluppi)

Grafico Inviluppi Spostamento



Muro: Left Wall
Spostamento

Tabella Involuppi Momento WallElement

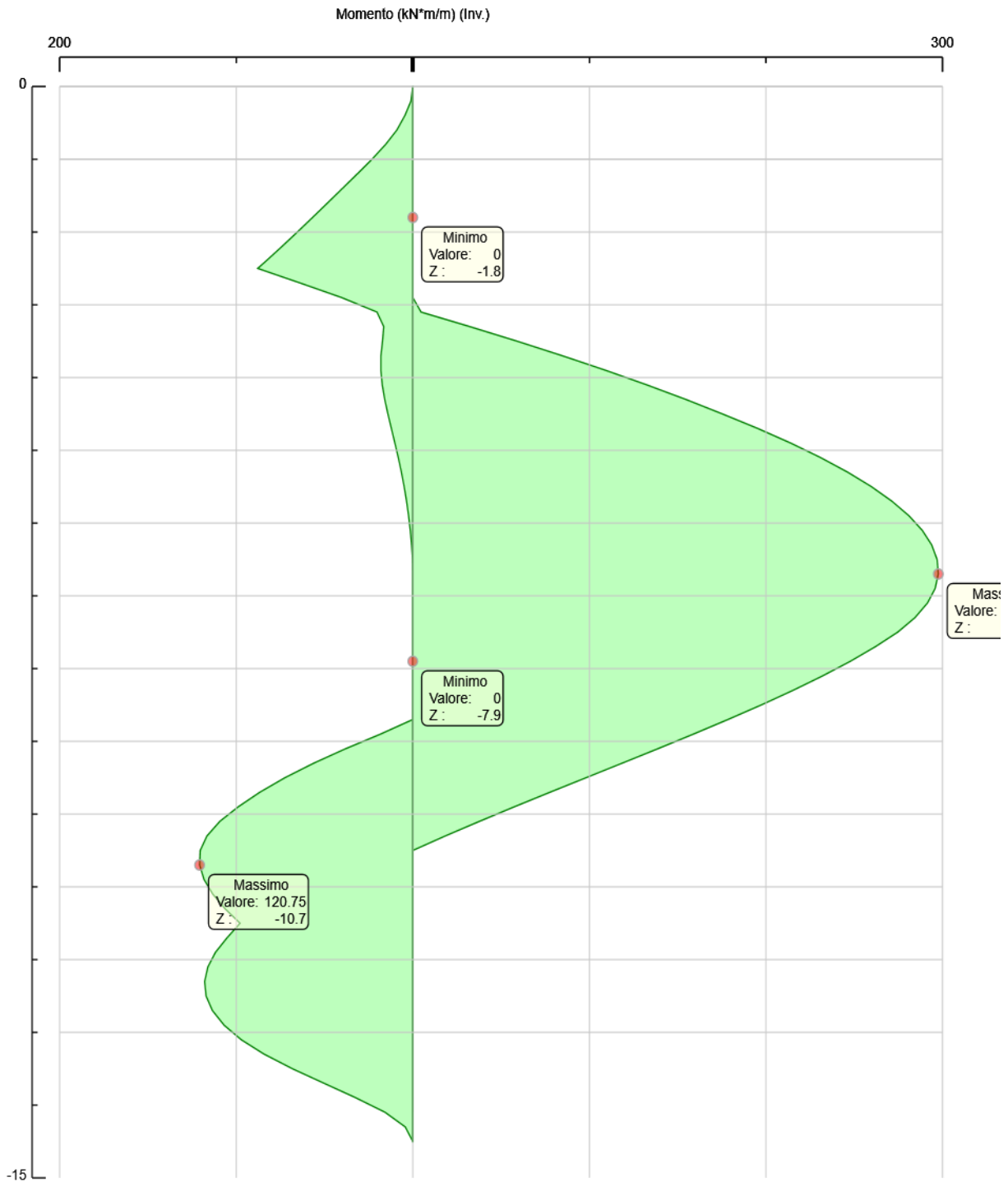
Selected Design Assumptions	Involuppi: Momento	Muro: WallElement
Z (m)	Lato sinistro (kN*m/m)	Lato destro (kN*m/m)
0	0	0
-0.2	1.065	0
-0.4	4.517	0
-0.6	9.085	0
-0.8	15.545	0
-1	23.124	0
-1.2	31.407	0
-1.4	39.816	0
-1.6	48.272	0
-1.8	56.785	0
-2	65.393	0
-2.2	74.172	0
-2.4	83.203	0
-2.5	87.842	0
-2.7	63.883	0
-2.9	40.37	0
-3.1	20.292	4.708
-3.3	16.459	32.357
-3.5	17.164	59.031
-3.7	18.047	84.679
-3.9	18.073	109.208
-4.1	17.304	132.524
-4.3	15.896	154.535
-4.5	14.107	175.351
-4.7	12.138	195.407
-4.9	10.142	213.981
-5.1	8.225	230.968
-5.3	6.46	246.267
-5.5	4.89	259.776
-5.7	3.534	271.392
-5.9	2.395	281.014
-6.1	1.462	288.545
-6.3	0.716	293.887
-6.5	0.134	296.946
-6.7	0	297.624
-6.9	0	295.825
-7.1	0	291.452
-7.3	0	284.41
-7.5	0	274.599
-7.7	0	261.949
-7.9	0	247.785
-8.1	0	232.171
-8.3	0	215.295
-8.5	0	197.347
-8.7	0	178.515
-8.9	18.263	158.988
-9.1	37.929	138.954
-9.3	56.105	118.599
-9.5	72.462	98.111
-9.7	86.668	77.676
-9.9	98.86	57.481
-10.1	109.29	37.712
-10.3	116.58	18.456
-10.5	120.4	0
-10.7	120.748	0
-10.9	118.207	0
-11.1	113.276	0
-11.3	106.372	0
-11.5	97.835	0
-11.7	105.193	0

Viadotto ad archi - Relazione di calcolo
opere provvisionali - 1/2

COMMESSA	LOTTO	CODIFICA	DOCUMENTO	REV.	FOGLIO
IA4K	42 E78	CL	NW08 007	A	140 di 166

Selected Design Assumptions	Inviluppi: Momento	Muro: WallElement
Z (m)	Lato sinistro (kN*m/m)	Lato destro (kN*m/m)
-11.9	111.761	0
-12.1	116.048	0
-12.3	117.881	0
-12.5	117.087	0
-12.7	113.491	0.022
-12.9	106.922	0.064
-13.1	97.205	0.082
-13.3	84.168	0.083
-13.5	68.172	0.073
-13.7	50.244	0.056
-13.9	32.213	0.036
-14.1	15.594	0.018
-14.3	4.266	0.005
-14.5	0	0

Grafico Involuppi Momento



Viadotto ad archi - Relazione di calcolo
opere provvisionali - 1/2

COMMESSA	LOTTO	CODIFICA	DOCUMENTO	REV.	FOGLIO
IA4K	42 E78	CL	NW08 007	A	142 di 166

Tabella Inviluppi Taglio WallElement

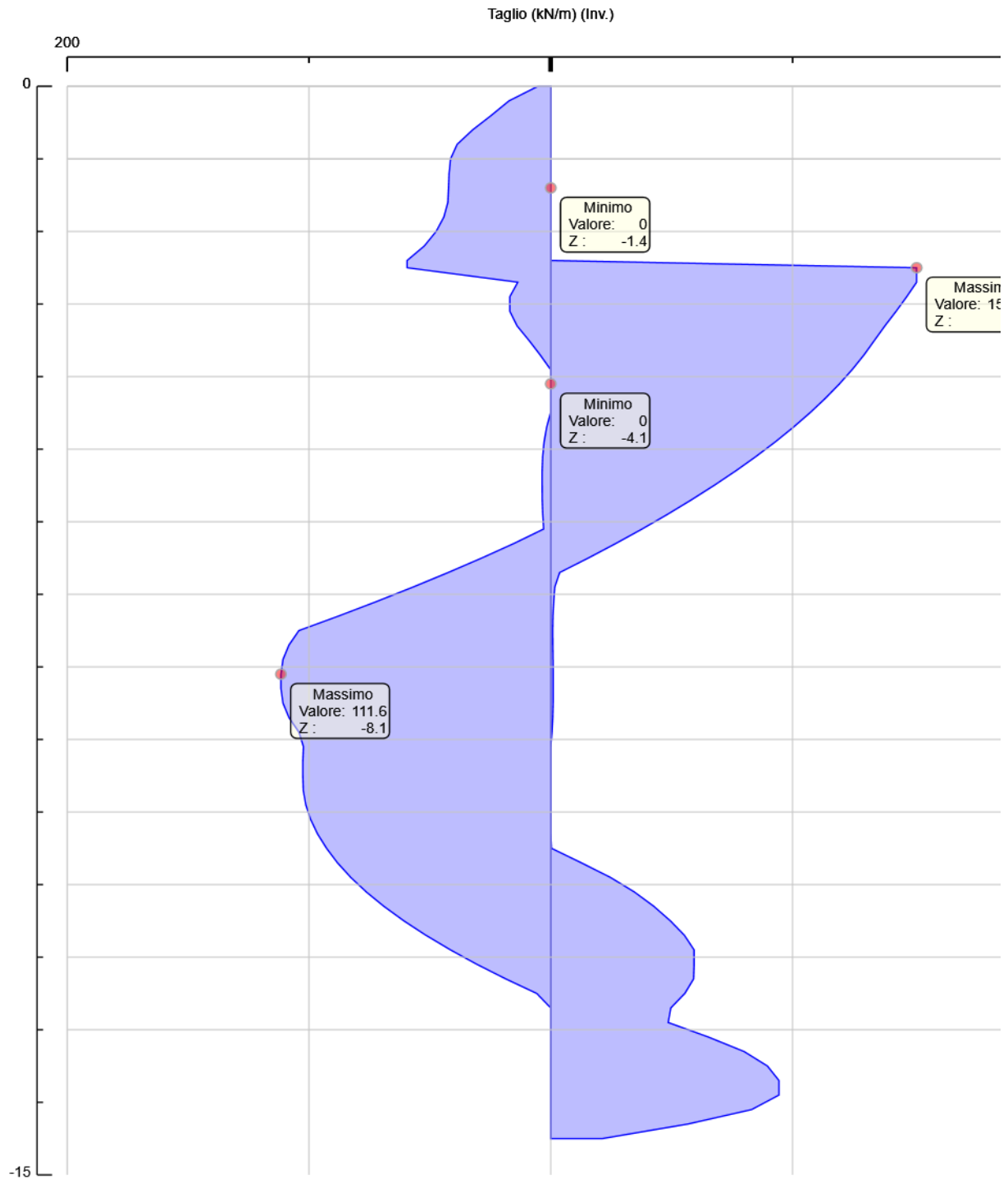
Selected Design Assumptions	Inviluppi: Taglio	Muro: WallElement
Z (m)	Lato sinistro (kN/m)	Lato destro (kN/m)
0	5.324	0
-0.2	17.259	0
-0.4	24.586	0
-0.6	32.308	0
-0.8	38.739	0
-1	41.445	0
-1.2	42.044	0
-1.4	42.283	0
-1.6	42.566	0
-1.8	44.202	0
-2	47.423	0
-2.2	52.305	0
-2.4	59.423	0
-2.5	59.423	151.342
-2.7	13.633	151.342
-2.9	16.937	147.231
-3.1	16.937	142.865
-3.3	13.967	138.244
-3.5	9.041	133.917
-3.7	4.415	129.608
-3.9	0.134	124.78
-4.1	0	119.432
-4.3	0	113.568
-4.5	0.099	107.188
-4.7	1.714	100.284
-4.9	2.757	92.867
-5.1	3.343	84.937
-5.3	3.571	76.496
-5.5	3.571	67.544
-5.7	3.532	58.111
-5.9	3.301	48.193
-6.1	2.939	37.788
-6.3	15.271	26.902
-6.5	28.559	15.536
-6.7	42.458	3.692
-6.9	56.97	1.668
-7.1	72.095	1.239
-7.3	87.834	0.923
-7.5	104.188	0.806
-7.7	108.312	0.842
-7.9	110.782	0.949
-8.1	111.598	1.027
-8.3	111.598	1.027
-8.5	110.761	0.994
-8.7	108.27	0.83
-8.9	104.135	0.51
-9.1	102.316	0.006
-9.3	102.543	0
-9.5	102.543	0
-9.7	102.383	0
-9.9	101.323	0
-10.1	99.362	0
-10.3	96.5	0
-10.5	92.739	0.321
-10.7	88.218	12.705
-10.9	82.75	24.657
-11.1	76.34	34.521
-11.3	68.997	42.683
-11.5	60.732	49.509
-11.7	51.552	55.331

Viadotto ad archi - Relazione di calcolo
opere provvisionali - 1/2

COMMESSA	LOTTO	CODIFICA	DOCUMENTO	REV.	FOGLIO
IA4K	42 E78	CL	NW08 007	A	143 di 166

Selected Design Assumptions	Inviluppi: Taglio	Muro: WallElement
Z (m)	Lato sinistro (kN/m)	Lato destro (kN/m)
-11.9	41.463	59.314
-12.1	30.471	59.314
-12.3	18.58	59.085
-12.5	5.794	55.455
-12.7	0	49.661
-12.9	0	48.583
-13.1	0	65.185
-13.3	0.054	79.978
-13.5	0.086	89.644
-13.7	0.097	94.413
-13.9	0.097	94.413
-14.1	0.089	83.096
-14.3	0.065	56.636
-14.5	0.027	21.331

Grafico Inviluppi Taglio





GRUPPO FERROVIE DELLO STATO ITALIANE

PROGETTO ESECUTIVO
LINEA FOGGIA-POTENZA
INTERVENTO DI SOPPRESSIONE P.L.

**Viadotto ad archi - Relazione di calcolo
opere provvisionali - 1/2**

COMMESSA	LOTTO	CODIFICA	DOCUMENTO	REV.	FOGLIO
IA4K	42 E78	CL	NW08 007	A	145 di 166

Inviluppo Spinta Reale Efficace / Spinta Passiva

Design Assumption	Stage	Muro	Lato	Inviluppo Spinta Reale Efficace / Spinta Passiva
				%
NTC2018: A2+M2+R1 Cond. iniziali	Left Wall	LEFT		15.72
NTC2018: A2+M2+R1 Scavo finale	Left Wall	RIGHT		82.74

 ITALFERR GRUPPO FERROVIE DELLO STATO ITALIANE	PROGETTO ESECUTIVO LINEA FOGGIA-POTENZA INTERVENTO DI SOPPRESSIONE P.L.					
	Viadotto ad archi - Relazione di calcolo opere provvisionali - 1/2	COMMESSA IA4K	LOTTO 42 E78	CODIFICA CL	DOCUMENTO NW08 007	REV. A

Inviluppo Spinta Reale Efficace / Spinta Attiva

Design Assumption	Stage	Muro	Lato	Inviluppo Spinta Reale Efficace / Spinta Attiva %
NTC2018: A2+M2+R1 Scavo finale		Left Wall	LEFT	117.26
NTC2018: A2+M2+R1 Cond. iniziali		Left Wall	RIGHT	179.96

 ITALFERR GRUPPO FERROVIE DELLO STATO ITALIANE	PROGETTO ESECUTIVO LINEA FOGGIA-POTENZA INTERVENTO DI SOPPRESSIONE P.L.					
	Viadotto ad archi - Relazione di calcolo opere provvisionali - 1/2	COMMESSA IA4K	LOTTO 42 E78	CODIFICA CL	DOCUMENTO NW08 007	REV. A

Normative adottate per le verifiche degli Elementi Strutturali

Normative Verifiche

Calcestruzzo	NTC
Acciaio	NTC
Tirante	NTC

Coefficienti per Verifica Tiranti

GEO FS	1
ξ_{a3}	1.8
γ_s	1.15

Riepilogo Stage / Design Assumption per Inviluppo

Design Assumption	Cond. iniziali	Inserimento paratia	Primo scavo	Inserimento primo tirante	Scavo finale	Esercizio Sisma	
NTC2018: SLE (Rara/Frequente/Quasi Permanente)	V	V	V	V	V	V	V
NTC2018: A1+M1+R1 (R3 per tiranti)	V	V	V	V	V	V	V
NTC2018: A2+M2+R1	V	V	V	V	V	V	V
NTC2018: SISMICA STR	V	V	V	V	V	V	V
NTC2018: SISMICA GEO							



GRUPPO FERROVIE DELLO STATO ITALIANE

PROGETTO ESECUTIVO
LINEA FOGGIA-POTENZA
INTERVENTO DI SOPPRESSIONE P.L.

Viadotto ad archi - Relazione di calcolo
opere provvisionali - 1/2

COMMESSA	LOTTO	CODIFICA	DOCUMENTO	REV.	FOGLIO
IA4K	42 E78	CL	NW08 007	A	149 di 166

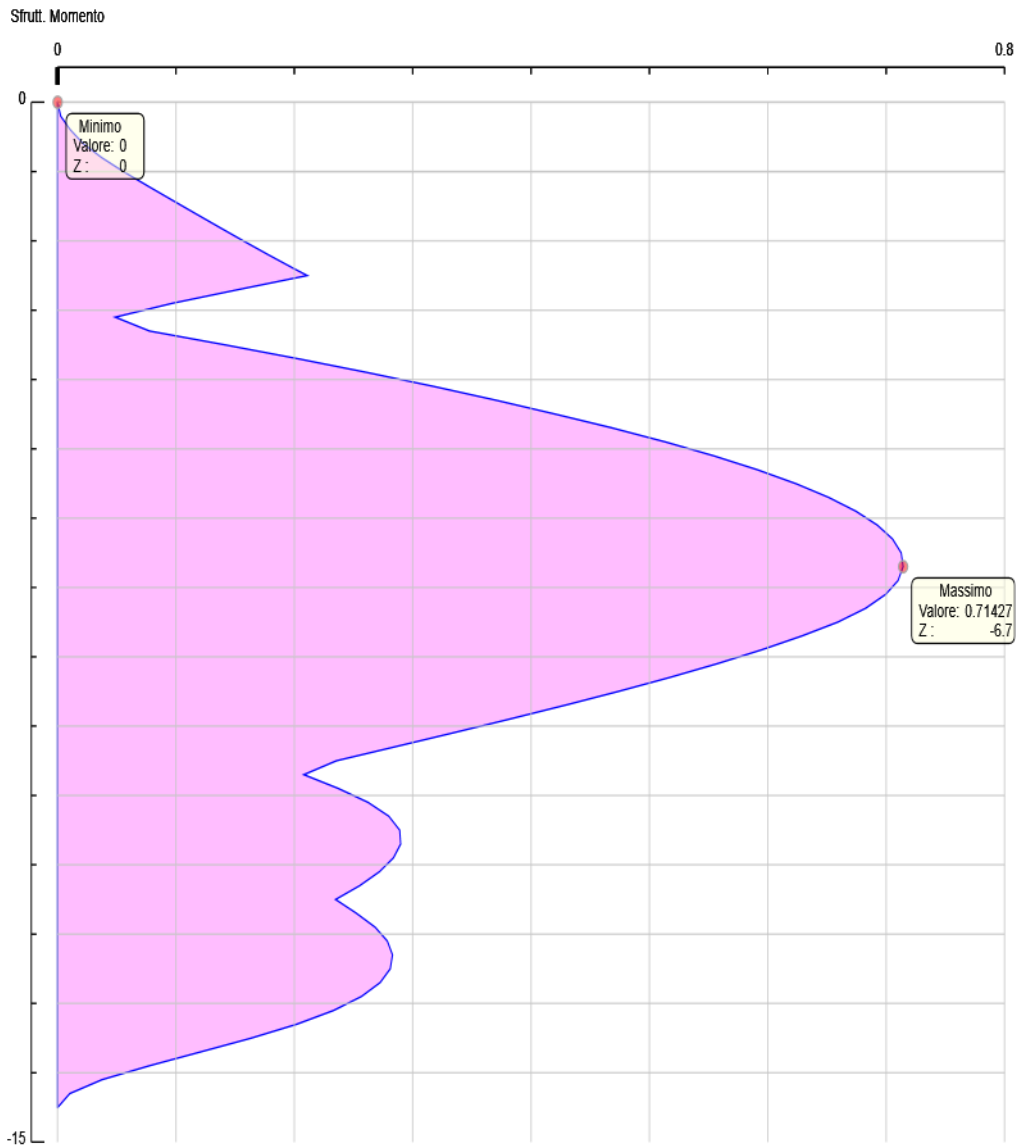
Risultati SteelWorld

Tabella Inviluppi Tasso di Sfruttamento a Momento - SteelWorld : LEFT

Inviluppi Tasso di Sfruttamento a Momento - SteelWorld	LEFT
Z (m)	Tasso di Sfruttamento a Momento - SteelWorld
0	0
-0.2	0.003
-0.4	0.011
-0.6	0.022
-0.8	0.037
-1	0.055
-1.2	0.075
-1.4	0.096
-1.6	0.116
-1.8	0.136
-2	0.157
-2.2	0.178
-2.4	0.2
-2.5	0.211
-2.7	0.153
-2.9	0.097
-3.1	0.049
-3.3	0.078
-3.5	0.142
-3.7	0.203
-3.9	0.262
-4.1	0.318
-4.3	0.371
-4.5	0.421
-4.7	0.469
-4.9	0.514
-5.1	0.554
-5.3	0.591
-5.5	0.623
-5.7	0.651
-5.9	0.674
-6.1	0.692
-6.3	0.705
-6.5	0.713
-6.7	0.714
-6.9	0.71
-7.1	0.699
-7.3	0.683
-7.5	0.659
-7.7	0.629
-7.9	0.595
-8.1	0.557
-8.3	0.517
-8.5	0.474
-8.7	0.428
-8.9	0.382
-9.1	0.333
-9.3	0.285
-9.5	0.235
-9.7	0.208
-9.9	0.237
-10.1	0.262
-10.3	0.28
-10.5	0.289
-10.7	0.29
-10.9	0.284
-11.1	0.272

Involuppi Tasso di Sfruttamento a Momento - SteelWorld		LEFT
Z (m)	Tasso di Sfruttamento a Momento - SteelWorld	
-11.3		0.255
-11.5		0.235
-11.7		0.252
-11.9		0.268
-12.1		0.279
-12.3		0.283
-12.5		0.281
-12.7		0.272
-12.9		0.257
-13.1		0.233
-13.3		0.202
-13.5		0.164
-13.7		0.121
-13.9		0.077
-14.1		0.037
-14.3		0.01
-14.5		0

Grafico Involuppi Tasso di Sfruttamento a Momento - SteelWorld : LEFT



Involuppi
Muro: Left Wall
Tasso di Sfruttamento a Momento - SteelWorld



GRUPPO FERROVIE DELLO STATO ITALIANE

PROGETTO ESECUTIVO
LINEA FOGGIA-POTENZA
INTERVENTO DI SOPPRESSIONE P.L.

Viadotto ad archi - Relazione di calcolo
opere provvisionali - 1/2

COMMESSA	LOTTO	CODIFICA	DOCUMENTO	REV.	FOGLIO
IA4K	42 E78	CL	NW08 007	A	152 di 166

Tabella Involuppi Tasso di Sfruttamento a Taglio - SteelWorld : LEFT

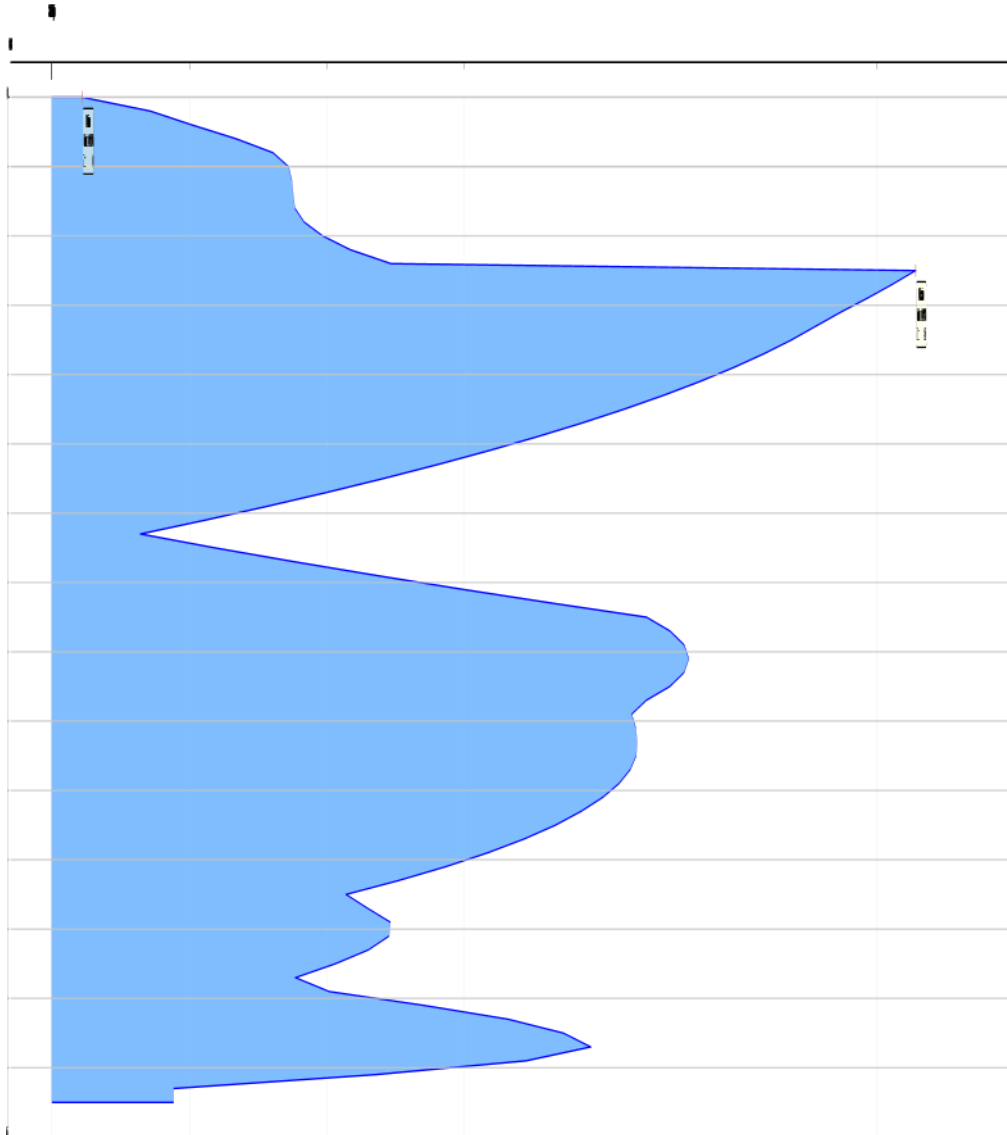
Involuppi Tasso di Sfruttamento a Taglio - SteelWorld		LEFT
Z (m)	Tasso di Sfruttamento a Taglio - SteelWorld	
0	0.002	
-0.2	0.007	
-0.4	0.01	
-0.6	0.013	
-0.8	0.016	
-1	0.017	
-1.2	0.017	
-1.4	0.018	
-1.6	0.018	
-1.8	0.018	
-2	0.02	
-2.2	0.022	
-2.4	0.025	
-2.5	0.063	
-2.7	0.061	
-2.9	0.059	
-3.1	0.057	
-3.3	0.056	
-3.5	0.054	
-3.7	0.052	
-3.9	0.05	
-4.1	0.047	
-4.3	0.045	
-4.5	0.042	
-4.7	0.039	
-4.9	0.035	
-5.1	0.032	
-5.3	0.028	
-5.5	0.024	
-5.7	0.02	
-5.9	0.016	
-6.1	0.011	
-6.3	0.006	
-6.5	0.012	
-6.7	0.018	
-6.9	0.024	
-7.1	0.03	
-7.3	0.036	
-7.5	0.043	
-7.7	0.045	
-7.9	0.046	
-8.1	0.046	
-8.3	0.046	
-8.5	0.045	
-8.7	0.043	
-8.9	0.042	
-9.1	0.042	
-9.3	0.043	
-9.5	0.043	
-9.7	0.042	
-9.9	0.041	
-10.1	0.04	
-10.3	0.039	
-10.5	0.037	
-10.7	0.034	
-10.9	0.032	
-11.1	0.029	
-11.3	0.025	
-11.5	0.021	
-11.7	0.023	

**Viadotto ad archi - Relazione di calcolo
opere provvisionali - 1/2**

COMMESSA	LOTTO	CODIFICA	DOCUMENTO	REV.	FOGLIO
IA4K	42 E78	CL	NW08 007	A	153 di 166

Inviluppi Tasso di Sfruttamento a Taglio - SteelWorld		LEFT
Z (m)	Tasso di Sfruttamento a Taglio - SteelWorld	
-11.9		0.025
-12.1		0.025
-12.3		0.023
-12.5		0.021
-12.7		0.018
-12.9		0.02
-13.1		0.027
-13.3		0.033
-13.5		0.037
-13.7		0.039
-13.9		0.035
-14.1		0.024
-14.3		0.009
-14.5		0.009

Grafico Involuppi Tasso di Sfruttamento a Taglio - SteelWorld : LEFT



Involuppi
Muro: Left Wall
Tasso di Sfruttamento a Momento - SteelWorld

Verifiche Tiranti NTC2018: SLE (Rara/Frequente/Quasi Permanente)

Design Assumption: NTC2018: SLE (Rara/Frequente/Quasi Permanente)		Tipo Risultato: Verifiche Tiranti		NTC2018 (ITA)				Gerarchia delle Resistenze
Tirante	Stage	Sollecitazione (kN)	Resistenza GEO (kN)	Resistenza STR (kN)	Ratio GEO	Ratio Resistenza STR		
Tieback	Inserimento primo tirante	150	950.018	605.557	0.158	0.248	NO	
Tieback	Scavo finale	193.21	950.018	605.557	0.203	0.319	NO	
Tieback	Esercizio	193.212	950.018	605.557	0.203	0.319	NO	
Tieback	Sisma	192.742	950.018	605.557	0.203	0.318	NO	

Verifiche Tiranti NTC2018: A1+M1+R1 (R3 per tiranti)

Design Assumption:	Tipo Risultato:	NTC2018						
NTC2018: A1+M1+R1 (R3 per tiranti)	Verifiche Tiranti	(ITA)						
Tirante	Stage	Sollecitazione (kN)	Resistenza GEO (kN)	Resistenza STR (kN)	Ratio GEO	Ratio STR	Resistenza	Gerarchia delle Resistenze
Tieback	Inserimento primo tirante	202.5	439.823	605.557	0.46	0.334		
Tieback	Scavo finale	260.834	439.823	605.557	0.593	0.431		
Tieback	Esercizio	260.836	439.823	605.557	0.593	0.431		
Tieback	Sisma	260.201	439.823	605.557	0.592	0.43		

Verifiche Tiranti NTC2018: A2+M2+R1

Design Assumption:	Tipo Risultato:	NTC2018						
NTC2018: A2+M2+R1	Verifiche Tiranti	(ITA)						
Tirante	Stage	Sollecitazione (kN)	Resistenza GEO (kN)	Resistenza STR (kN)	Ratio GEO	Ratio STR	Resistenza	Gerarchia delle Resistenze
Tieback	Inserimento primo tirante	150	439.823	605.557	0.341	0.248		
Tieback	Scavo finale	307.822	439.823	605.557	0.7	0.508		
Tieback	Esercizio	307.822	439.823	605.557	0.7	0.508		
Tieback	Sisma	307.193	439.823	605.557	0.698	0.507		

Verifiche Tiranti NTC2018: SISMICA STR

Design Assumption:	Tipo Risultato:	NTC2018						
NTC2018: SISMICA STR	Verifiche Tiranti	(ITA)						
Tirante	Stage	Sollecitazione (kN)	Resistenza GEO (kN)	Resistenza STR (kN)	Ratio GEO	Ratio STR	Resistenza	Gerarchia delle Resistenze
Tieback	Inserimento primo tirante	150	439.823	605.557	0.341	0.248		
Tieback	Scavo finale	193.21	439.823	605.557	0.439	0.319		
Tieback	Esercizio	193.212	439.823	605.557	0.439	0.319		
Tieback	Sisma	322.901	439.823	605.557	0.734	0.533		

Verifiche Tiranti NTC2018: SISMICA GEO

Design Assumption:	Tipo Risultato:	NTC2018						
NTC2018: SISMICA GEO	Verifiche Tiranti	(ITA)						
Tirante	Stage	Sollecitazione (kN)	Resistenza GEO (kN)	Resistenza STR (kN)	Ratio GEO	Ratio STR	Resistenza	Gerarchia delle Resistenze
Tieback	Inserimento primo tirante	150	439.823	605.557	0.341	0.248		
Tieback	Scavo finale	193.21	439.823	605.557	0.439	0.319		
Tieback	Esercizio	193.212	439.823	605.557	0.439	0.319		
Tieback	Sisma	322.901	439.823	605.557	0.734	0.533		

Inviluppo Verifiche Tiranti (su tutte le D.A. attive)

Tipo Risultato:									
Verifiche Tiranti									
Tirante	Stage	Sollecitazione (kN)	Resistenza GEO (kN)	Resistenza STR (kN)	Ratio GEO	Ratio STR	Resistenza	Gerarchia delle Resistenze	Design Assumption
Tieback	Sisma	322.901	439.823	605.557	0.734	0.533			NTC2018: SISMICA STR

Verifiche Travi di Ripartizione Nominal

Design	Tipo Risultato: Verifiche								
Assumption:	Travi di Ripartizione								
Nominal									
Trave di Ripartizione	Elemento strutturale	Sezione Materiale	Stage	Carico distribuito (kN/m)	Assiale (kN)	Ratio momento	Ratio taglio	Instabilità	
Default Waler	Tieback	HE 160B	S275	Inserimento primo tirante	100	0	0	0	0
Default Waler	Tieback	HE 160B	S275	Scavo finale	128.807	0	0	0	0
Default Waler	Tieback	HE 160B	S275	Esercizio	128.808	0	0	0	0
Default Waler	Tieback	HE 160B	S275	Sisma	215.267	0	0	0	0

 ITALFERR GRUPPO FERROVIE DELLO STATO ITALIANE	PROGETTO ESECUTIVO LINEA FOGGIA-POTENZA INTERVENTO DI SOPPRESSIONE P.L.					
	Viadotto ad archi - Relazione di calcolo opere provvisionali - 1/2	COMMESSA IA4K	LOTTO 42 E78	CODIFICA CL	DOCUMENTO NW08 007	REV. A

Verifiche Travi di Ripartizione NTC2018: SLE (Rara/Frequente/Quasi Permanente)

Design Assumption: NTC2018:		Tipo Risultato: NTC2018								
SLE (Rara/Frequente/Quasi Permanente)		Verifiche Travi di Ripartizione		(ITA)						
Trave di Ripartizione	Elemento strutturale	Sezione	Materiale	Stage	Carico distribuito (kN/m)	Assiale (kN)	Ratio momento	Ratio taglio	Instabilità	
Default Waler	Tieback	HE 160B	S275	Inserimento primo tirante	100	0	0.21	0.386	0	
Default Waler	Tieback	HE 160B	S275	Scavo finale	128.807	0	0.27	0.497	0	
Default Waler	Tieback	HE 160B	S275	Esercizio	128.808	0	0.27	0.497	0	
Default Waler	Tieback	HE 160B	S275	Sisma	128.494	0	0.269	0.495	0	

Verifiche Travi di Ripartizione NTC2018: A1+M1+R1 (R3 per tiranti)

Design Assumption:	Tipo Risultato:	NTC2018							
NTC2018: A1+M1+R1 (R3 per tiranti)	Verifiche Travi di Ripartizione	(ITA)							
Trave di Ripartizione	Elemento strutturale	Sezione	Materiale	Stage	Carico distribuito (kN/m)	Assiale (kN)	Ratio momento	Ratio taglio	Instabilità
Default Waler	Tieback	HE 160B	S275	Inserimento primo tirante	135	0	0.283	0.521	0
Default Waler	Tieback	HE 160B	S275	Scavo finale	173.889	0	0.371	0.67	0
Default Waler	Tieback	HE 160B	S275	Esercizio	173.891	0	0.371	0.67	0
Default Waler	Tieback	HE 160B	S275	Sisma	173.467	0	0.37	0.669	0

Verifiche Travi di Ripartizione NTC2018: A2+M2+R1

Design Assumption:	Tipo Risultato:	NTC2018							
NTC2018: A2+M2+R1	Verifiche Travi di Ripartizione	(ITA)							
Trave di Ripartizione	Elemento strutturale	Sezione	Materiale	Stage	Carico distribuito (kN/m)	Assiale (kN)	Ratio momento	Ratio taglio	Instabilità
Default Waler	Tieback	HE 160B	S275	Inserimento primo tirante	100	0	0.21	0.386	0
Default Waler	Tieback	HE 160B	S275	Scavo finale	205.215	0	0.452	0.791	0
Default Waler	Tieback	HE 160B	S275	Esercizio	205.215	0	0.452	0.791	0
Default Waler	Tieback	HE 160B	S275	Sisma	204.795	0	0.451	0.79	0

Verifiche Travi di Ripartizione NTC2018: SISMICA STR

Design Assumption:	Tipo Risultato:	NTC2018							
NTC2018: SISMICA STR	Verifiche Travi di Ripartizione	(ITA)							
Trave di Ripartizione	Elemento strutturale	Sezione	Materiale	Stage	Carico distribuito (kN/m)	Assiale (kN)	Ratio momento	Ratio taglio	Instabilità
Default Waler	Tieback	HE 160B	S275	Inserimento primo tirante	100	0	0.21	0.386	0
Default Waler	Tieback	HE 160B	S275	Scavo finale	128.807	0	0.27	0.497	0
Default Waler	Tieback	HE 160B	S275	Esercizio	128.808	0	0.27	0.497	0
Default Waler	Tieback	HE 160B	S275	Sisma	215.267	0	0.481	0.83	0

Verifiche Travi di Ripartizione NTC2018: SISMICA GEO

Design Assumption:	Tipo Risultato:	NTC2018							
NTC2018: SISMICA GEO	Verifiche Travi di Ripartizione	(ITA)							
Trave di Ripartizione	Elemento strutturale	Sezione	Materiale	Stage	Carico distribuito (kN/m)	Assiale (kN)	Ratio momento	Ratio taglio	Instabilità
Default Waler	Tieback	HE 160B	S275	Inserimento primo tirante	100	0	0.21	0.386	0
Default Waler	Tieback	HE 160B	S275	Scavo finale	128.807	0	0.27	0.497	0
Default Waler	Tieback	HE 160B	S275	Esercizio	128.808	0	0.27	0.497	0
Default Waler	Tieback	HE 160B	S275	Sisma	215.267	0	0.481	0.83	0